

Федеральное государственное бюджетное образовательное учреждение высшего образования «Братский государственный университет»

Модели и методы управления режимами работы и качеством электроэнергии в системах электроснабжения с установками распределенной генерации

Докладчик: Булатов Юрий Николаевич, к.т.н., доцент, заведующий кафедрой Энергетики, Братский государственный университет

Актуальность работы

Магистральное направление развития электроэнергетики основывается на переходе к технологической платформе, в основу которой положена концепция интеллектуальных электрических сетей (smart grid), обозначенной в России как интеллектуальные электроэнергетические системы с активно-адаптивной сетью (ИЭЭС AAC).



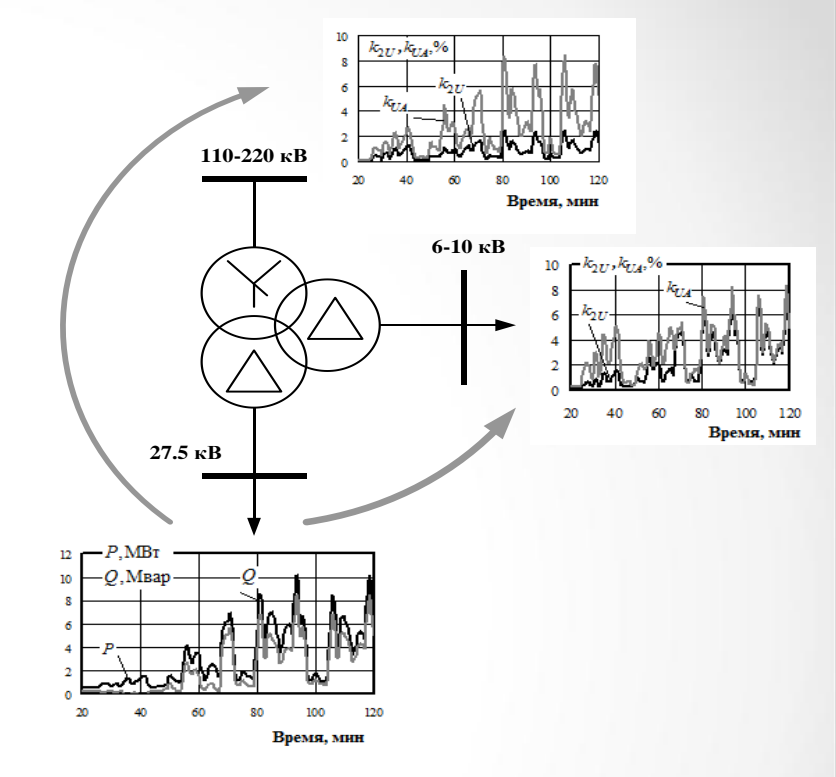
Важными элементами ИЭЭС ААС являются установки распределённой генерации (РГ), в том числе реализованные на основе ВИЭ.

В России на объекты РГ приходится около 8 % от общей выработки электроэнергии.

Объединение отдельных установок РГ и активных сетевых элементов может образовывать сетевой кластер (microgrid), высокая энергоэффективность которого может быть достигнута благодаря применению современных интеллектуальных систем управления. Сетевые кластеры могут использоваться в регионах, где внешнее электроснабжение неустойчиво или плохого качества.

Актуальность работы

Одним из емких потребителей электроэнергии железнодорожный транспорт. является некоторых ТЯГОВЫХ подстанциях электропотребление нетяговыми объектами превосходит расход электроэнергии на тягу поездов. Кроме этого в Восточной Сибири и на Востоке системообразующая электрическая сеть непосредственно связана с тяговыми подстанциями. Ввиду значительного объема резкопеременной, нелинейной однофазной тяговой нагрузки показатели качества электроэнергии (ПКЭ) в этих сетях далеко выходят за допустимые пределы.



Кроме того в современных СЭС большинство промышленной и бытовой нагрузки является нелинейной. Использование выпрямителей и инверторов для подключения установок РГ также приводит к наличию гармонических искажений. В результате эксплуатируются СЭС с пониженным качеством электроэнергии, отрицательно влияющем на оборудование. Поэтому проблема обеспечения качества электроэнергии для современных СЭС с установками РГ требует особого внимания, а задачи управления режимами работы СЭС в условиях пониженного качества электроэнергии приобретают особую актуальность.

Цель работы

Целью работы является разработка моделей, методов и систем автоматического и интеллектуального управления установками распределенной генерации и другими сетевыми активными устройствами, а также режимами работы систем электроснабжения в условиях пониженного качества электроэнергии.



Задачи работы

- 1. Разработка моделей установок РГ и активных элементов smart grid с системами автоматического управления.
 - 2. Разработка методов идентификации моделей установок распределенной генерации.
 - 3. Разработка метода построения цифровых двойников установок распределенной генерации.
 - 4. Оценка влияния низкого качества электроэнергии на установки распределенной генерации.
- 5. Исследование влияния вставок постоянного тока (ВПТ) и энергетических роутеров на качество электроэнергии при использовании их для подключения установок распределенной генерации.
 - 6. Исследование влияния установок распределенной генерации на аварийные режимы.
- 7. Разработка методов построения и настройки систем управления установками распределенной генерации с использованием генетических алгоритмов, нейронных сетей и нечеткой логики.
- 8. Разработка прогностических регуляторов установок РГ, методов их настройки и исследование их влияния на показатели качества процессов регулирования и качества электроэнергии в СЭС.
 - 9. Исследование устойчивости и кибербезопасности прогностических регуляторов.
- 10. Разработка методов устранения фликера и улучшения качества электроэнергии в сетях с установками распределенной генерации.
- 11. Разработка методов оценки запаса устойчивости систем электроснабжения с установками распределенной генерации.
- 12. Разработка методов противоаварийного управления в системе электроснабжения с установками распределенной генерации.
- 13. Разработка методов синтеза и настройки регуляторов ветрогенерирующих установок при использовании их в системах электроснабжения с пониженным качеством электроэнергии.
- 14. Разработка мультиагентной системы управления установками распределённой генерации в системе электроснабжения с пониженным качеством электроэнергии.

1) Турбогенераторная установка (ТГУ)

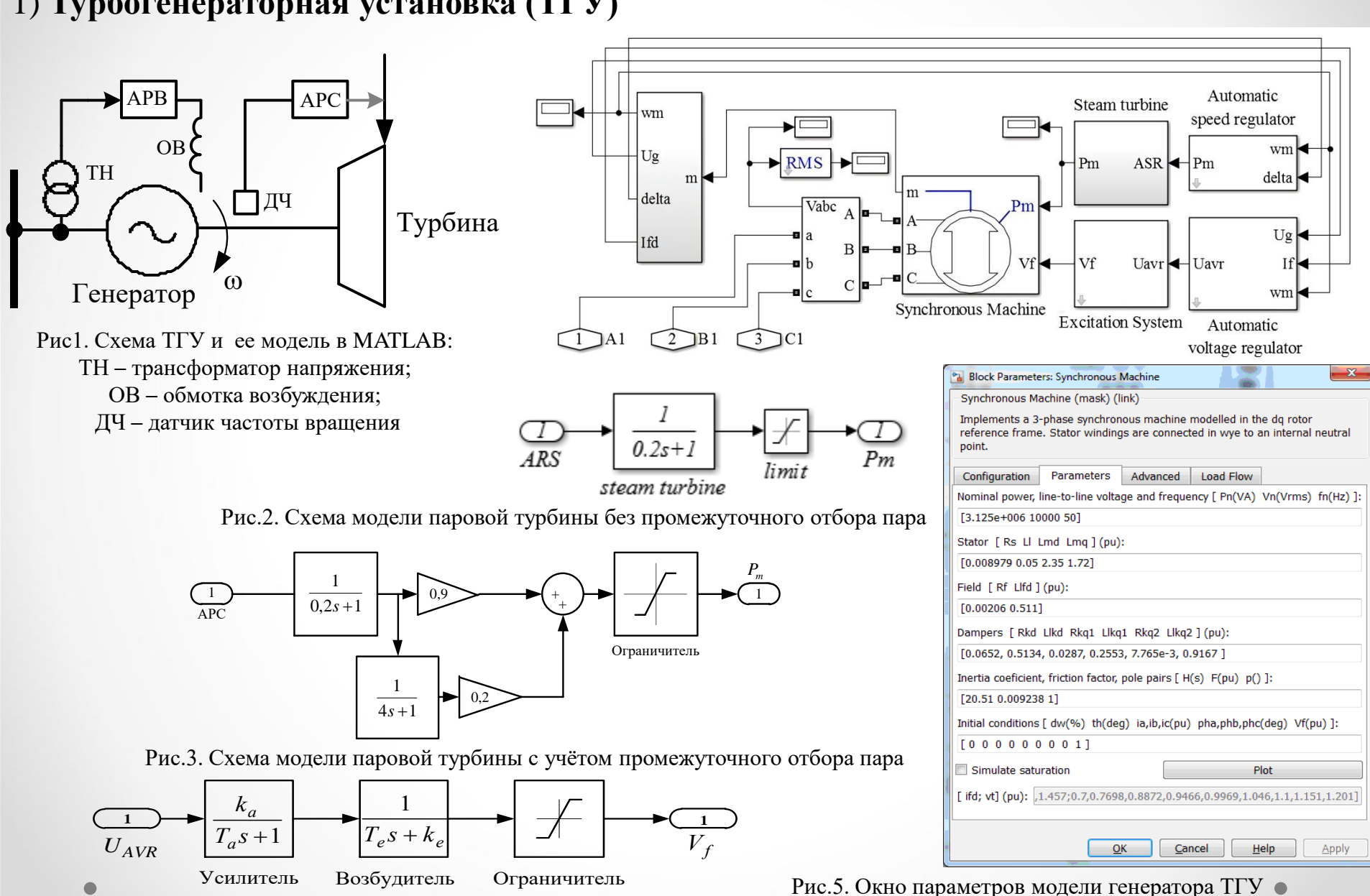


Рис.4. Схема модели системы возбуждения СГ в MATLAB

1. Модели установок РГ на базе синхронных генераторов

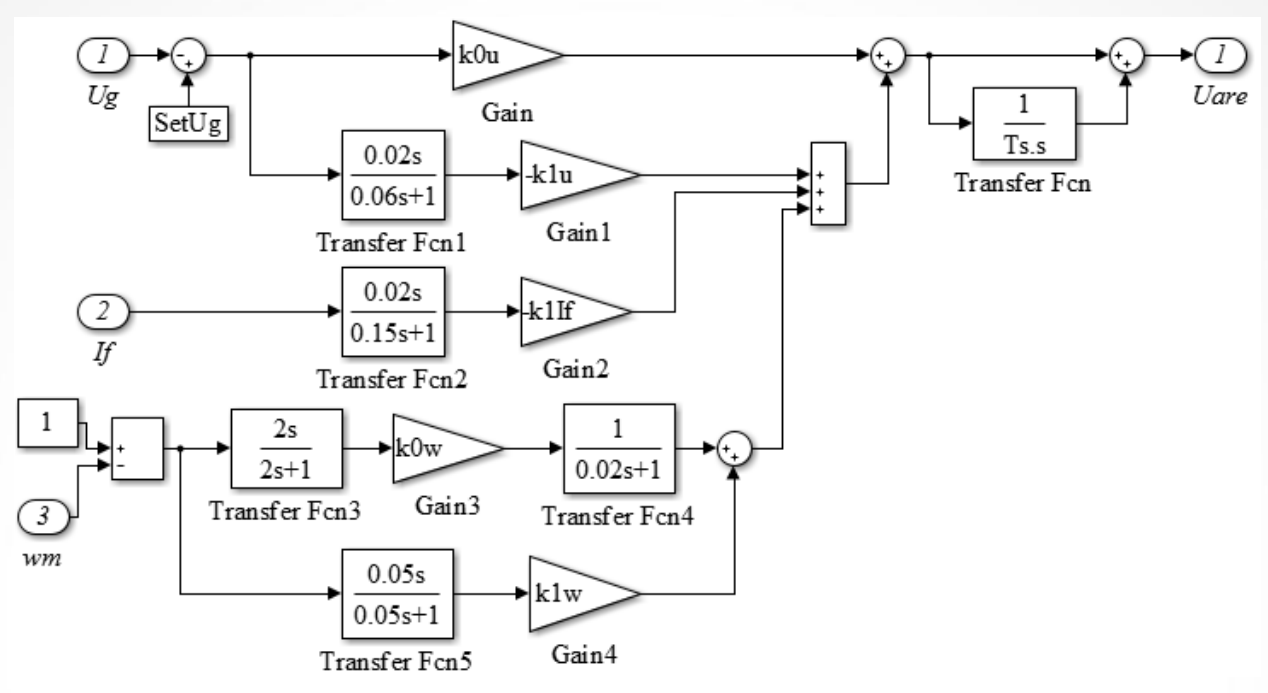


Рис.1. Схема модели АРВ в МАТLАВ

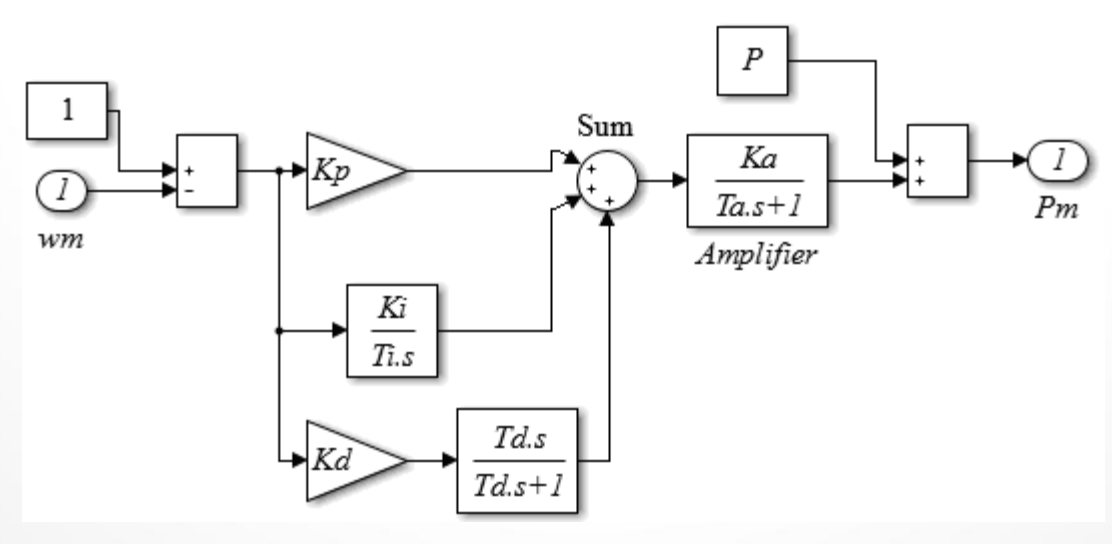
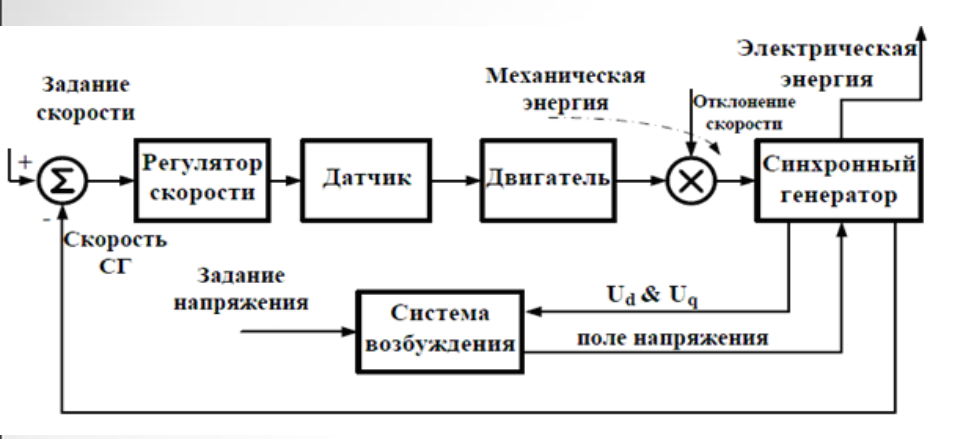


Рис.2. Схема модели АРС в МАТLАВ

2) Модель дизель-генераторной установки (ДГУ)



Модель привода, реализующая задержку при изменении подачи топлива

$$W_{II} = \frac{T_4 s + 1}{T_5 s + 1} \cdot \frac{1}{T_6 s + 1} \cdot \frac{1}{s}$$

Модель двигателя

$$W_{\mathcal{A}_{\mathcal{B}}} = e^{-T_7 s}$$

Модель регулятора скорости

$$W_{PC} = \frac{K \cdot (T_1 s + 1)}{T_2 s^2 + T_3 s + 1}$$

Рис.1 Блок-схема ДГУ

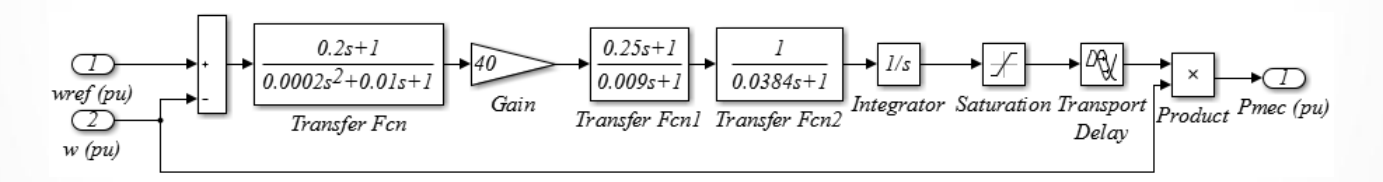


Рис.2. Схема модели дизельного двигателя с регулятором скорости в МАТLAВ

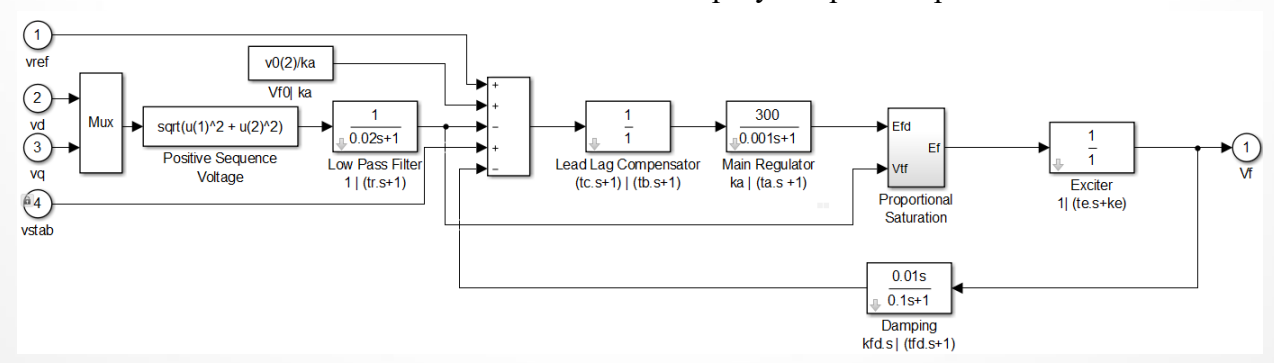
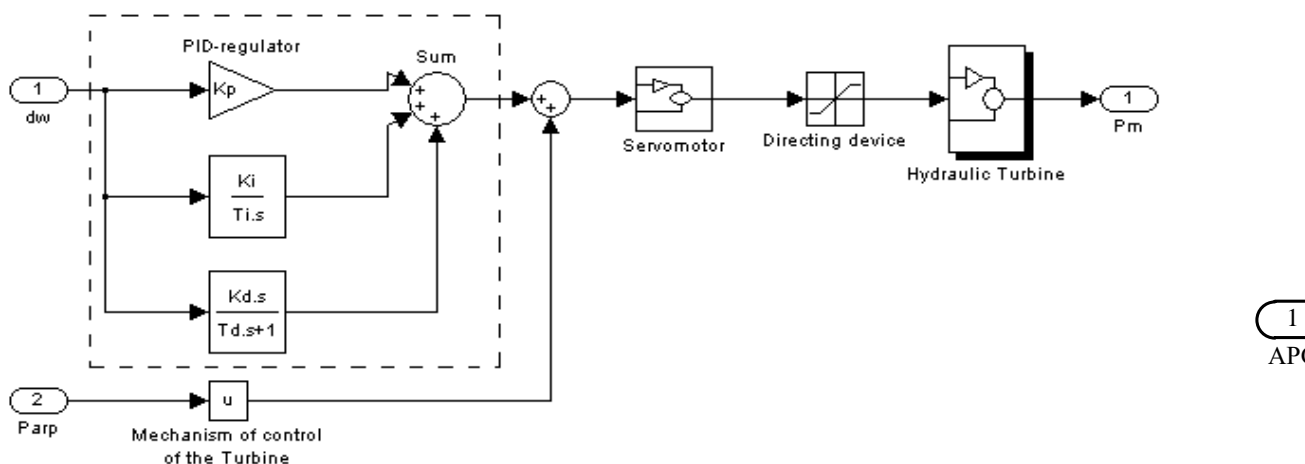


Рис.3. Схема модели системы возбуждения в МАТLАВ

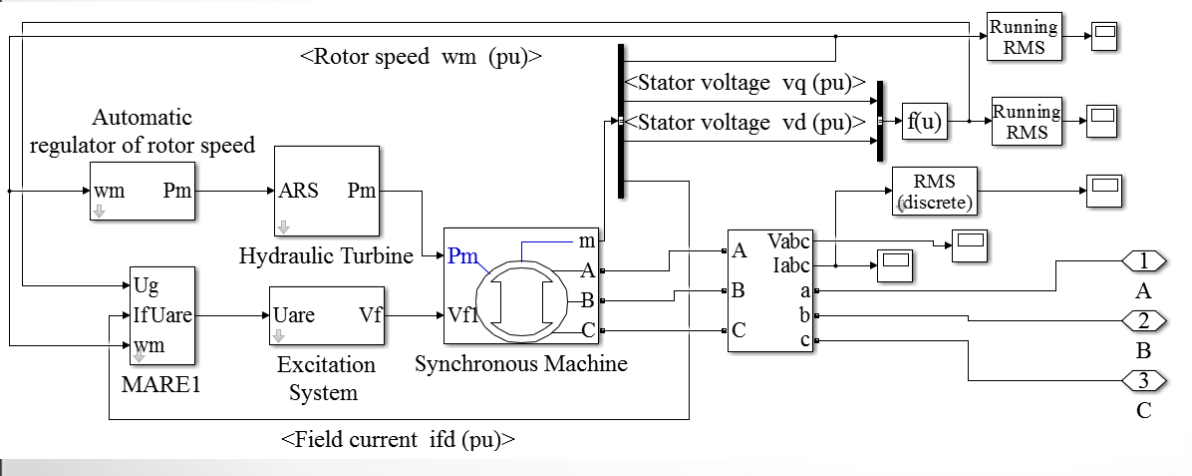
3) Гидроэнергетическая установка (ГЭУ)



 $\begin{array}{c|c}
\hline
T_i s \\
\hline
T_i s + 1
\end{array}$ $\begin{array}{c|c}
\hline
1 \\
\hline
T_C s + 1
\end{array}$

Рис.1. Структурная схема модели гидравлической турбины с APC в MATLAB

Рис.2. Структурная схема модели главного сервомотора гидротурбины в MATLAB



Модель гидротурбины:

$$W_T(s) = \frac{1 - a_{ycm}T_B s}{1 + 0.5a_{ycm}T_B s}$$

 T_{B} — постоянная времени гидротурбины

 a_{ycm} — положение открытия направляющего аппарата

Рис.3. Схема модели микро-ГЭС в МАТLАВ

4) Газотурбинная установка (ГТУ)

5) Ветрогенераторная установка (ВГУ)

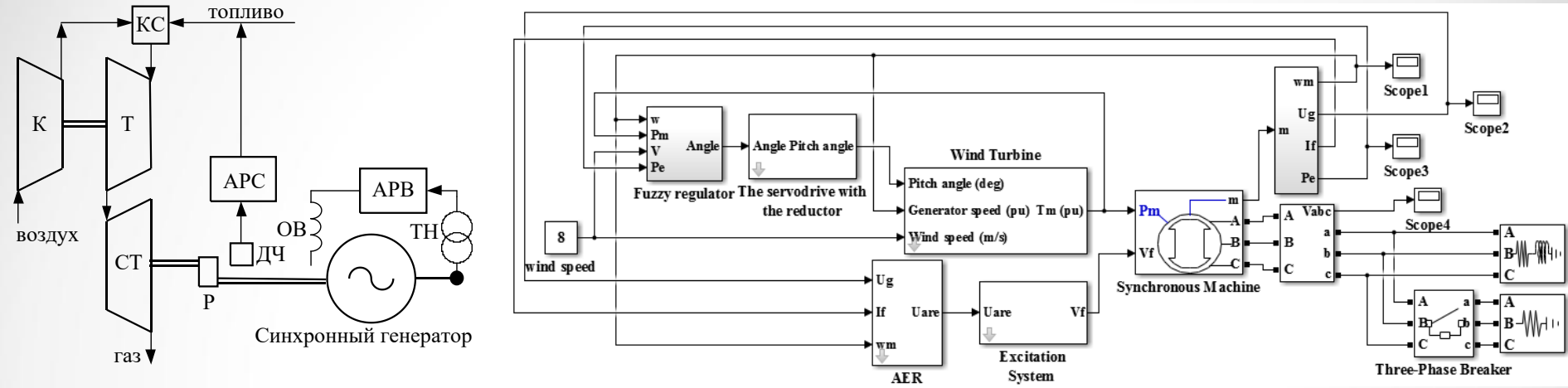


Рис.1. Структурная схема двухвальной ГТУ

Рис. 3. Схема модели управляемой тихоходной горизонтально-осевой ВГУ в МАТLАВ

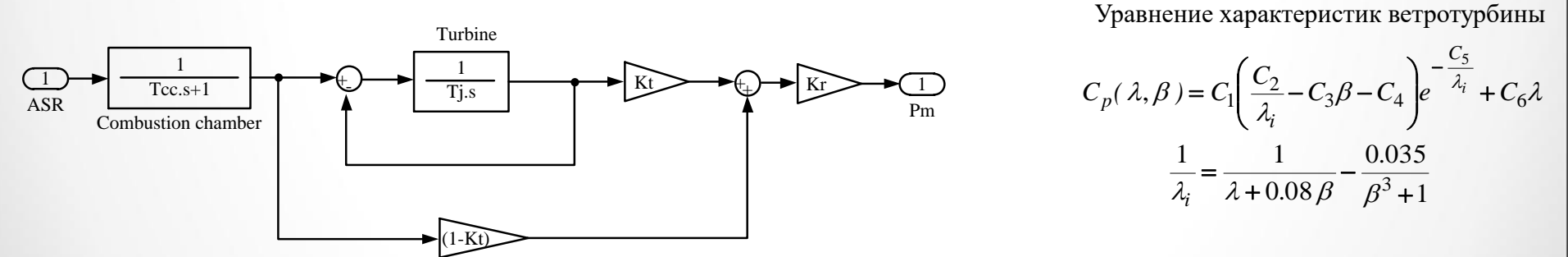


Рис.2. Схема модели двухвальной газовой турбины в Simulink

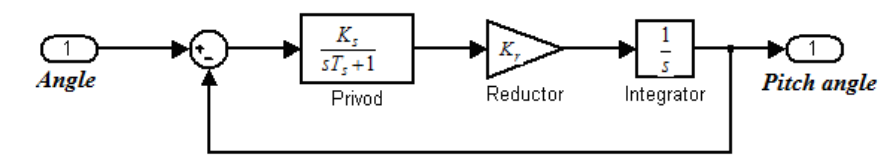


Рис.4. Схема модели механизма, обеспечивающего поворот лопастей ВГУ

6) Турбогенераторная установка на основе асинхронизированного генератора

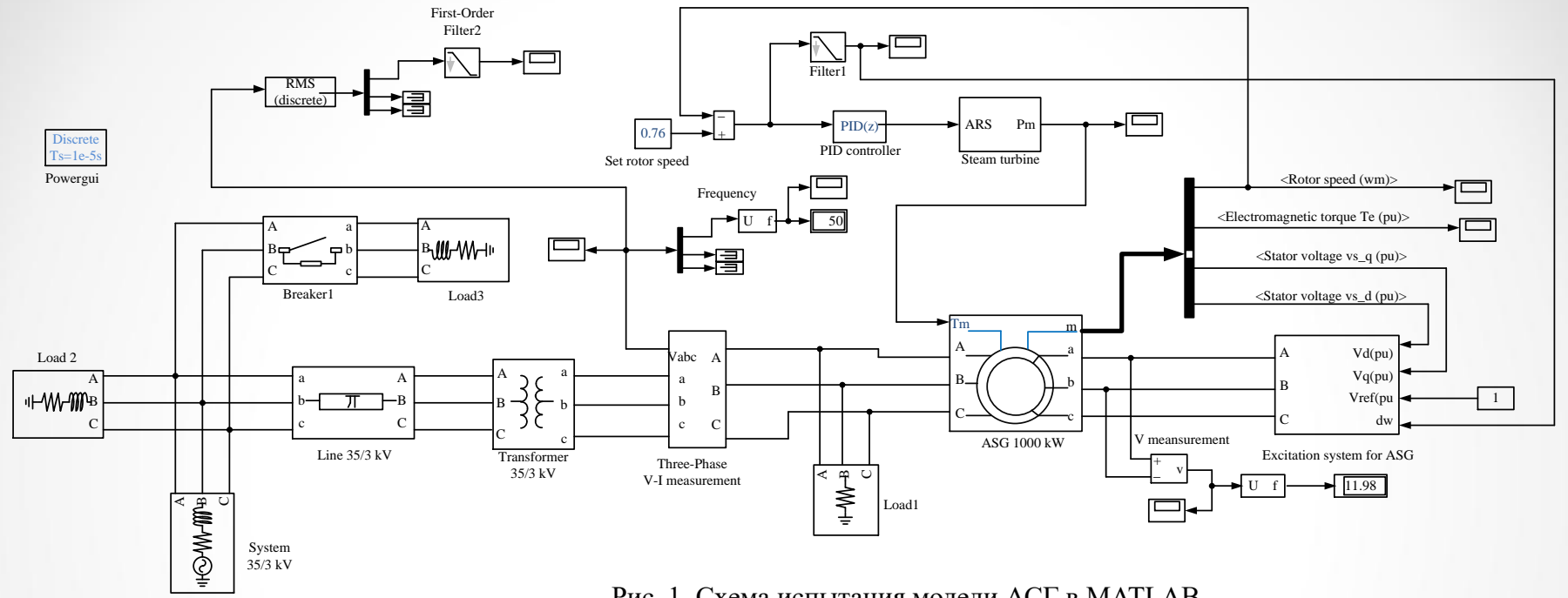


Рис. 1. Схема испытания модели АСГ в MATLAB

• 11

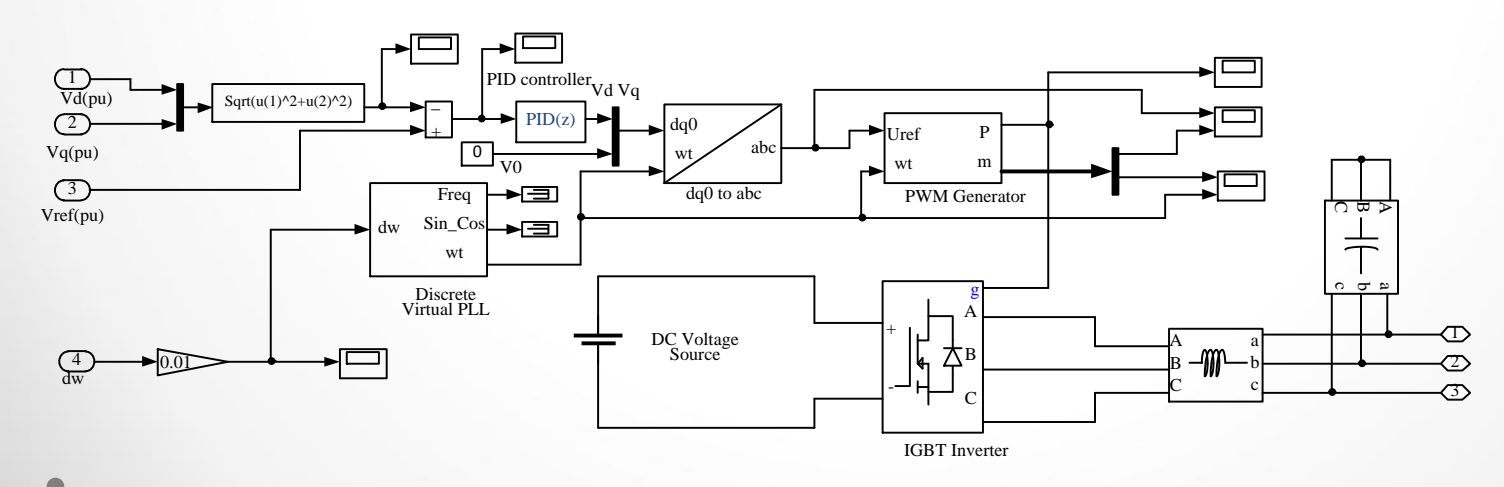
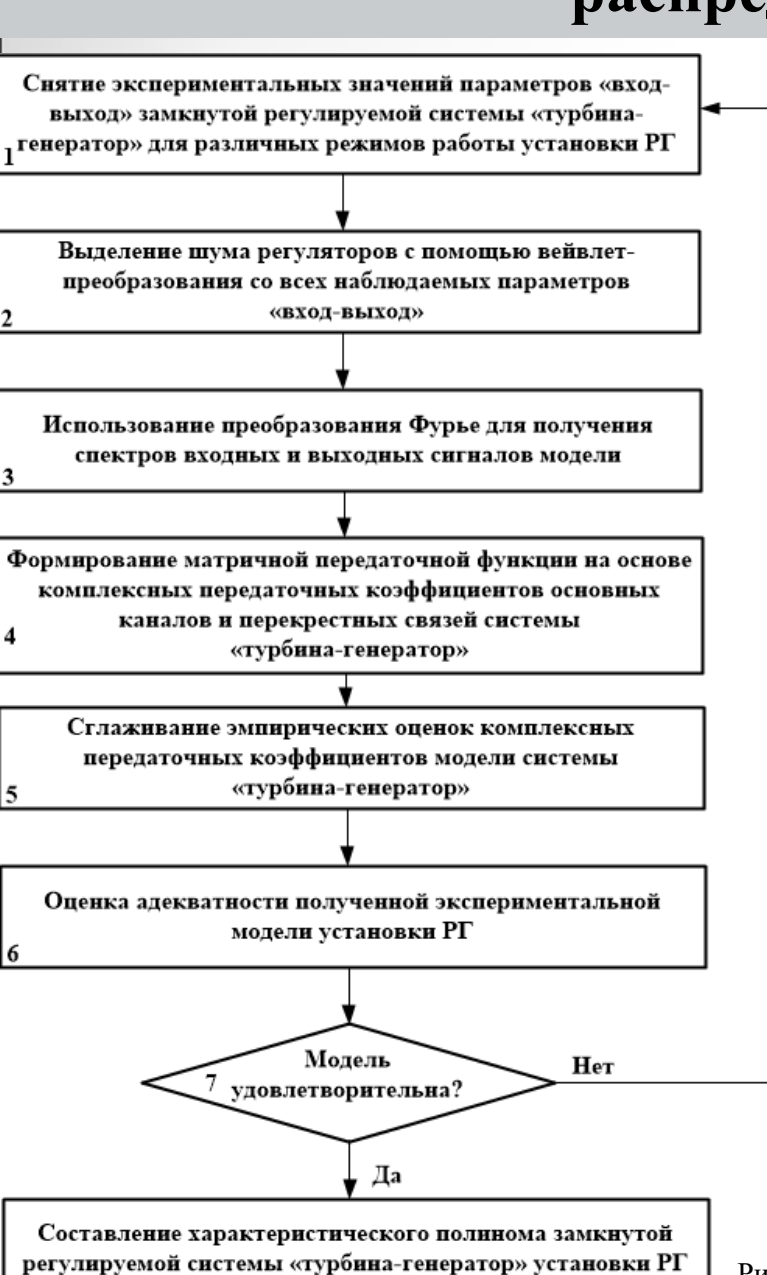


Рис. 2. Схема модели системы возбуждения АСГ в МАТLAВ

2. Метод пассивной идентификации моделей установок распределённой генерации



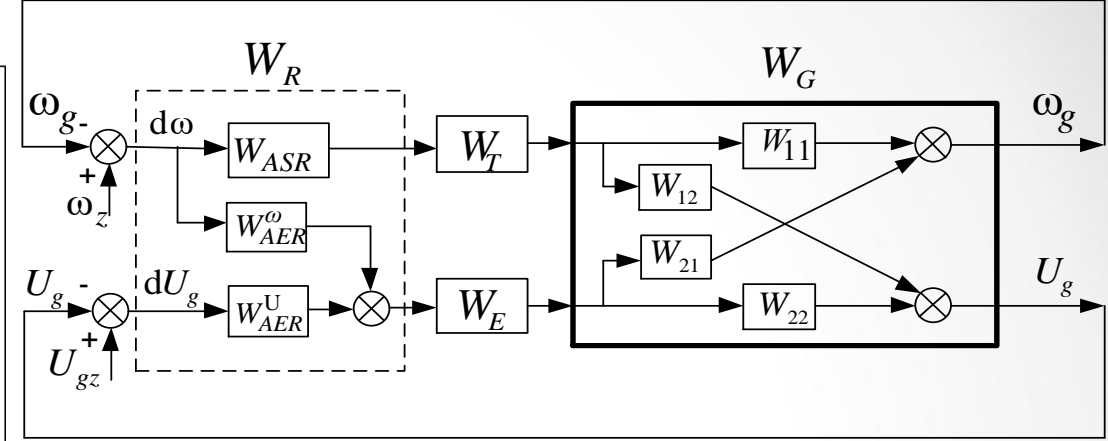


Рис. 2. Структурная схема регулируемой установки РГ

$$W_{ASR} = \left(k_p + \frac{k_i}{0.1j\omega} + \frac{k_d j\omega}{j\omega + 1}\right) \cdot \frac{1}{0.01j\omega + 1}$$

$$W_{AER}^{\omega} = \frac{1 + 0.5 j\omega}{0.5 j\omega} \cdot \left[\frac{2 k_{0\omega} j\omega}{(2 j\omega + 1)(0.02 j\omega + 1)} + \frac{0.05 k_{1\omega} j\omega}{0.05 j\omega + 1} \right]$$

$$W_{AER}^{U} = \frac{1 + 0.5 j\omega}{0.5 j\omega} \cdot \left(k_{0u} - \frac{0.02 k_{1u} j\omega}{0.06 j\omega + 1} \right)$$

Преобразование Фурье:

$$F(j\omega) = \int\limits_{-\infty}^{\infty} f(t) \cdot e^{-j\omega t} \mathrm{d}t \; ; \; \; W(j\omega) = \frac{X(j\omega)}{Y(j\omega)} \; ; \; \; \frac{Y(j\omega) - \text{спектр входного сигнала;}}{X(j\omega) - \text{спектр выходного сигнала}}$$

Для анализа состоятельности экспериментальной модели используется функцию спектра квадрата когерентности и средняя квадратичная ошибка:

$$\gamma_{YU}^{2}(\omega) = \frac{\left|S_{YU}(j\omega)\right|^{2}}{S_{Y}(\omega)S_{U}(\omega)} \qquad \varepsilon \left[W(j\omega)\right] = \frac{\sqrt{1 - \gamma_{YU}^{2}(\omega)}}{\left|\gamma_{YU}^{2}(\omega)\right| \cdot \varepsilon_{0}}$$

Рис. 1. Блок-схема алгоритма идентификации модели установки РГ

2. Метод пассивной идентификации моделей установок распределённой генерации

Рис.2. Результаты применения алгоритма выделения шума регулятора: а) исходный зашумленный сигнал регулятора; б) скейлингграмма сигнала регулятора; в) выделенный полезный сигнал; г) шум

2. Метод пассивной идентификации моделей установок распределённой генерации

Для отдельной установки РГ необходимо определить спектры шумов входных и выходных сигналов для двух различных нагрузочных режимов, и получить две системы уравнений, из которых определяются комплексные передаточные коэффициенты основных каналов W_{11} , W_{22} и перекрёстных связей W_{12} , W_{21} генератора:

режим 1:

$$\begin{cases} Y_1 = W_{11} \cdot U_1 + W_{12} \cdot U_2, \\ Y_2 = W_{21} \cdot U_1 + W_{22} \cdot U_2 \end{cases} \begin{cases} Y_1' = W_{11} \cdot U_1' + W_{12} \cdot U_2', \\ Y_2' = W_{21} \cdot U_1' + W_{22} \cdot U_2' \end{cases}$$

$$\begin{cases} Y_1' = W_{11} \cdot U_1' + W_{12} \cdot U_2', \\ Y_2' = W_{21} \cdot U_1' + W_{22} \cdot U_2' \end{cases}$$

матричная передаточная функция генератора:

$$W_{\Gamma} = \begin{vmatrix} W_{11} W_{12} \\ W_{21} W_{22} \end{vmatrix}$$

 $U_1,\ U_2$ – спектры шумов входных сигналов,

- спектры шумов выходных сигналов

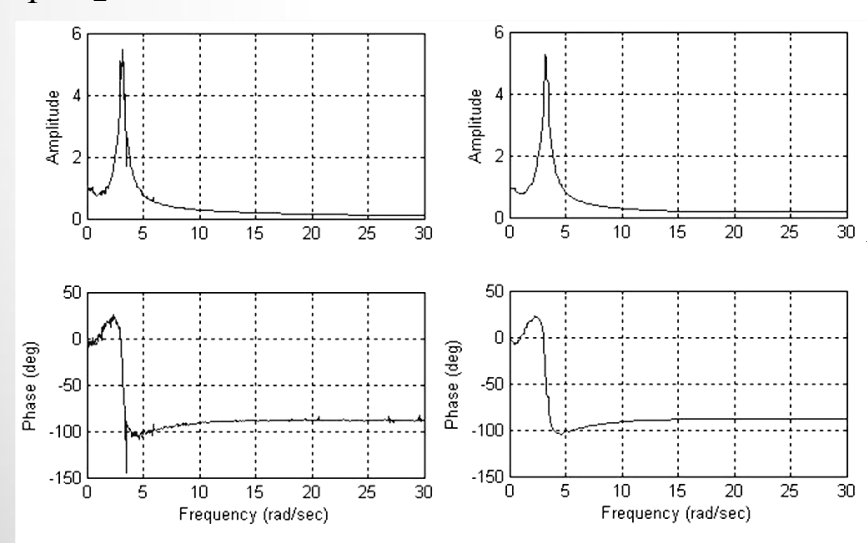


Рис. 1. АЧХ и ФЧХ тестовой передаточной функции

Используемая цифровая обработка сигналов на основе весовых окон:

$$W'(j\omega) = \frac{\sum_{i=1}^{\Omega} W_{\gamma}(\omega) \cdot \left| U(i\Delta\omega) \right|^{2} \cdot W(i\Delta\omega)}{\sum_{i=1}^{\Omega} W_{\gamma}(\omega) \cdot \left| U(i\Delta\omega) \right|^{2}}$$

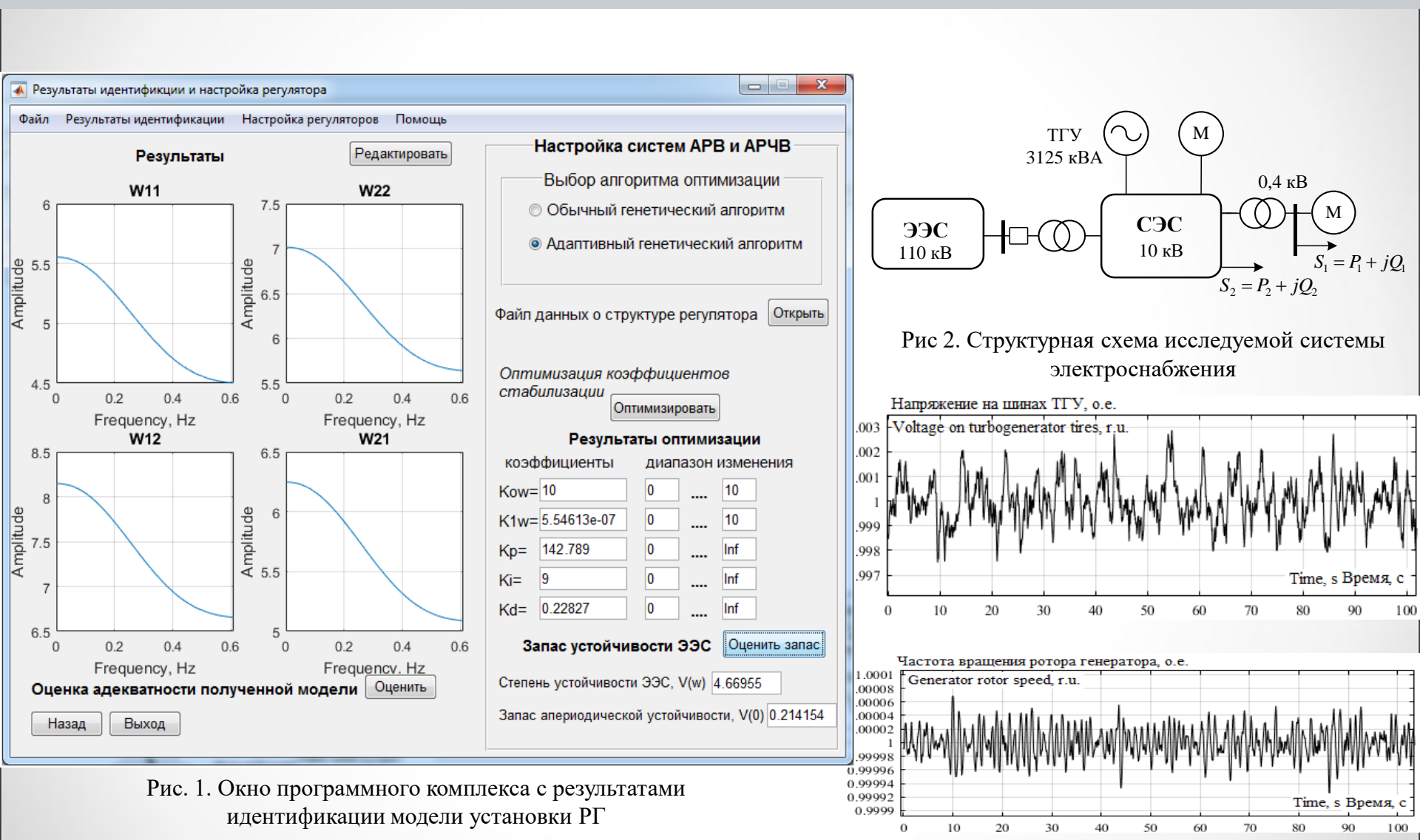
$$W(i\Delta\omega)=rac{Y(i\Delta\omega)}{U(i\Delta\omega)}$$
— экспериментальный комплексный передаточный коэффициент, полученный при идентификации с помощью шума регуляторов

$$W_{\gamma}(\,\omega\,)\,$$
 – весовая функция или весовое окно

Характеристический полином замкнутой регулируемой установки РГ для конкретного режима работы:

$$D^{\mathcal{M}}(j\omega) = \det \left[\mathbf{E} + \mathbf{W}_{\mathbf{o}\mathbf{o}} \cdot \mathbf{W}_{\mathbf{p}} \right]$$

2. Метод пассивной идентификации моделей установок распределённой генерации



3. Метод идентификации и построения моделей отдельных элементов установок РГ на основе ИНС и системы нечеткого логического вывода

Целью создания нечеткой модели является приближенное описание зависимости (аппроксимация некоторой функции) Y=f(X).

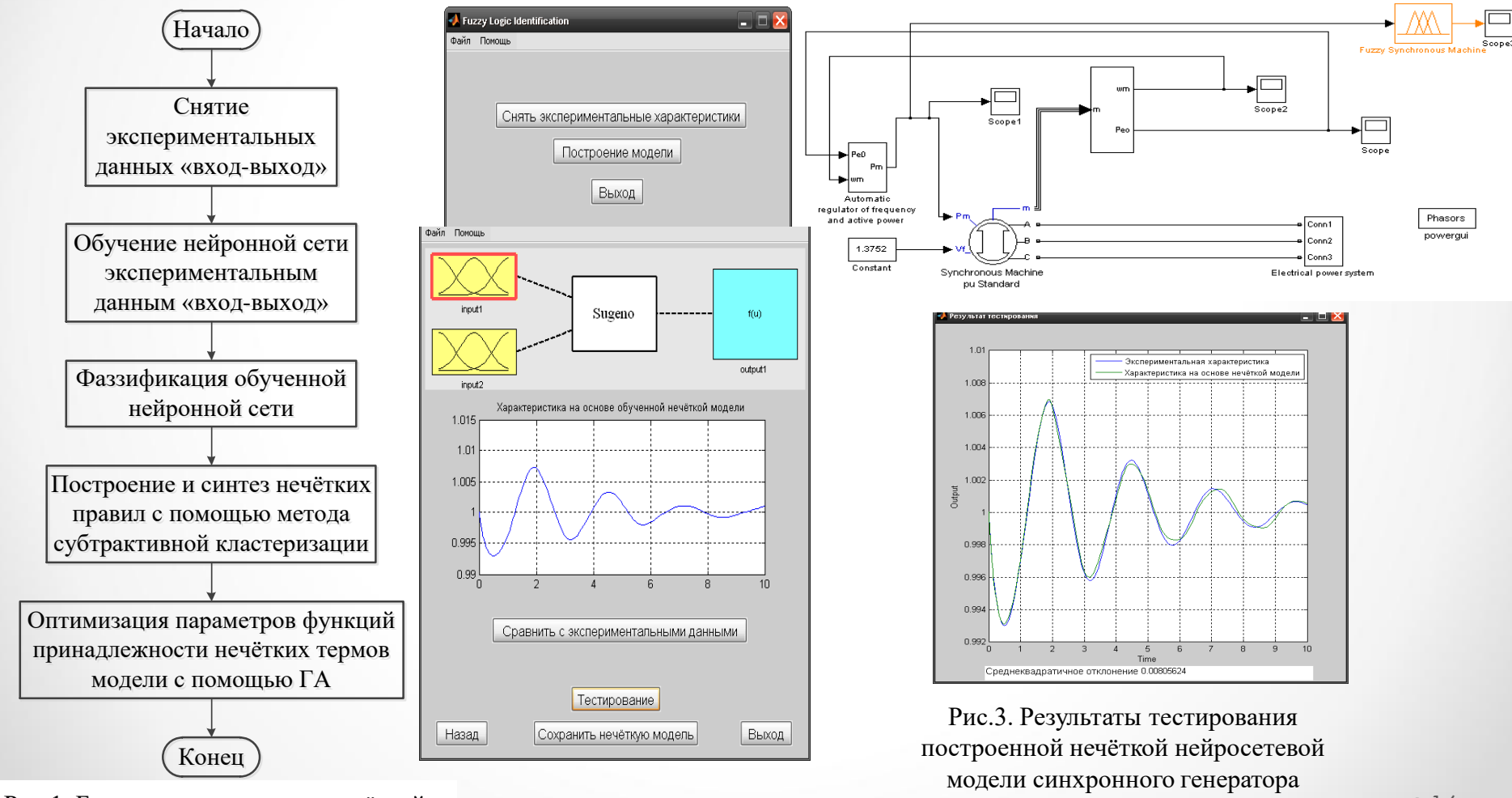
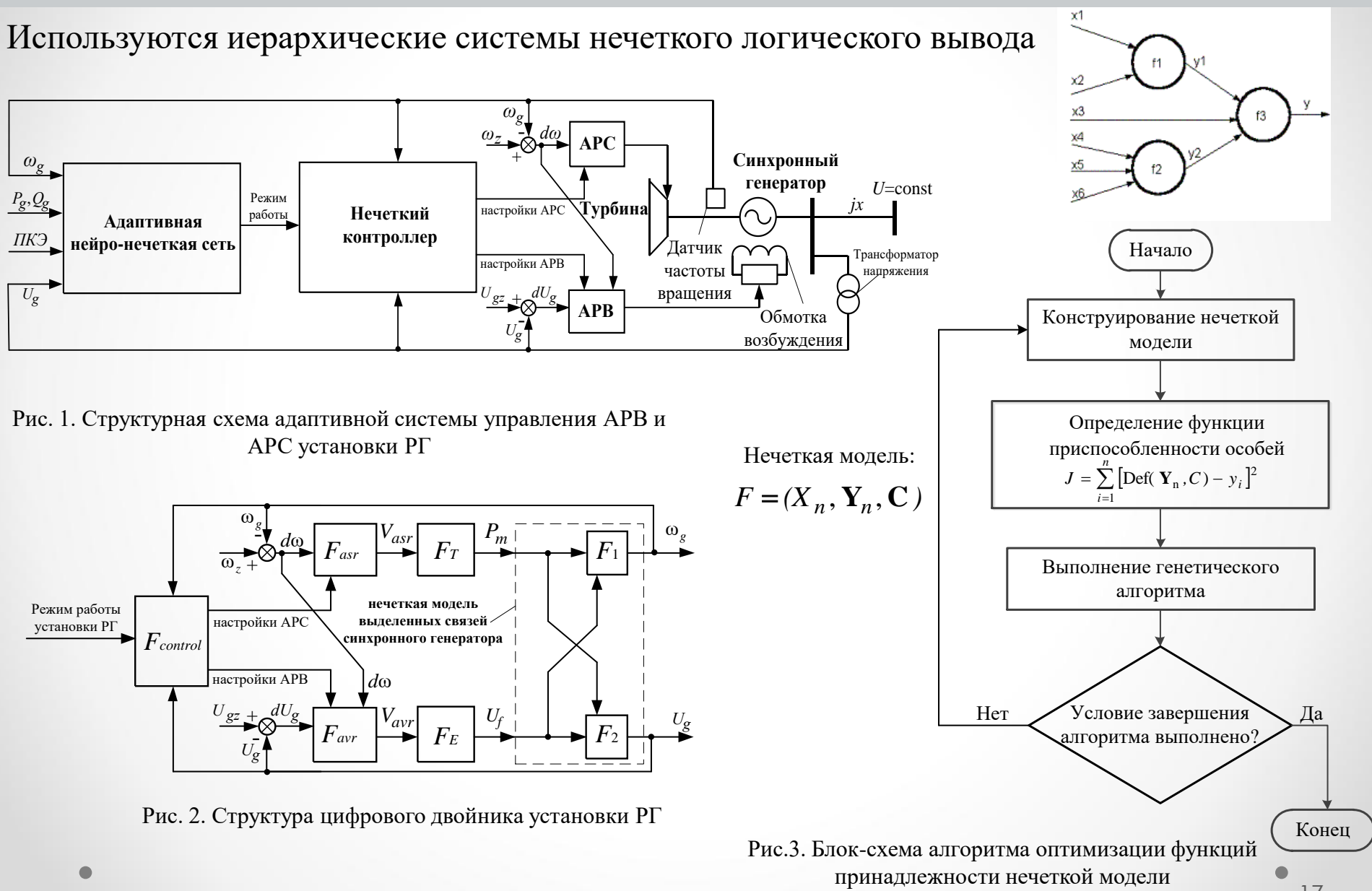


Рис.1. Блок-схема алгоритма нечёткой нейросетевой идентификации

Рис.2. Основные окна программы FLY

4. Метод построения цифрового двойника установки распределенной генерации



4. Метод построения цифрового двойника установки распределенной генерации

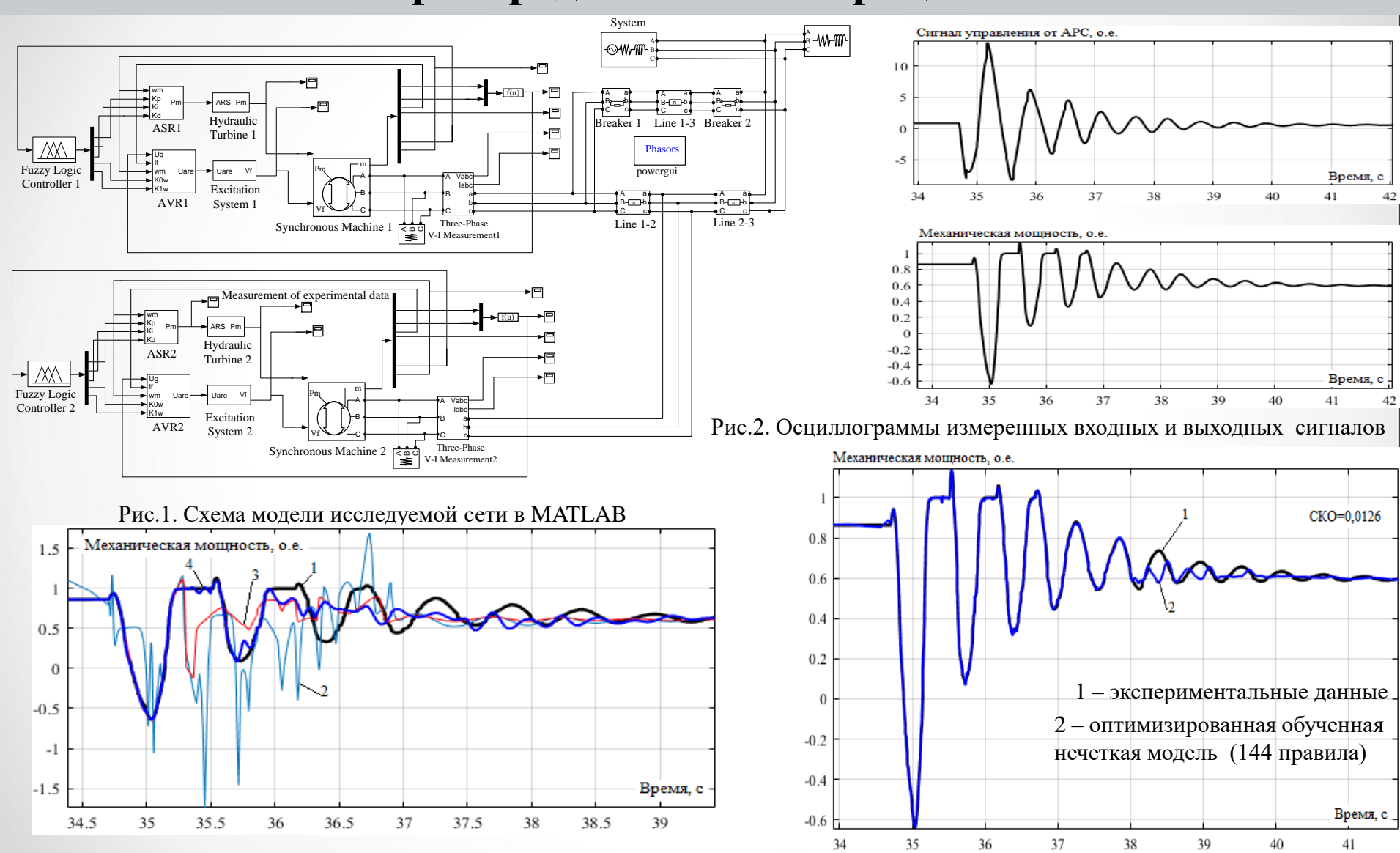


Рис. 3. Результаты сравнения экспериментальных данных и отклика нечеткой модели:

1 — экспериментальные данные; 2 — необученная нечеткая модель (7 правил), 3 — обученная нечеткая модель (7 правил);

4 – оптимизированная обученная нечеткая модель (25 правил, СКО 0,0781)

4. Метод построения цифрового двойника установки распределенной генерации

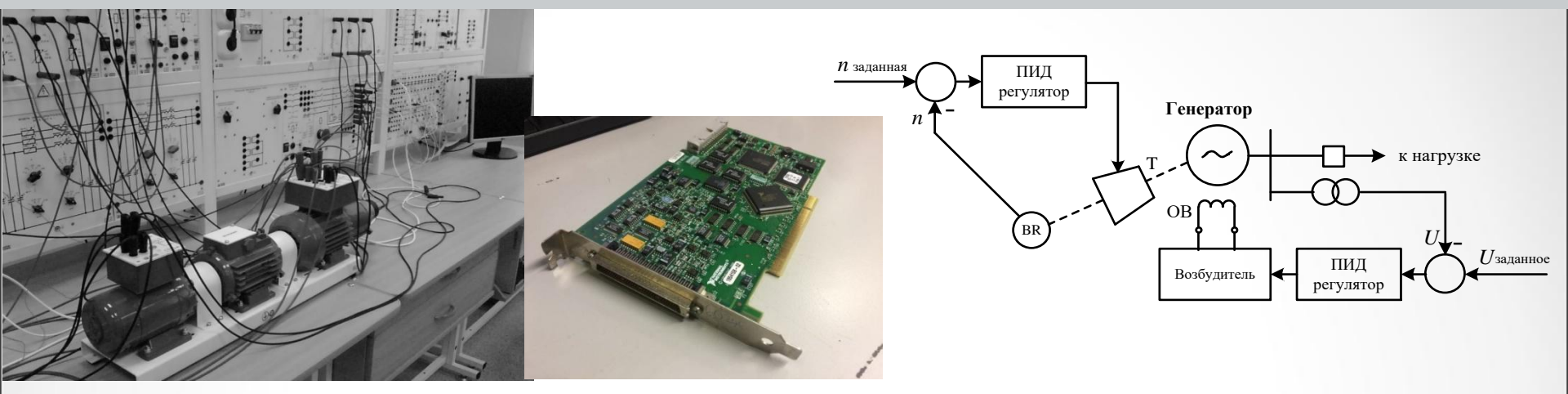


Рис. 1. Фото и функциональная схема физической модели установки РГ

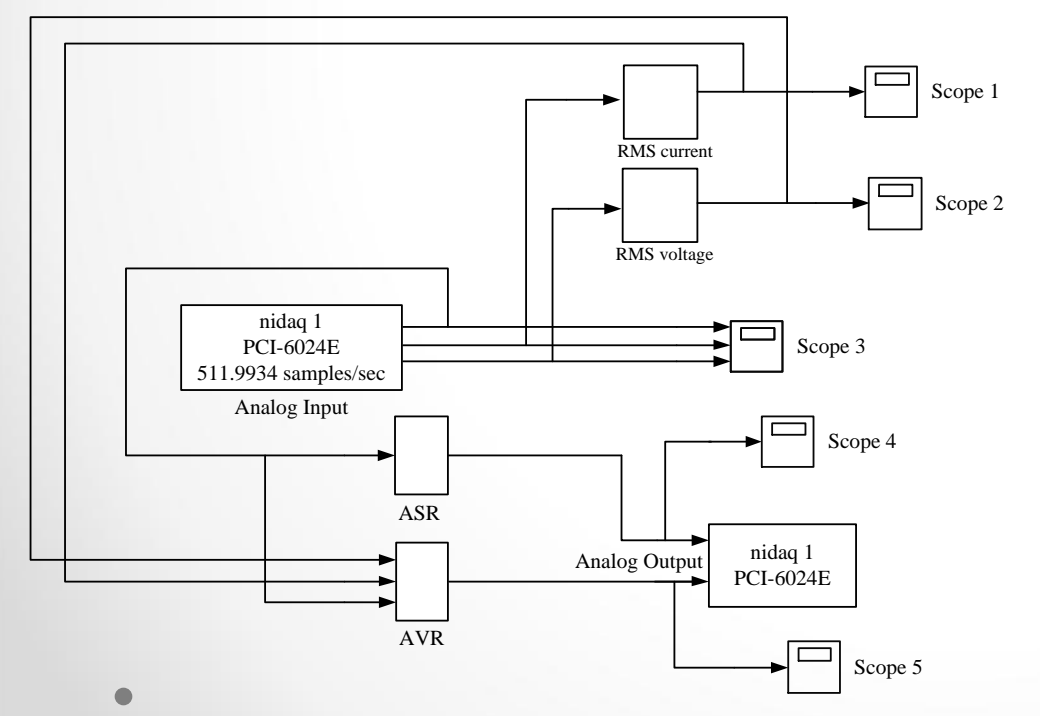


Рис.3. Результаты сравнения нечеткой модели (25 правил) с экспериментальными данными • 19

Рис. 2. Схема Simulink для управления физической моделью установки РГ

5. Влияние несимметричной и нелинейной нагрузки на установки распределенной генерации

1. Исследование влияния несимметричной нагрузки на работу синхронного

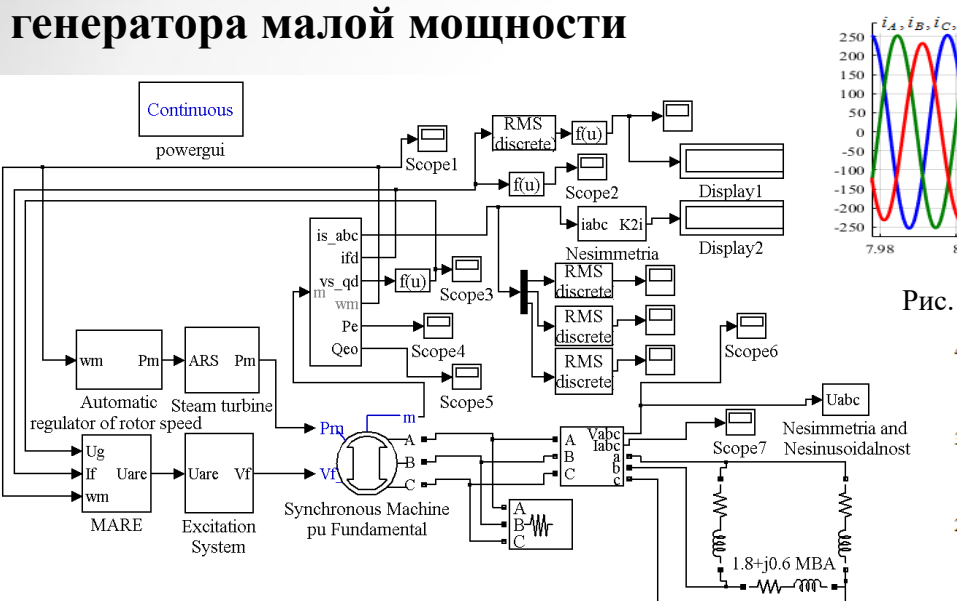


Рис. 1. Схема модели генератора, работающего на несимметричную нагрузку в MATLAB

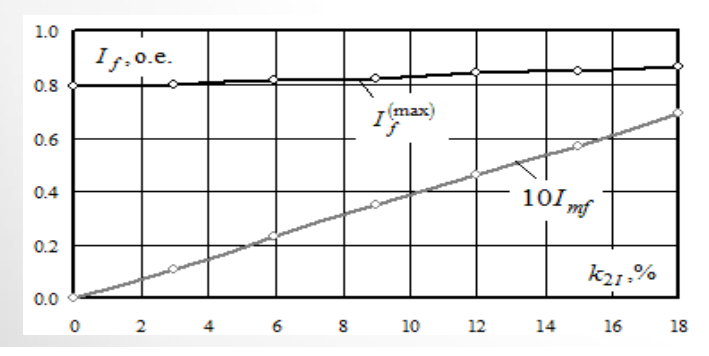


Рис. 4. Зависимость тока возбуждения генератора от коэффициента несимметрии токов

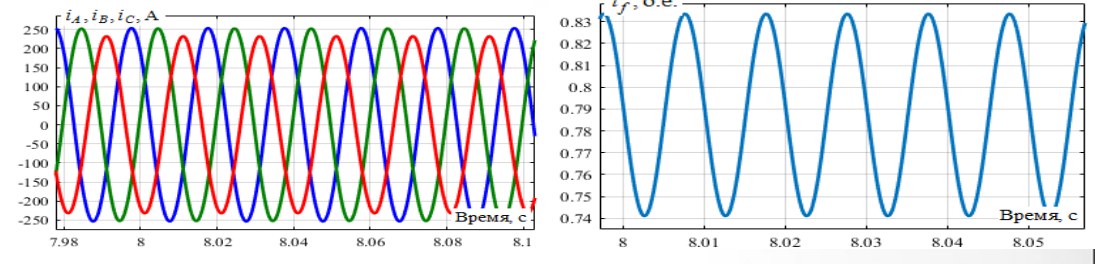


Рис. 2. Осциллограммы токов статора и ротора генератора при $k_2=11,96$ %

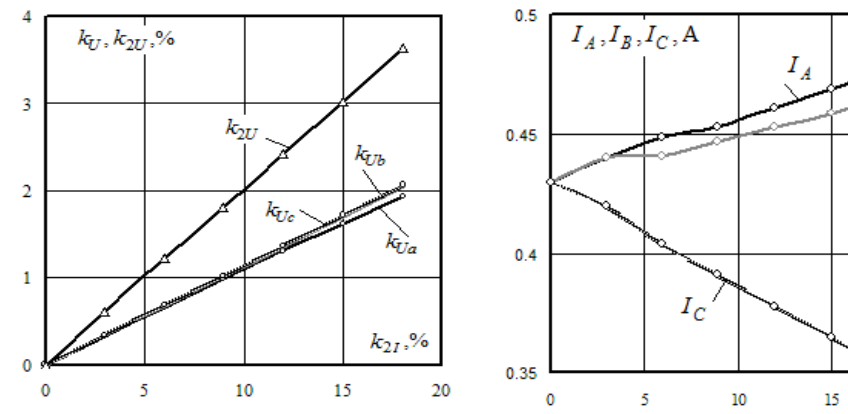


Рис. 3. Зависимость параметров режима генератора от коэффициента несимметрии токов

Рост коэффициента k_{2I} сопровождается увеличением токов в отдельных фазах, уровнем несимметрии напряжений на зажимах СГ, а также появлением гармонических искажений. Эти обстоятельства необходимо учитывать при эксплуатации установок РГ в условиях пониженного качества электроэнергии.

5. Влияние несимметричной и нелинейной нагрузки на установки распределенной генерации

1. Исследование влияния несимметричной нагрузки на работу синхронного

генератора малой мощности

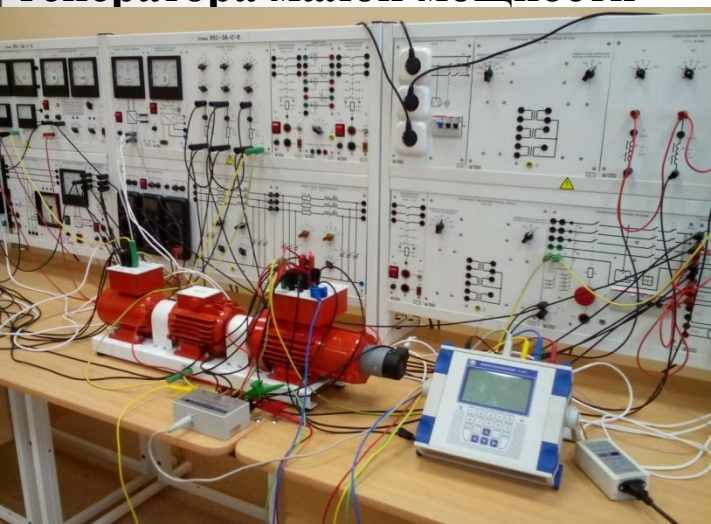
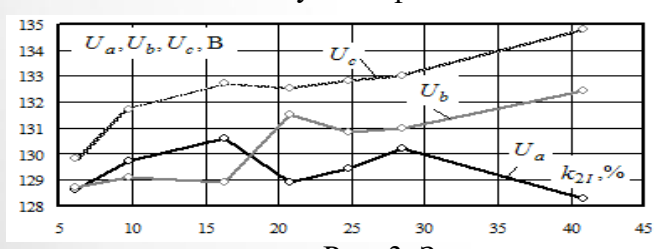


Рис.1. Снимок исследуемой физической модели



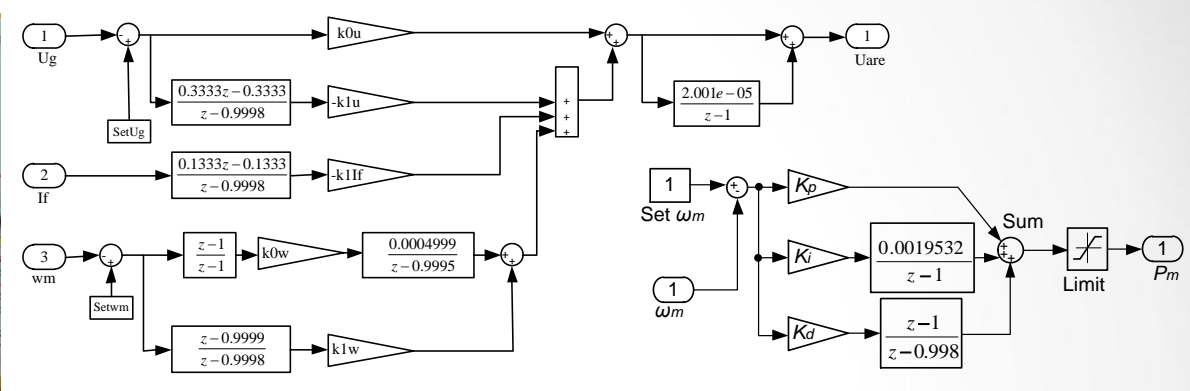
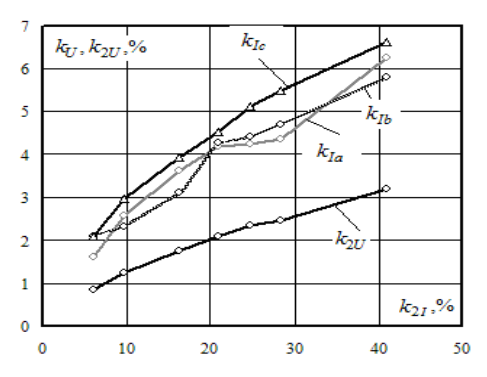


Рис. 2. Схемы моделей цифровых АРВ и АРС экспериментальной установки



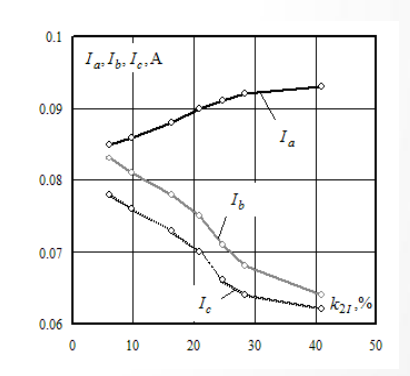


Рис. 3. Зависимость параметров режима генератора от коэффициента несимметрии токов

- 1. При работе СГ на несимметричную нагрузку появляется заметный ток обратной последовательности. Генератор начинает генерировать в сеть высшие гармоники, что приводит к дополнительным нагревам.
- 2. Среднее значение тока возбуждения генератора, работающего на несимметричную нагрузку, практически не изменяется, но в обмотке возбуждения наводится ток частотой 100 Гц, амплитуда которого линейно возрастает при увеличении несимметрии нагрузки. Поэтому, ток возбуждения и нагрузку генератора необходимо ограничивать.
- 3. Ограничение мощности генератора, работающего на несимметричную нагрузку, может быть определено по разности •21 токов в фазах, которая не должна превышать 12 % от номинального тока.

5. Влияние несимметричной и нелинейной нагрузки на установки распределенной генерации

2. Исследование влияния нелинейной нагрузки на работу синхронного генератора

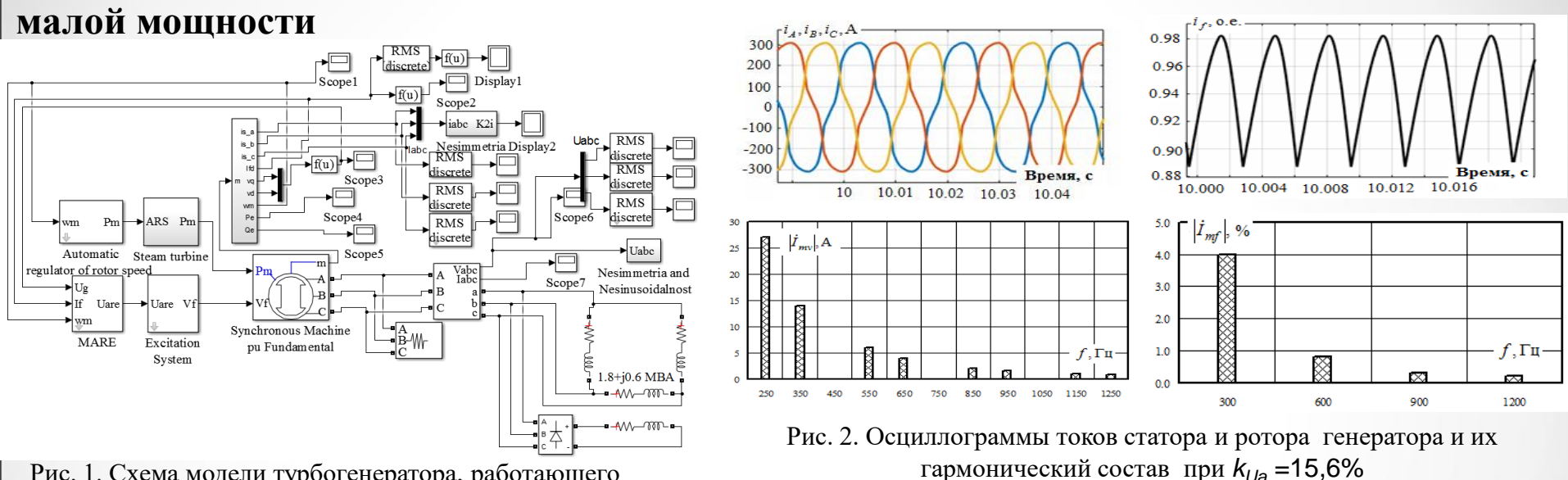


Рис. 1. Схема модели турбогенератора, работающего на симметричную и нелинейную нагрузку в MATLAB

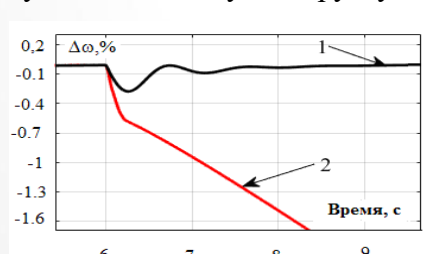


Рис. 4. Отклонение скорости ротора турбогенератора при подключении дополнительной нагрузки: 1 — линейная нагрузка; 2 — нелинейная нагрузка

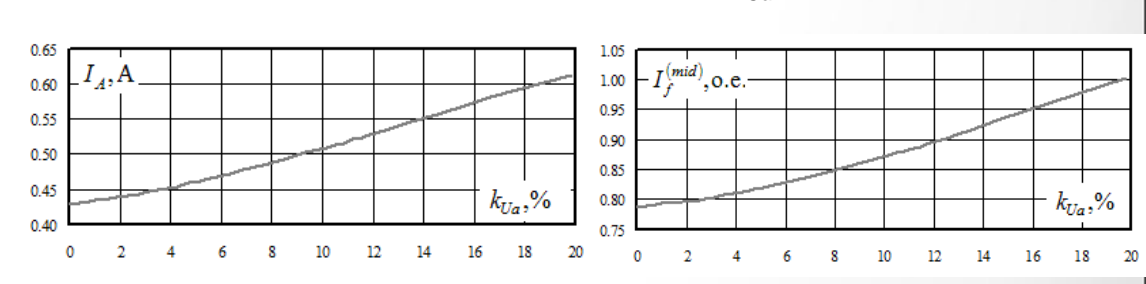


Рис. 3. Зависимость тока статора (а) и ротора (б) генератора от искажения синусоидальности кривой напряжения

При увеличении гармонических искажений тока нагрузки имеют место следующие эффекты:

- 1.Значительно повышаются токи статора и ротора генератора. Это обстоятельство связано с неправильной работой APB в таких условиях, что требует применения в APB фильтров гармоник и ограничения тока возбуждения.
- 2.Повышается амплитуда вынужденных колебаний тока возбуждения генератора частотой, кратной 300 Гц. Возникают от ответельные механические колебания ротора с частотой 300 Гц. что может привести к потере устойчивости.

 22

5. Влияние несимметричной и нелинейной нагрузки на установки распределенной генерации

3. Исследование совместного воздействия несимметричной и нелинейной нагрузки на



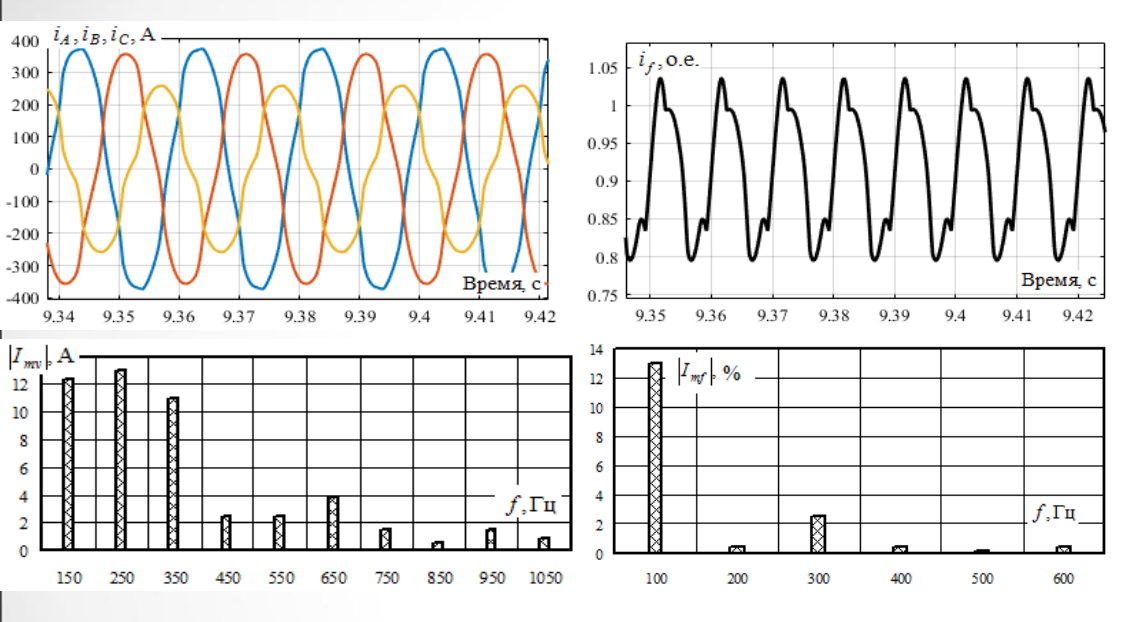


Рис. 1. Осциллограммы токов статора и ротора генератора и их гармонический состав при k_{Ua} =10,3% и k_{2U} =5,8%

В условиях работы установок РГ на нелинейную и несимметричную необходимо нагрузку специальных мер ДЛЯ защиты генерирующего оборудования: использование вставок постоянного тока, применение фильтров гармоник, установка току обратной последовательности, генераторов ПО использование автоматики тока ограничения возбуждения генераторов и др.

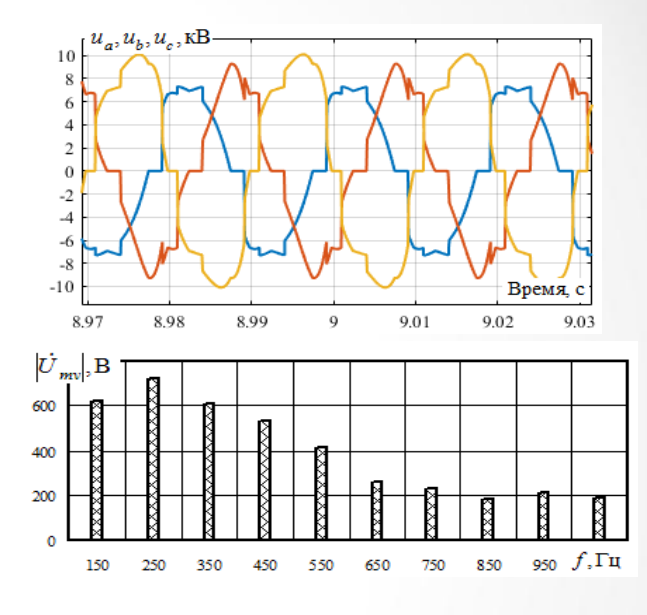


Рис. 2. Осциллограмма напряжений статора генератора и его гармонический состав при питании нелинейной несимметричной нагрузки

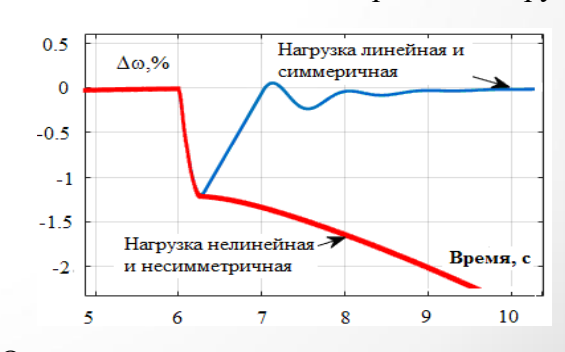
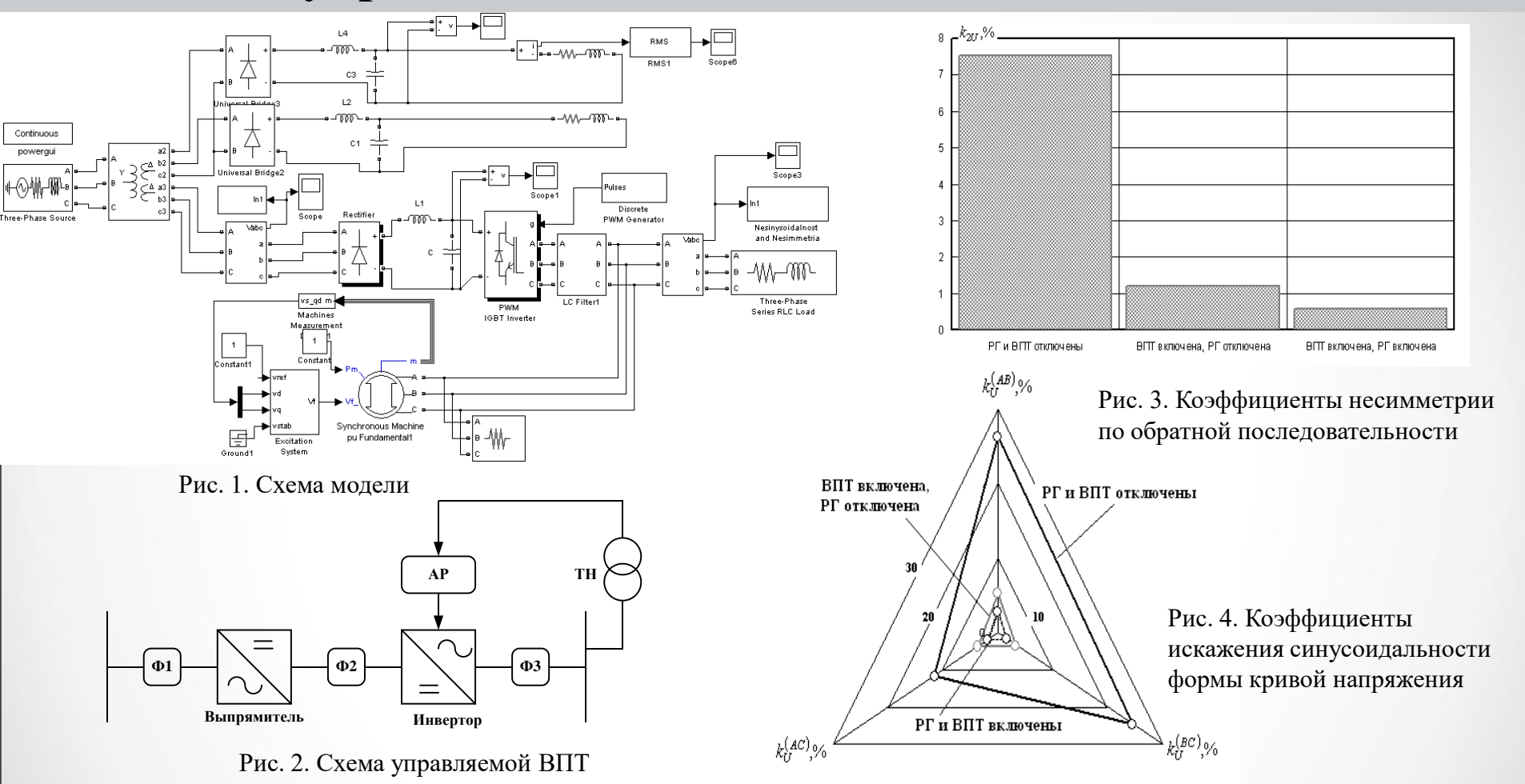


Рис.3. Отклонение скорости ротора генератора при подключении дополнительной нагрузки

6. Применение в СЭС с пониженным качеством электроэнергии управляемых вставок постоянного тока



- 1. Из-за наличия нелинейной однофазной тяговой нагрузки в сети 6 кВ, питающейся от ТП, имеет место существенная несимметрия и несинусоидальность.
- вставки постоянного тока, т.е. выделение потребителей в сетевой кластер, позволяет эффективно решить проблему улучшения качества ЭЭ.
- 3. Использование установок РГ позволяет также улучшить показатели качества ЭЭ по несимметрии и 24 несинусоидальности.

Энергетический роутер (энергороутер) выполняет следующие функции:

- управляет потоками электроэнергии;
- осуществляет обмен информацией;
- интегрирует малую генерацию в СЭС.

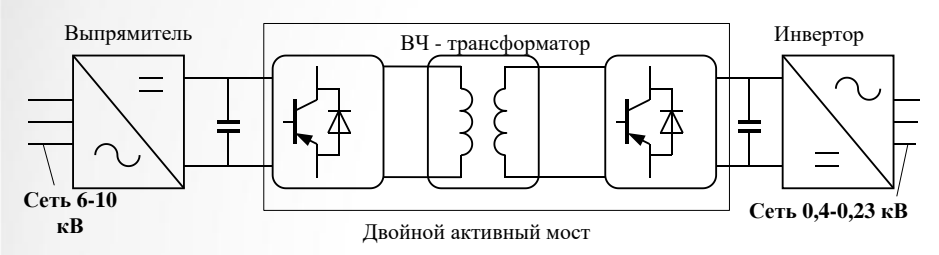
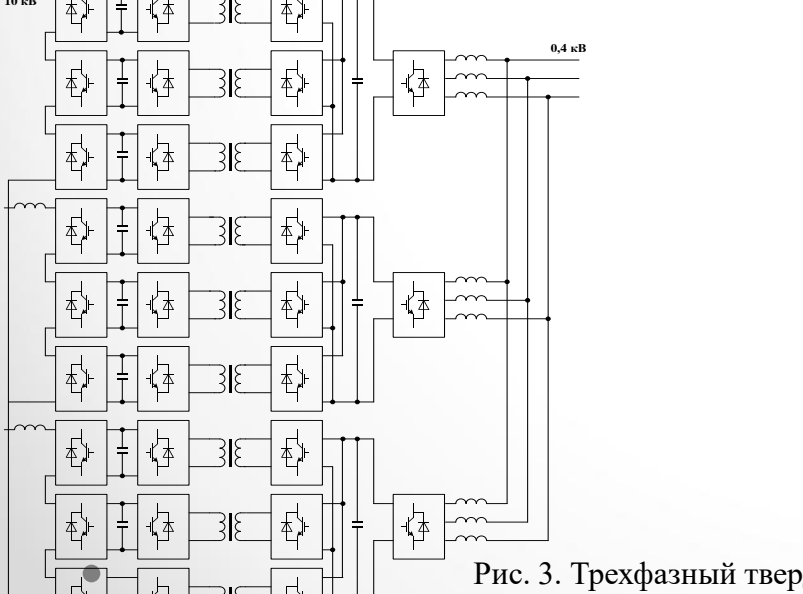


Рис.1. Схема энергороутера, построенного на основе твердотельного трансформатора



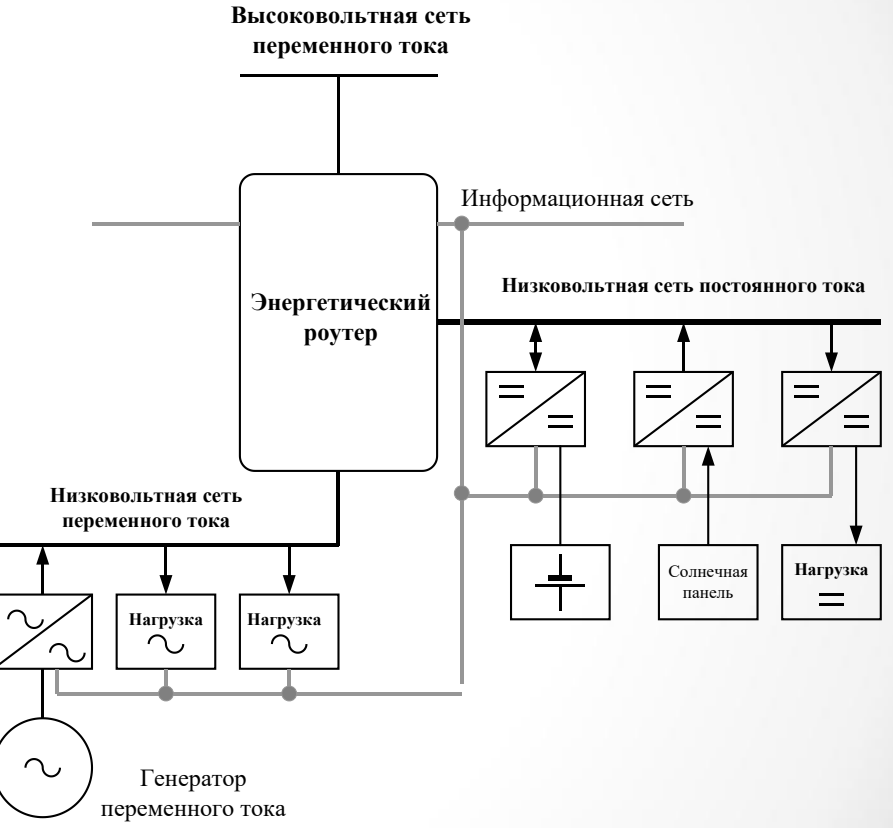


Рис.2. Схема СЭС с энергетическим роутером

Рис. 3. Трехфазный твердотельный трансформатор с параллельными ветвями

25

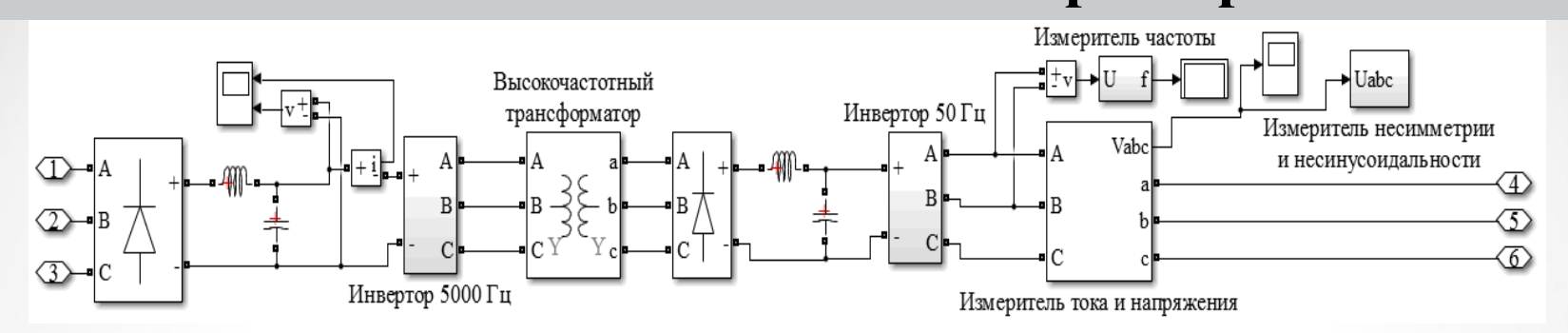


Рис. 1. Схема модели энергороутера с трехфазным трансформатором в MATLAB

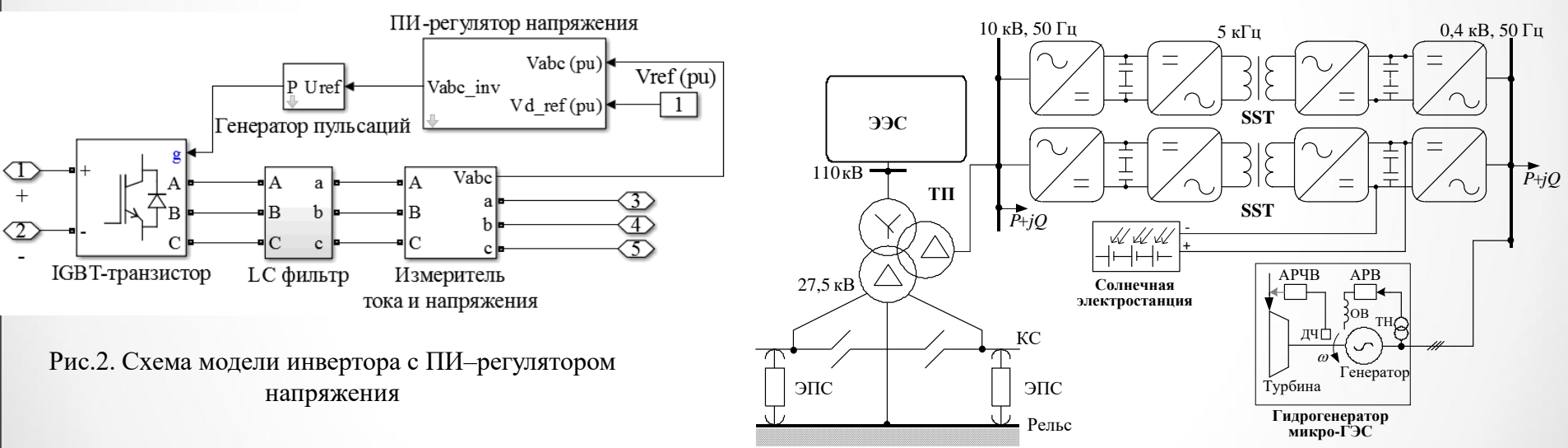


Рис. 3. Фрагмент системы электроснабжения железной дороги с энергороутером

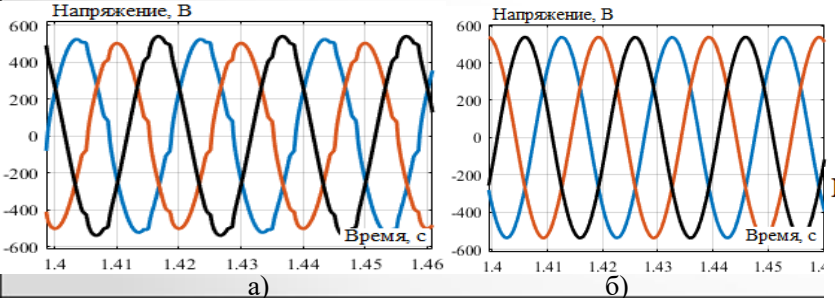
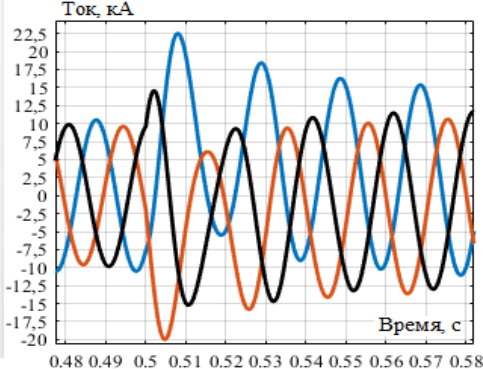


Рис.4. Осциллограммы напряжений на шинах 0,4 кВ нетяговых потребителей:

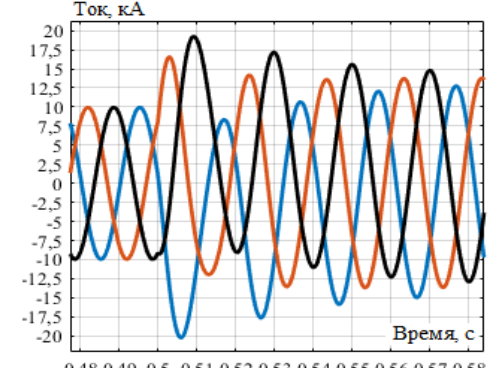
- а) трансформатор: $k_{Uab} = 4.6$ %, $k_{Ubc} = 4.7$ %, $k_{Uca} = 3.4$ %, $k_{2U} = 4.6$ %;
 - б) энергороутер: $k_{Uab} = k_{Ubc} = k_{Uca} = 0.3\%$, $k_{2U} = 0.05\%$

Токи КЗ на шинах	0,4	1 кВ	
------------------	-----	------	--

15.111 10.111 21.111 3,1.112					
Режим работы системи	Вид КЗ		Однофазное КЗ	Двухфазное КЗ на	Трехфазное КЗ
электроснабжения				землю	
1. Использование традиционны	Ударный ток, кА	i_A	17,94	23,52	22,51
трансформаторов 10 / 0,4 кВ		i_B	11,34	18,02	19,99
		i_C	9,61	9,86	15,22
	Периодический ток в начальный момент	I_A	12,04	13,55	13,29
	времени (действующее значение), кА	I_B	7,69	10,6	11,4
		I_C	6,83	6,9	10,47
2. Использование энергороутеров	Ударный ток, кА	i_A	14,71	19,88	20,25
		i_B	11,14	16,13	19,23
		i_C	7,85	9,97	16,55
	Периодический ток в начальный момент	I_A	11,25	12,12	9,77
	времени (действующее значение), кА	I_B	7,9	7,08	9,76
		I_C	5.43	7.05	9.75



а) трансформатор

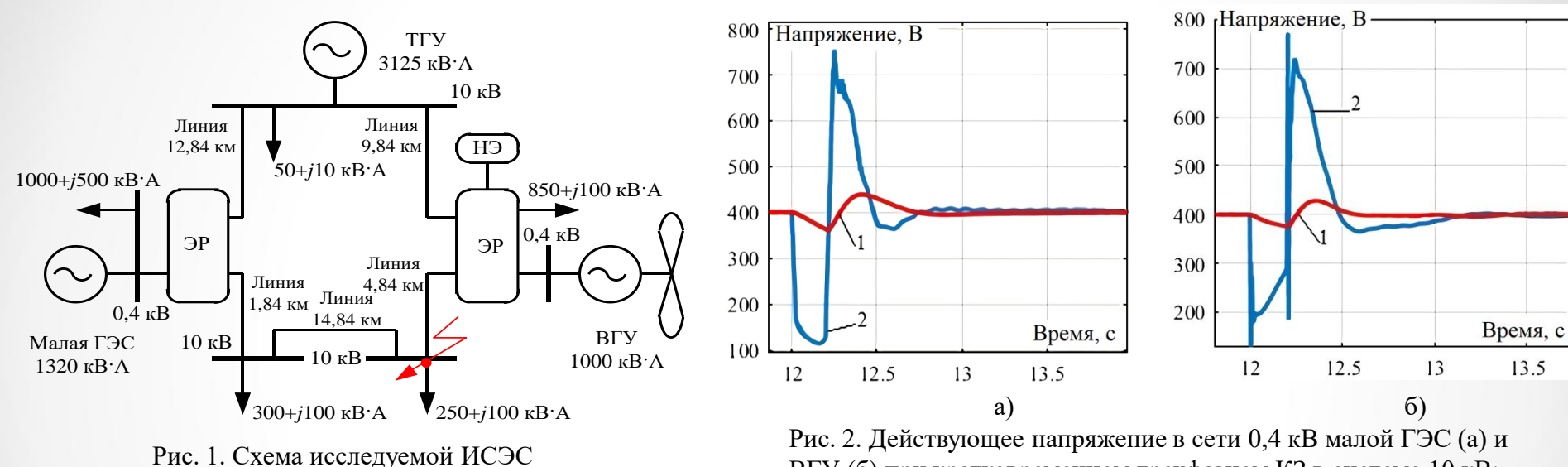


трехфазном КЗ

Рис. 1. Осциллограммы мгновенных значений токов на шинах 0,4 кВ при

- б) энергороутер
- 1. Применение энергороутера для подключения нетяговых потребителей железнодорожного транспорта позволяет устранить проблемы с качеством электроэнергии и обеспечивает надежную интеграцию в систему электроснабжения установок распределенной генерации.
- 2. Энергороутер, построенный на основе высокочастотного твердотельного трансформатора, позволяет ограничивать токи короткого замыкания по сравнению с традиционным трансформатором.
- 3. Применение энергороутера позволяет снизить глубину провала напряжения при удаленном коротком замыкании.

Исследование режимов работы изолированной система электроснабжения с энергетическими роутерами и возобновляемыми источниками энергии



Частота, Ги 50.05 50 49.95

Рис.3. Частота в сети 10 кВ при резком уменьшении скорости ветра: 1 – использовались энергетические роутеры и прогностический АРС генераторов ТГУ и ГЭС; 2 – применялись обычные силовые трансформаторы и прогностический АРС генераторов ТГУ и ГЭС; 3 – применялись обычные силовые трансформаторы и классический АРС генератора ТГУ

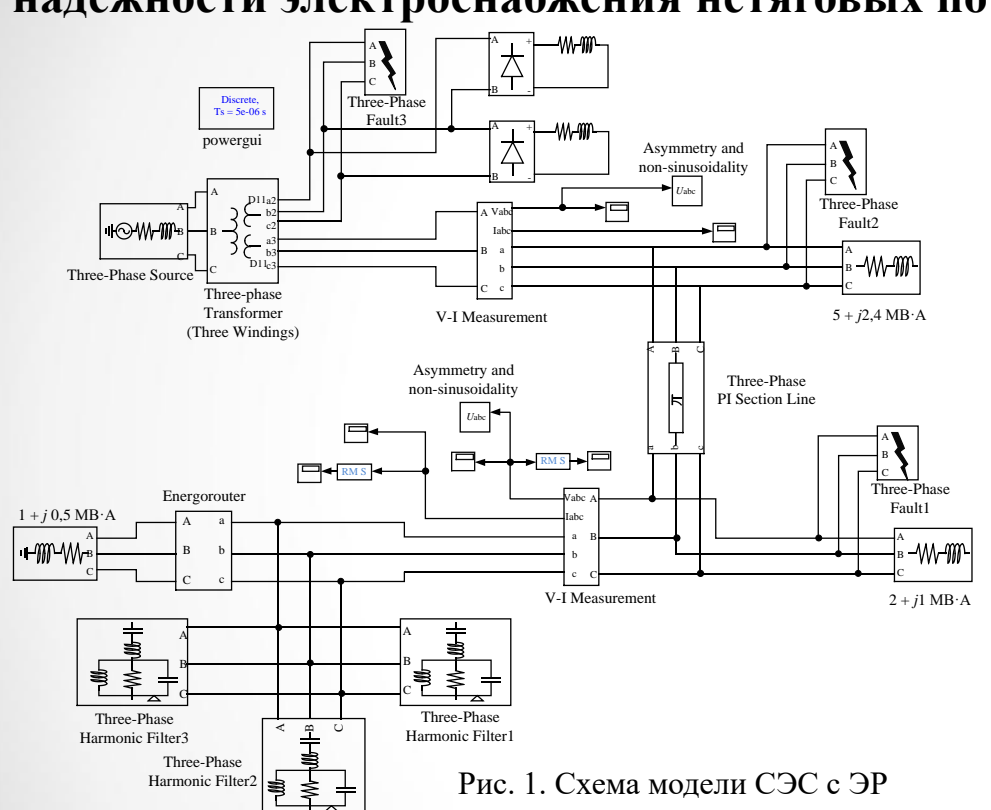
Рис. 2. Действующее напряжение в сети 0,4 кВ малой ГЭС (а) и ВГУ (б) при кратковременном трехфазном КЗ в системе 10 кВ: 1 – использовались энергетические роутеры;

2 – применялись обычные силовые трансформаторы

Применение энергетических роутеров для ИСЭС генерирующих подключения установок на возобновляемых источниках эффективно энергии позволяет регулировать напряжение и частоту.

13.5

Применение энергороутеров и накопителей электроэнергии для повышения надежности электроснабжения нетяговых потребителей



В аварийных режимах, вызванных короткими замыканиями на питающей ЛЭП или в контактной сети, система электроснабжения, оснащенная энергетическим роутером с накопителем энергии, позволяет обеспечить ликвидацию провалов напряжений на шинах 0,4 кВ.

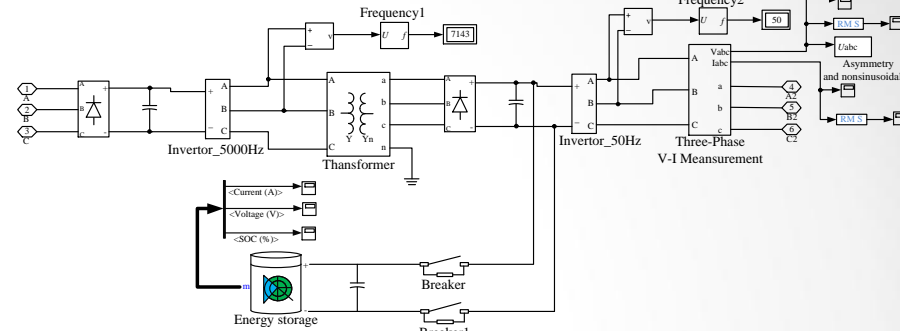


Рис. 2. Схема модели ЭР, оснащенного накопителем энергии

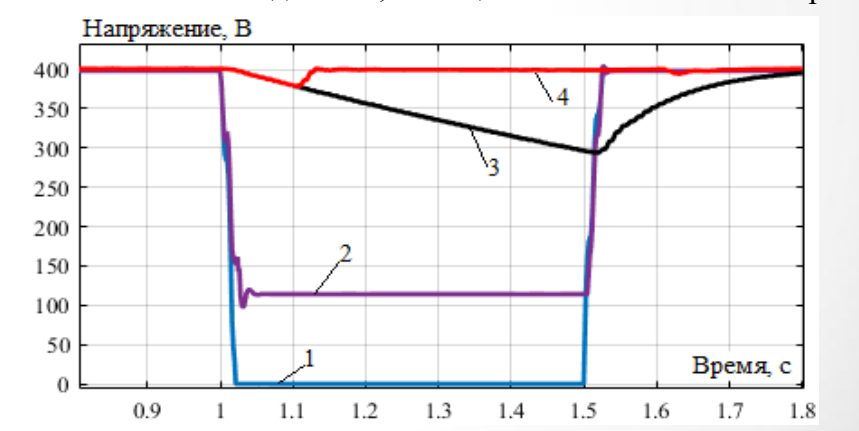
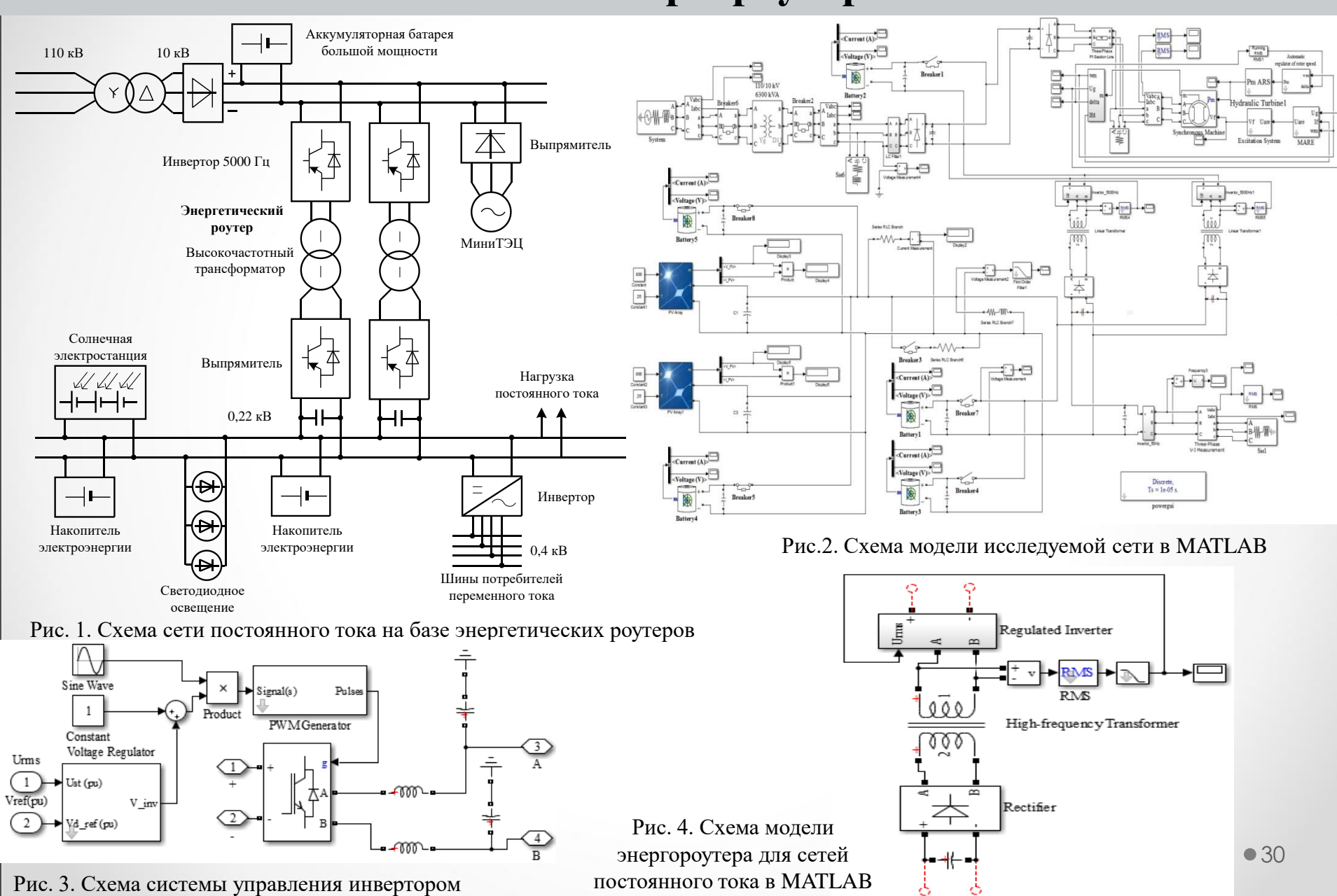


Рис. 3. Временные зависимости действующих значений напряжений на шинах 0,4 кВ при трехфазном КЗ на приемном конце линии 10 кВ длиной 25 км: 1 —типовой трансформатор без НЭ; 2 —типовой трансформатор с НЭ; 3 —энергороутер без НЭ; 4 —энергороутер с НЭ

8. Построение распределительных сетей постоянного тока на основе энергороутера



8. Построение распределительных сетей постоянного тока на основе энергороутера

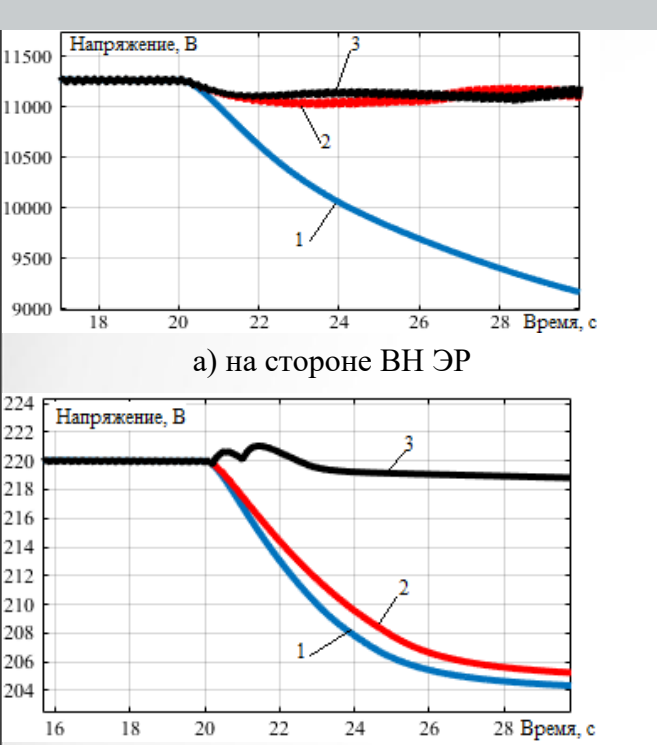


Рис. 1. Напряжение в сети при отключении от питающей ЭЭС 110 кВ: 1 — нерегулируемые ЭР; 2 — регулируемые ЭР при подключении дополнительных НЭ в сети 220 В

б) на стороне НН ЭР

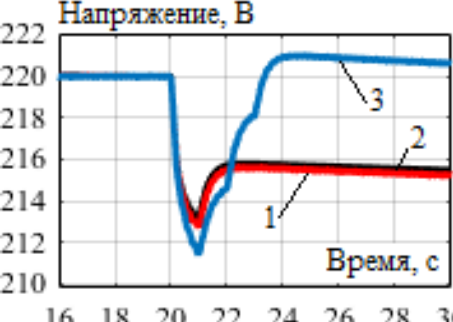
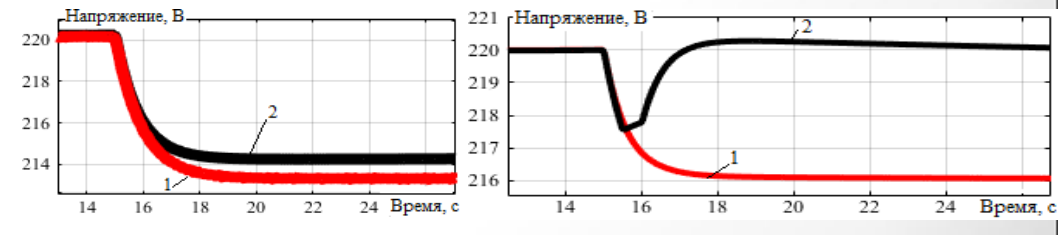


Рис. 2. Напряжение в сети при подключении мощной нагрузки:

- 1 нерегулируемые ЭР; 2 – регулируемые ЭР;
- 3 регулируемые ЭР при подключении дополнительных НЭ в сети 220 В

Таблица 1. Глубина провала напряжения при отключении питающей ЭЭС

D	M	M	M	
Режим работы сети	Максимальная	Максимальная	Максимальная	
	глубина провала	глубина провала	глубина провала	
	напряжения на	напряжения на	напряжения на	
	стороне ВН ЭР,	стороне НН ЭР в	стороне НН ЭР в	
	% $\delta U_{II}^{\rm max}$	сети постоянного	сети переменного	
	11	тока , % $\delta U_{arPi}^{ m max}$	тока, % $\delta U_{arPi}^{ m max}$	
1. Нерегулируемые ЭР без	21,8	18,2	16,3	
использования НЭ	21,0	18,2	10,3	
2. Регулируемые ЭР без	2,3	15.0	145	
использования НЭ	2,3	15,9	14,5	
Снижение глубины провала				
напряжения в режиме 2 по	19,5	2,3	1,8	
сравнению с режимом 1, %				
3. Регулируемые ЭР с постоянно	1 4	6.4	7	
подключенными на СЭС НЭ	1,4	6,4		
Снижение глубины провала				
напряжения в режиме 3 по	0,9	9,5	7,5	
сравнению с режимом 2, %				



- 1 нерегулируемые ЭР;
- 2 регулируемые ЭР
- 1 НЭ на СЭС постоянно включены; 2 – НЭ на СЭС подключаются при
- снижении напряжения Рис. 3. Напряжение в сети при значительном снижении

9. Исследование влияния установок РГ на аварийные режимы в СЭС с пониженным качеством электроэнергии

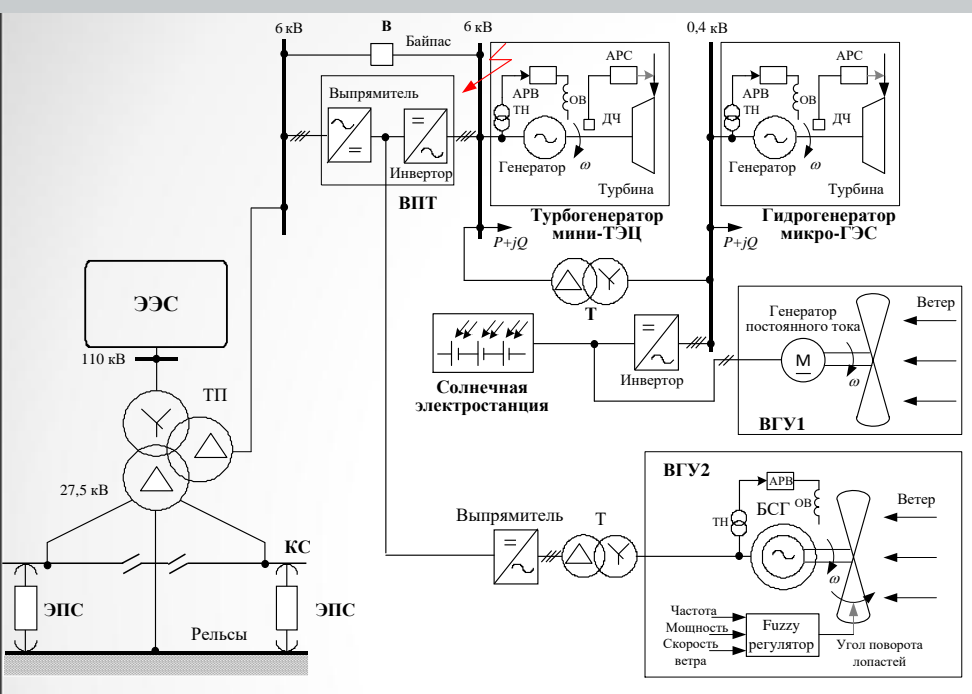


Рис. 1 Фрагмент СЭЖД с установками РГ

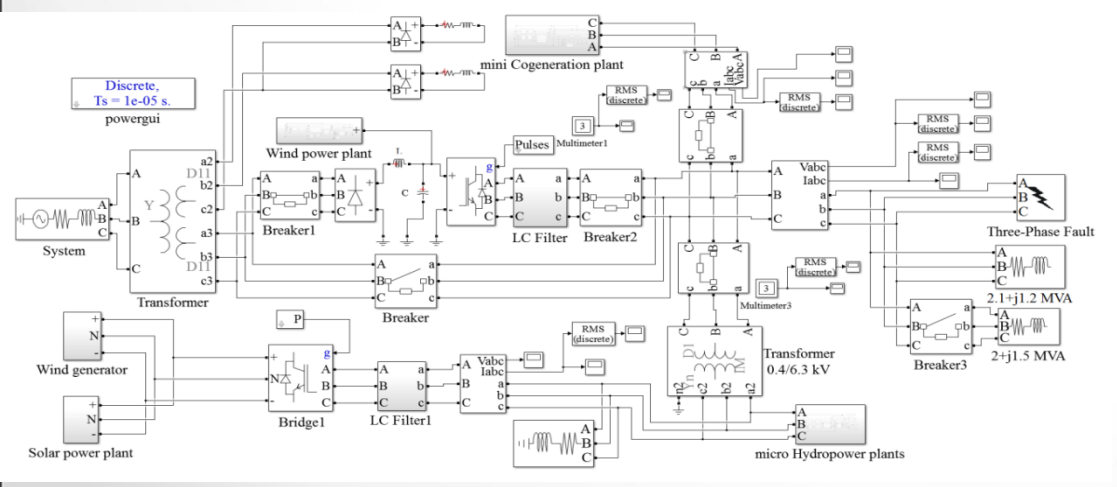
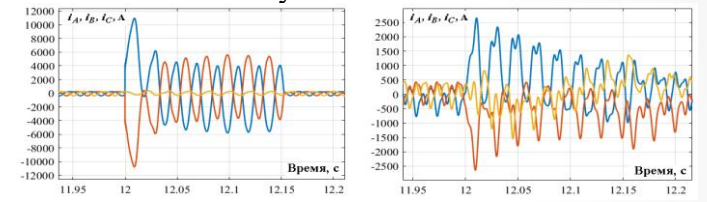


Рис. 2. Схема исследуемой модели в МАТLAВ

При моделировании рассматривались режимы трехфазного и двухфазного КЗ на шинах 6 кВ главного РП РЭС в следующих вариантах:

- 1. Установки РГ и ВПТ отключены, включен байпас.
- 2. Включены мини-ТЭЦ и байпас, ВПТ отключена.
- 3. Включены мини-ТЭЦ и ВПТ.
- 4. Включены ВПТ, мини-ТЭЦ, микро-ГЭС, СЭС и ВГУ1.
- 5. Включены ВПТ и все установки РГ.



Выводы по результатам моделирования:

- 1. При использовании установок распределённой генерации увеличиваются токи короткого замыкания, что требует дополнительной проверки коммутационного оборудования и пересчёта уставок релейной защиты для обеспечения селективности.
- 2. Применение ВПТ снижает токи, подтекающие со стороны ЭЭС. Таким образом, использование группы выпрямитель-инвертор является действенной мерой ограничения токов КЗ.
- 3. При двухфазном коротком замыкании по сравнению трехфазным КЗ наблюдается значительное синусоидальности искажение кривых подтекающих от источников РГ. Это объясняется тем, что при несимметрии токов синхронные генераторы начинают генерировать в сеть ВГ; при наибольшие наблюдается искажения неповрежденной фазе. • 32

10. Построение СЭС на основе АСГ в условиях пониженного КЭ

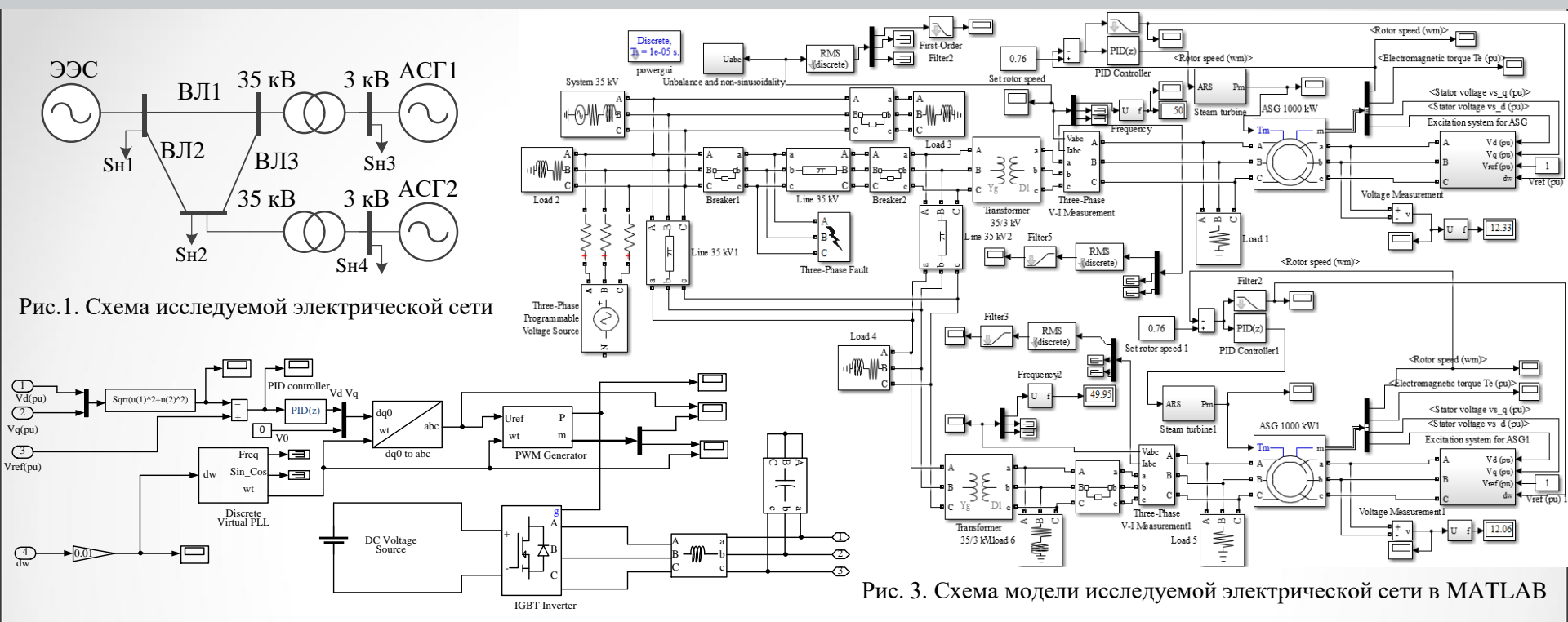


Рис. 2. Схема модели системы возбуждения АСГ в MATLAB

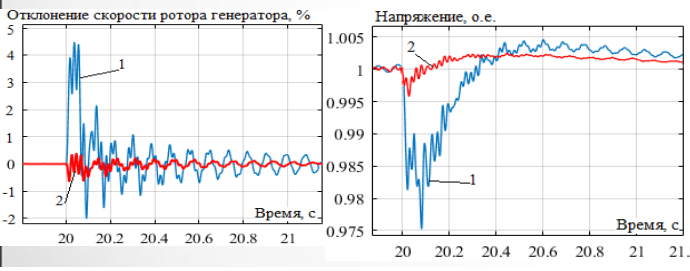


Рис. 4. Скорость ротора и напряжение для АСГ2 при его подключении методом самосинхронизации:

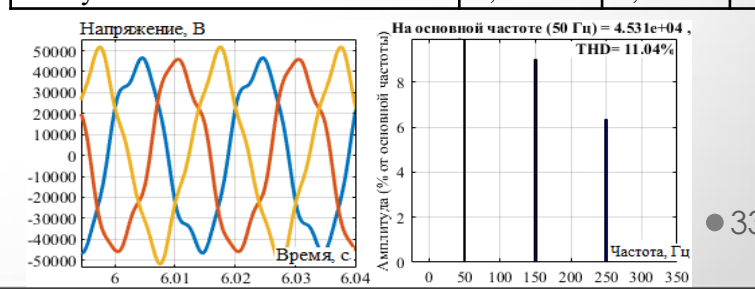
- 1 без изменения частоты на обмотке ротора;
- 2 частота на обмотке ротора изменялась автоматически

Отклонение скорости вращения ротора генератора, % 60 50 40 30 20 10 8 Время, с 2 9,8 10 10.2 10.4 10.6 10.8

Рис.5. Скорость ротора при K3 на линии и ее отключении защитой:

Таблица 1. ПКЭ в исследуемой электрической сети на шинах 3 кВ

таолица 1. 11ко в иселедуемой электрической ести на шинах 3 кв				
Режим работы	Коэффициенты гармоник			
электрической сети	напряжения, %			
	k_{Ua}	k_{Ub}	k_{Uc}	
1. Без установок РГ	11,02	11,02	11,02	
2. С установками РГ на базе СГ	9,27	9,27	9,27	
3. С установками РГ на базе АСГ	6,58	6,58	6,58	
Напряжение, В $\frac{1}{3}$ На основной частоте (50 Γ п) = 4.531e+04 ,				



11. Метод согласованной настройки регуляторов установок распределенной генерации

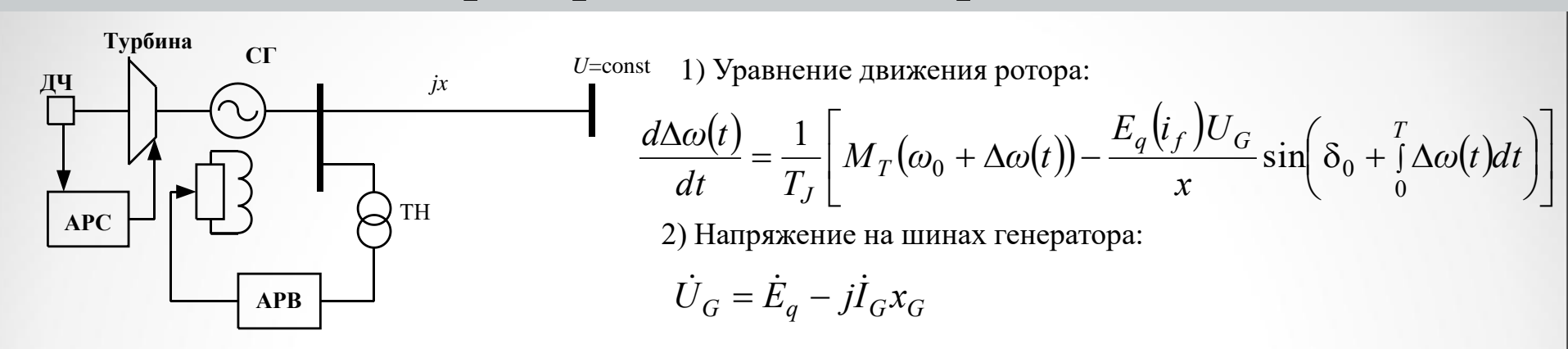


Рис. 1. Генератор, работающий на шины бесконечной мощности

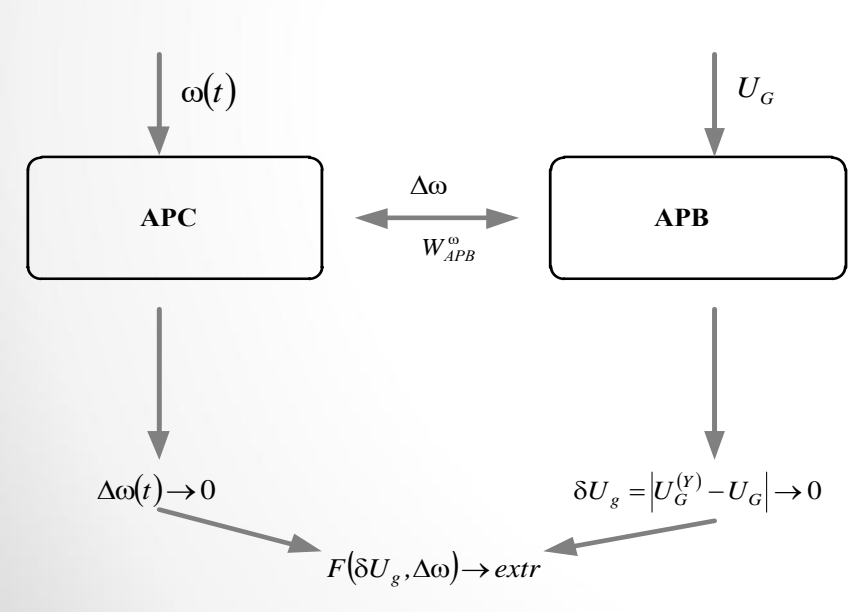
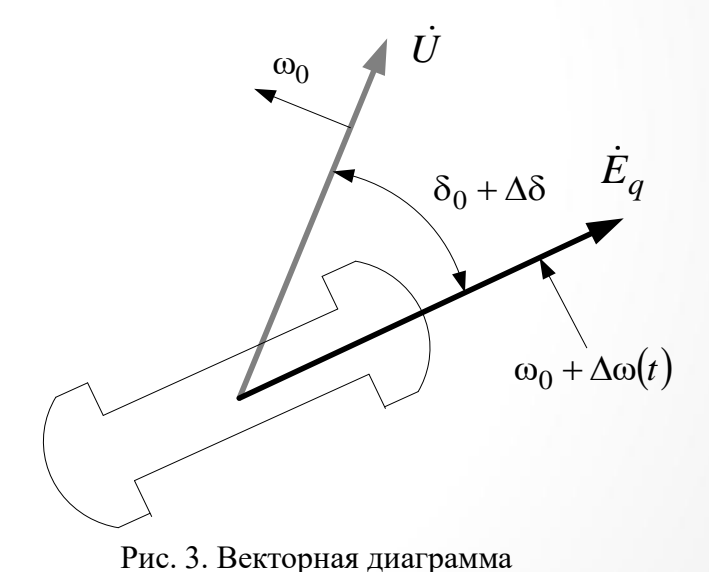


Рис. 2. Схема, иллюстрирующая принцип согласованной настройки APB и APC:

 $F\left(\delta U_{g},\Delta\omega\right)$ — функционал качества управления при согласованной настройке APB и APC



δ₀ – начальное значение угла между векторами ЭДС и напряжения генератора (угол нагрузки);

 ω_0 – синхронная частота вращения;

 $\Delta\delta$ – вариация угла нагрузки;

 $\Delta \omega$ – вариация скорости вращения ротора

34

11. Метод согласованной настройки регуляторов установок распределенной генерации

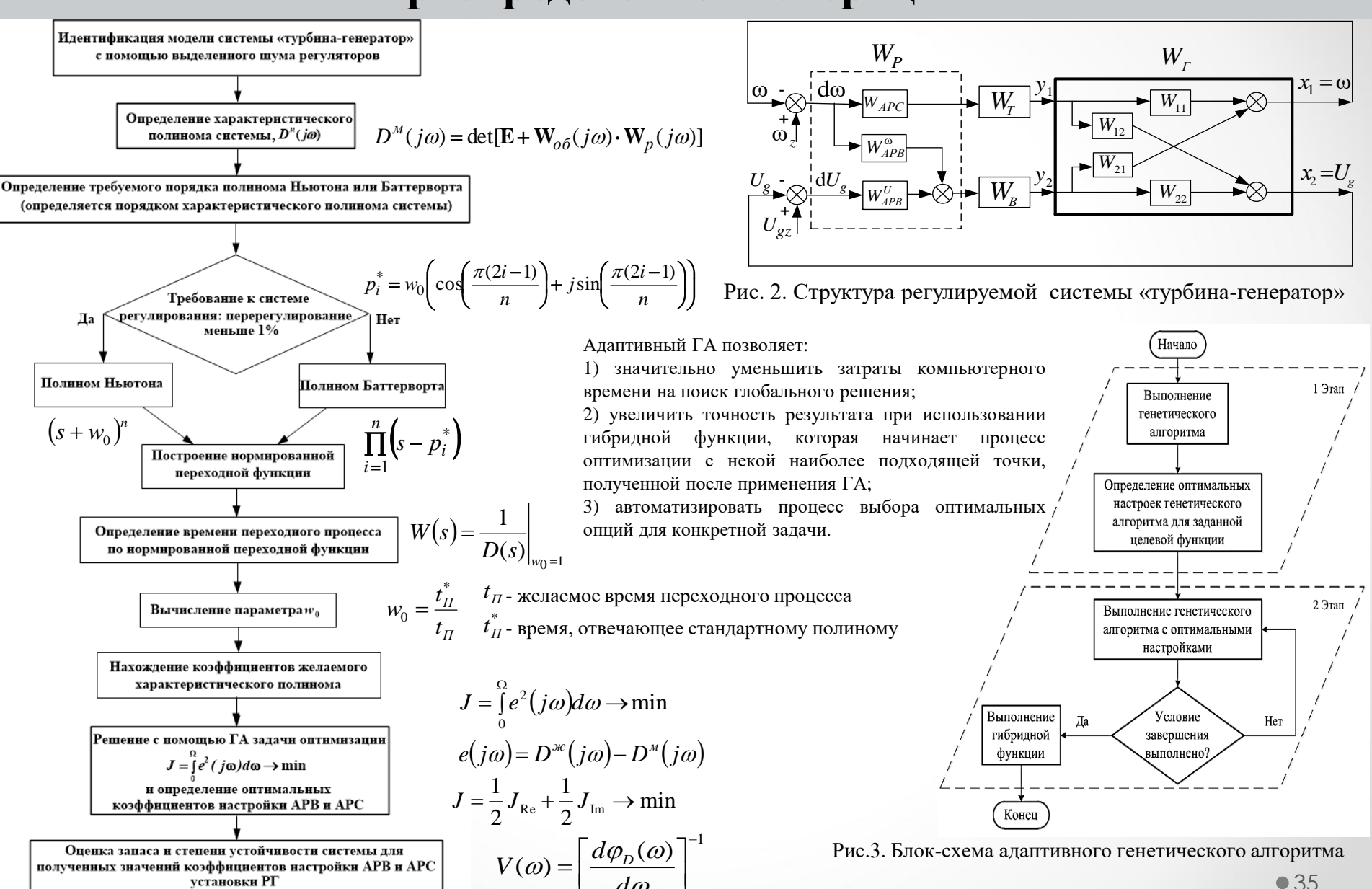
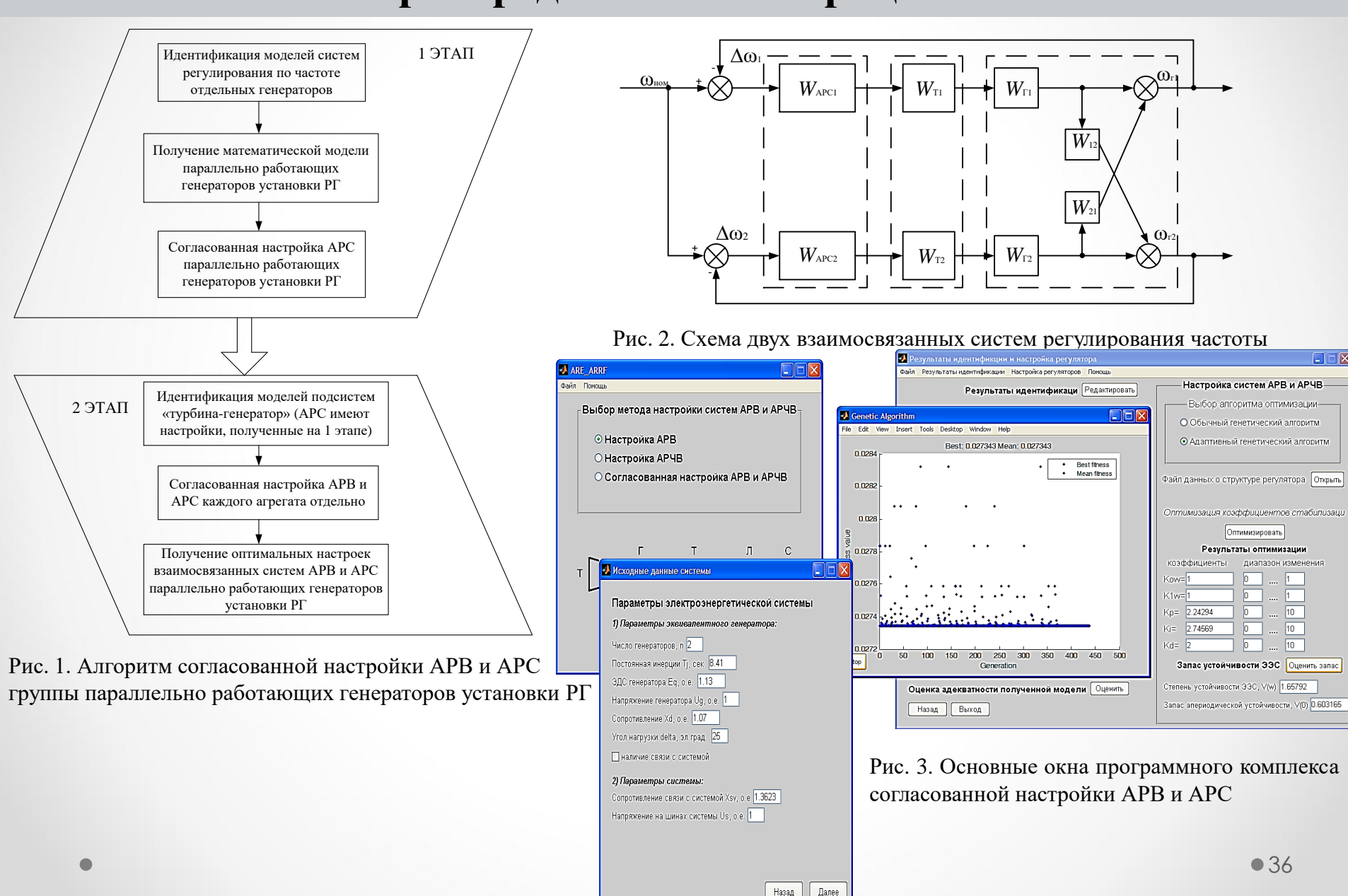
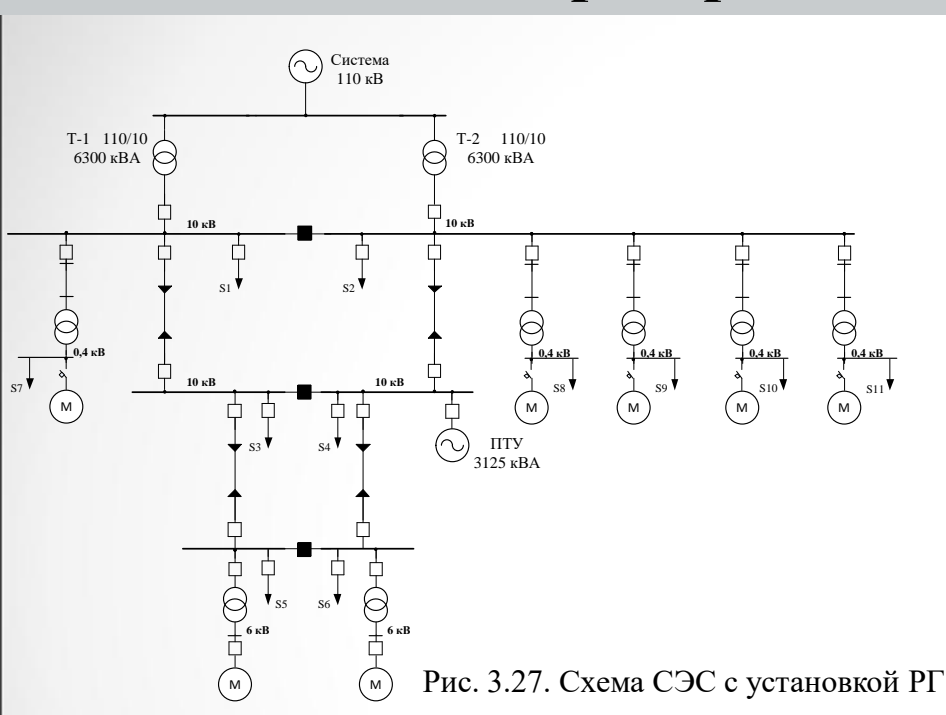


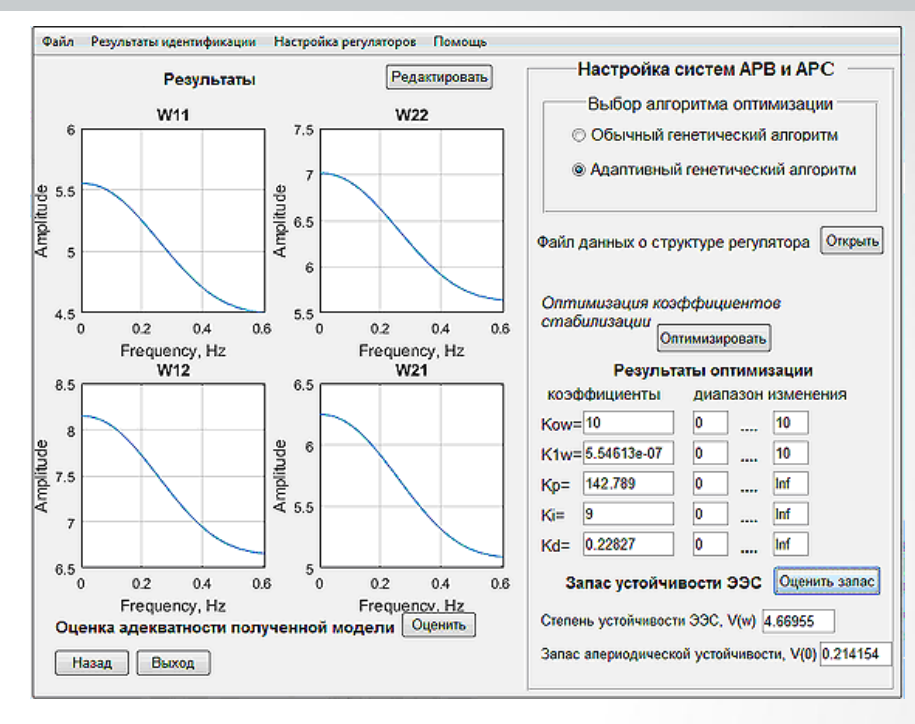
Рис. 1. Алгоритм согласованной настройки АРВ и АРС генераторов установки РГ

11. Метод согласованной настройки регуляторов установок распределенной генерации



11. Метод согласованной настройки регуляторов установок распределенной генерации





Механическая мощность на валу турбины Pm, о.е. 0.86 0.840.82 0.8 0.78 0.760.740.72 Время, с 0.7[Напряжение, В 10600 10400 10200 10000 9800 9400 Время, с 25 26 27 28 29 30 31 32

Отклонение скорости ротора, о.е.

0.01
0
-0.01
-0.02
-0.03
-0.04
-0.05
25 26 27 28 29 30

1 – несогласованная настройка APB и APC;

2 – согласованная настройка APB и APC

Рис. 3.29. Окно ПК ARE&ARRF с результатами идентификации и настройки APB и APC

Согласованная настройка APB и APC установки PГ позволяет улучшить демпферные свойства системы, делая управление частотой и напряжением более быстрым и плавным.

Практическое использование алгоритма согласованной настройки APB и APC позволит повысить надежность работы установок РГ и качество процессов управления.

12. Нейро-нечеткая система управления автоматическими регуляторами установок распределенной генерации

Оптимальное управление установками РГ требует корректировки настроек АРВ и АРС при существенных изменениях режимов работы как самих установок, так и энергосистемы.

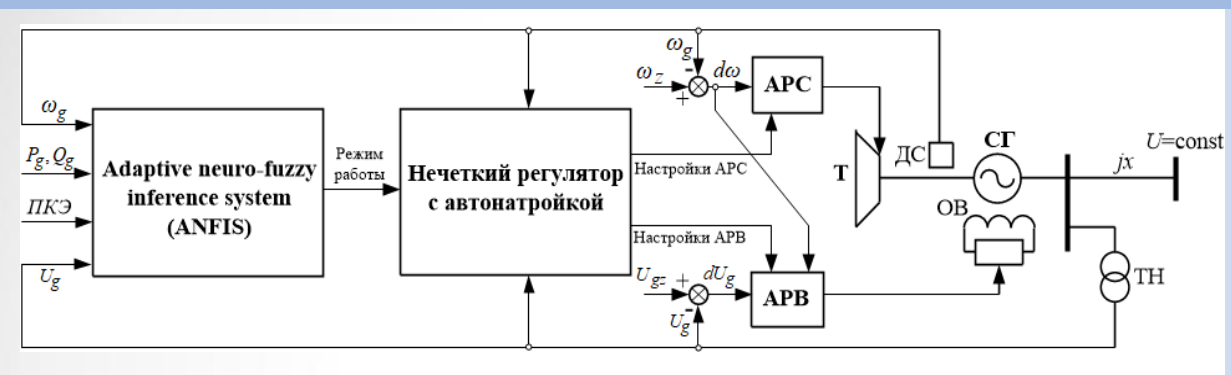
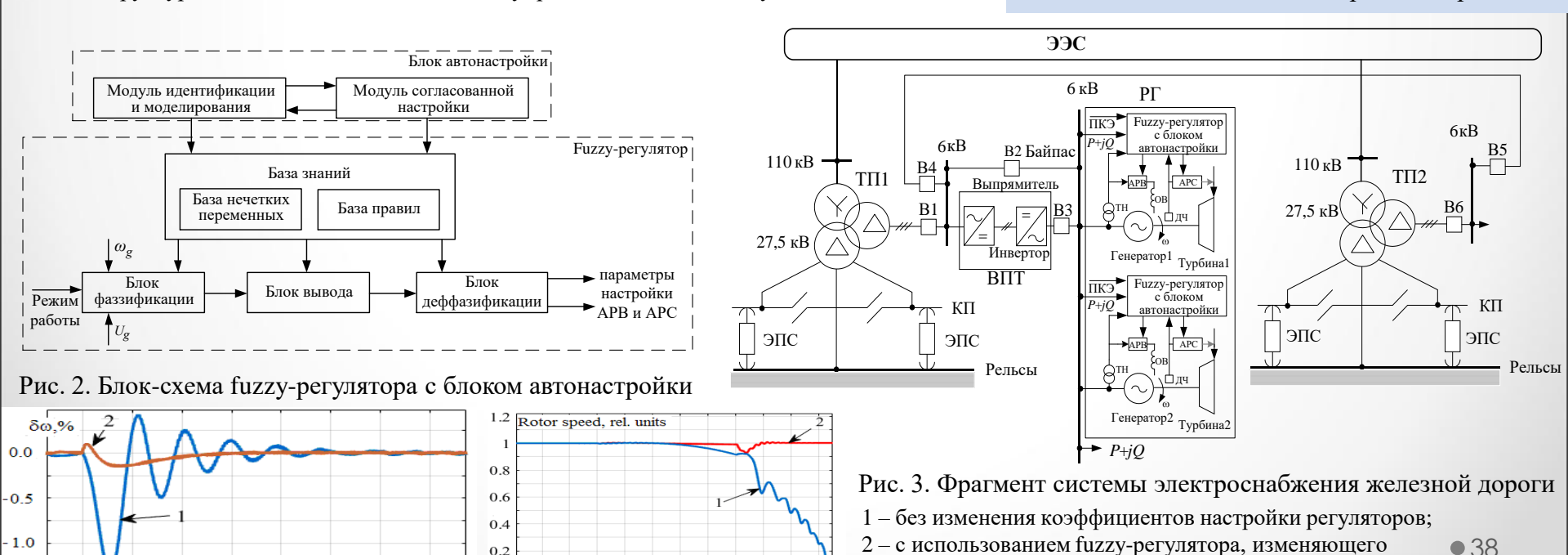


Рис. 1. Структурная схема адаптивной системы управления АРВ и АРС установки РГ

4.5

- 1. Использование ANFIS и метода субтрактивной кластеризации позволяет в режиме реального времени идентифицировать режим работы установки РГ.
- 2. Интеллектуальная система управления APB и APC уменьшает время переходного процесса, перерегулирование напряжения и частоты, а также обеспечивает необходимый запас устойчивости, живучесть и адаптивность системы ко всем возможным режимам работы.



настройки

12. Нейро-нечеткая система управления автоматическими регуляторами установок распределенной генерации





б) без использования fuzzy-блока

Весіційов System Standard System Sta

13. Прогностические алгоритмы управления установками РГ в СЭС с пониженным качеством электроэнергии

В системах APB и APC предлагается перейти от регулирования по текущему значению ошибки $\varepsilon(t)$ к управлению, предполагающему вычисление значения прогноза $\varepsilon(t+\tau_{for})$,

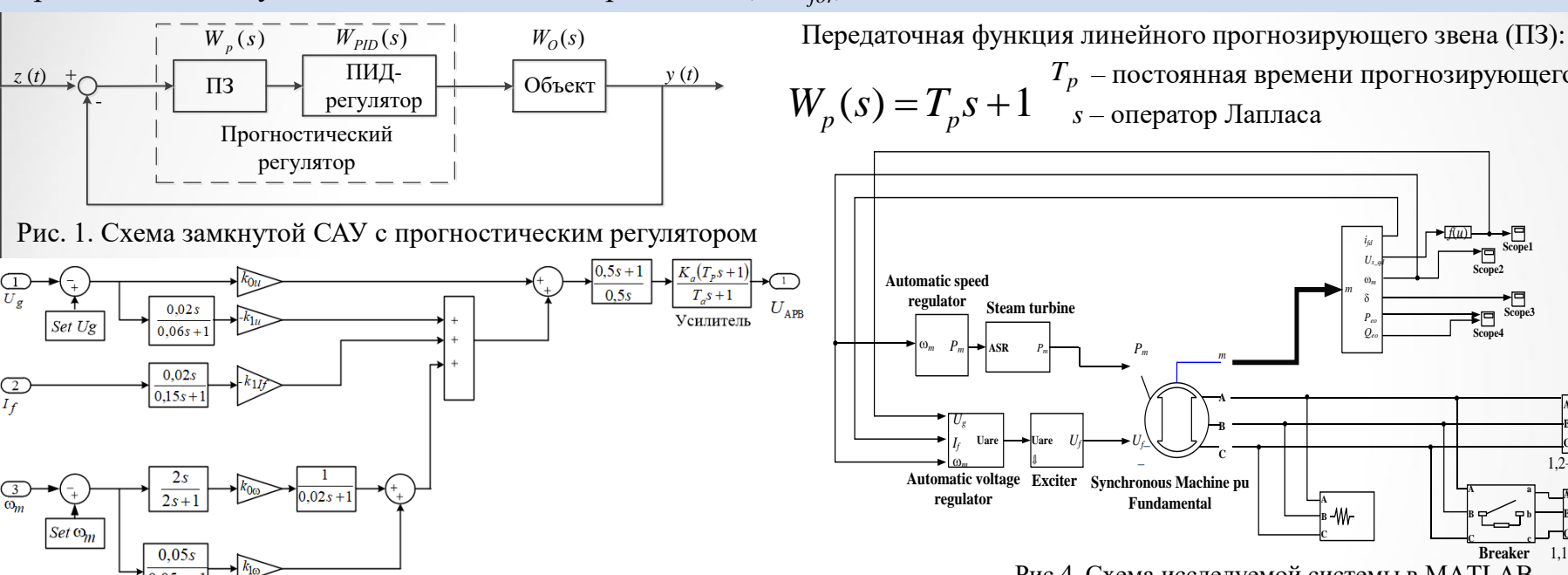


Рис. 2. Структурная схема модели прогностического APB в MATLAB

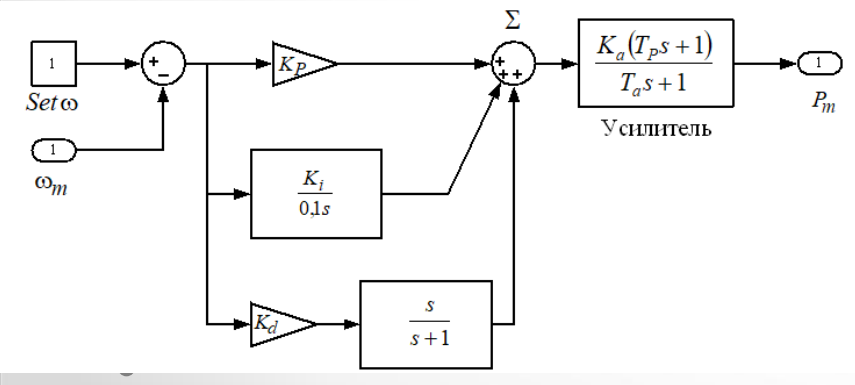


Рис. 3. Структурная схема модели прогностического APC в MATLAB

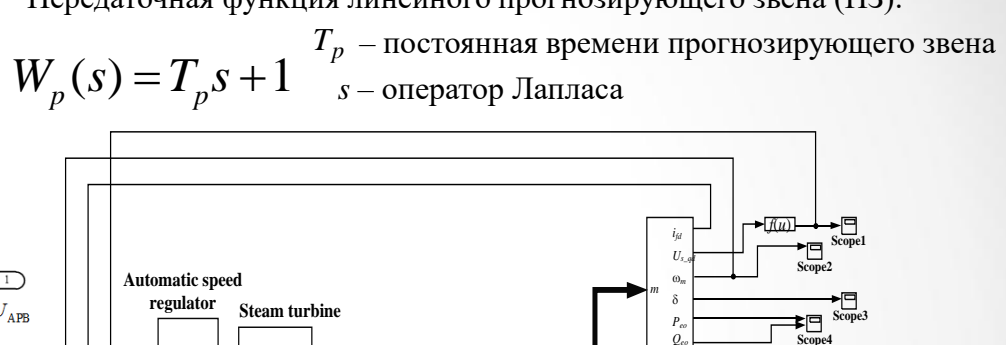
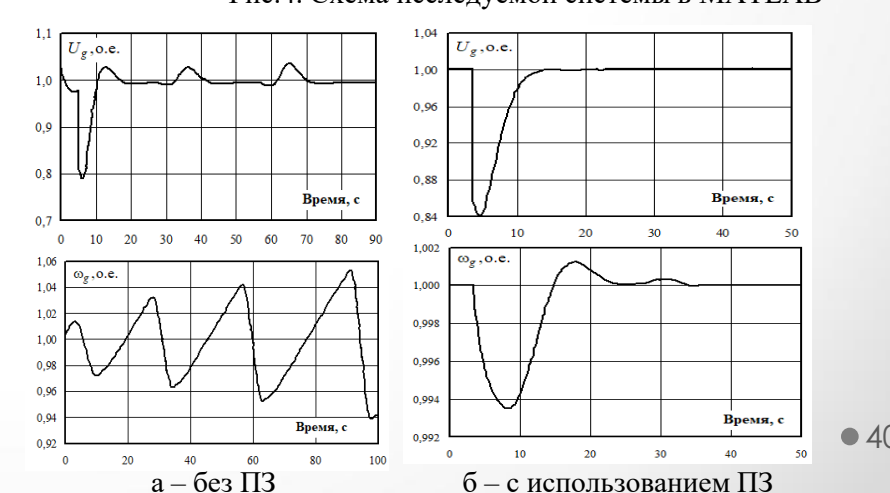


Рис.4. Схема исследуемой системы в МАТLAВ



13. Прогностические алгоритмы управления установками РГ в СЭС с пониженным качеством электроэнергии

Метод настройки прогностических регуляторов установок распределенной генерации

- синхронного генератора
- 1. Расчет частоты собственных колебаний $\omega_p = \sqrt{P_s \cdot \frac{\omega_M}{T_{io}}}$ $P_s = \frac{\partial P_g}{\partial \delta} = \frac{E_q \cdot U_g}{X_d} \cdot \cos \delta$ синхронизирующая мощность
- 2. Расчет постоянных времени прогнозирующих звеньев для АРВ и АРС

$$T_p = \frac{1}{f_p} = \frac{2\pi}{\sqrt{P_s \cdot \frac{\omega_0}{T_{je}}}}$$

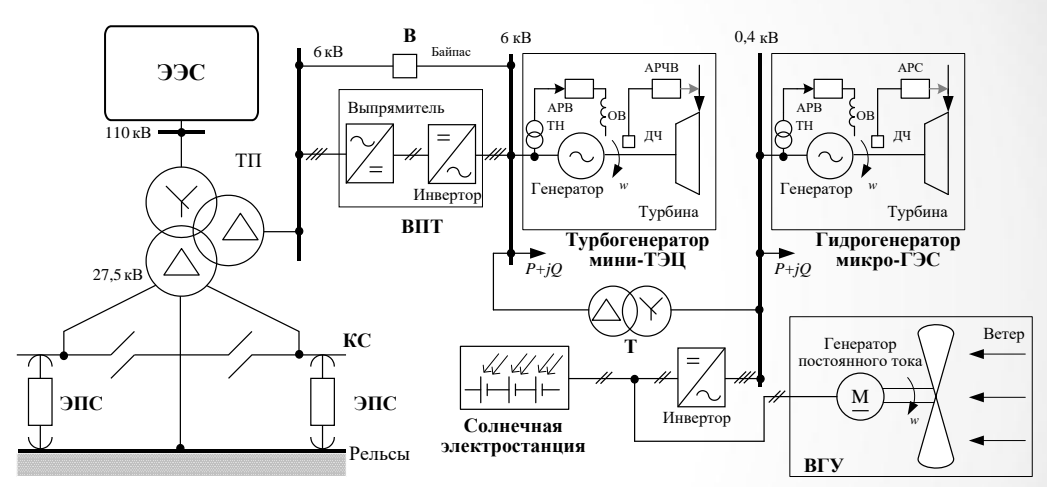


Рис. 2. Фрагмент СЭЖД с установками РГ

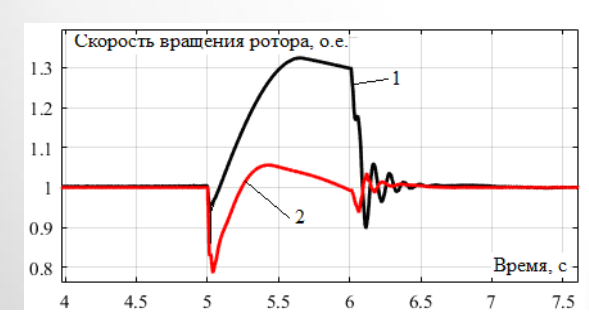


Рис.3 Скорость ротора при возникновении кратковременного КЗ

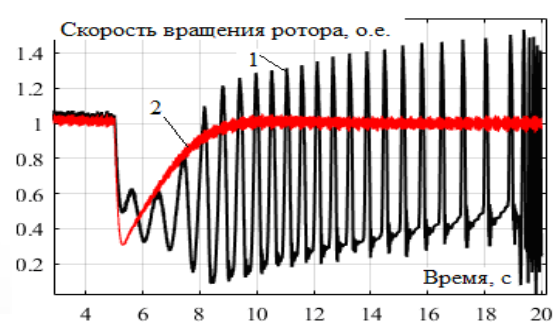
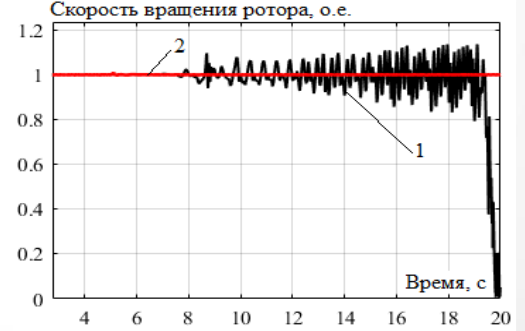
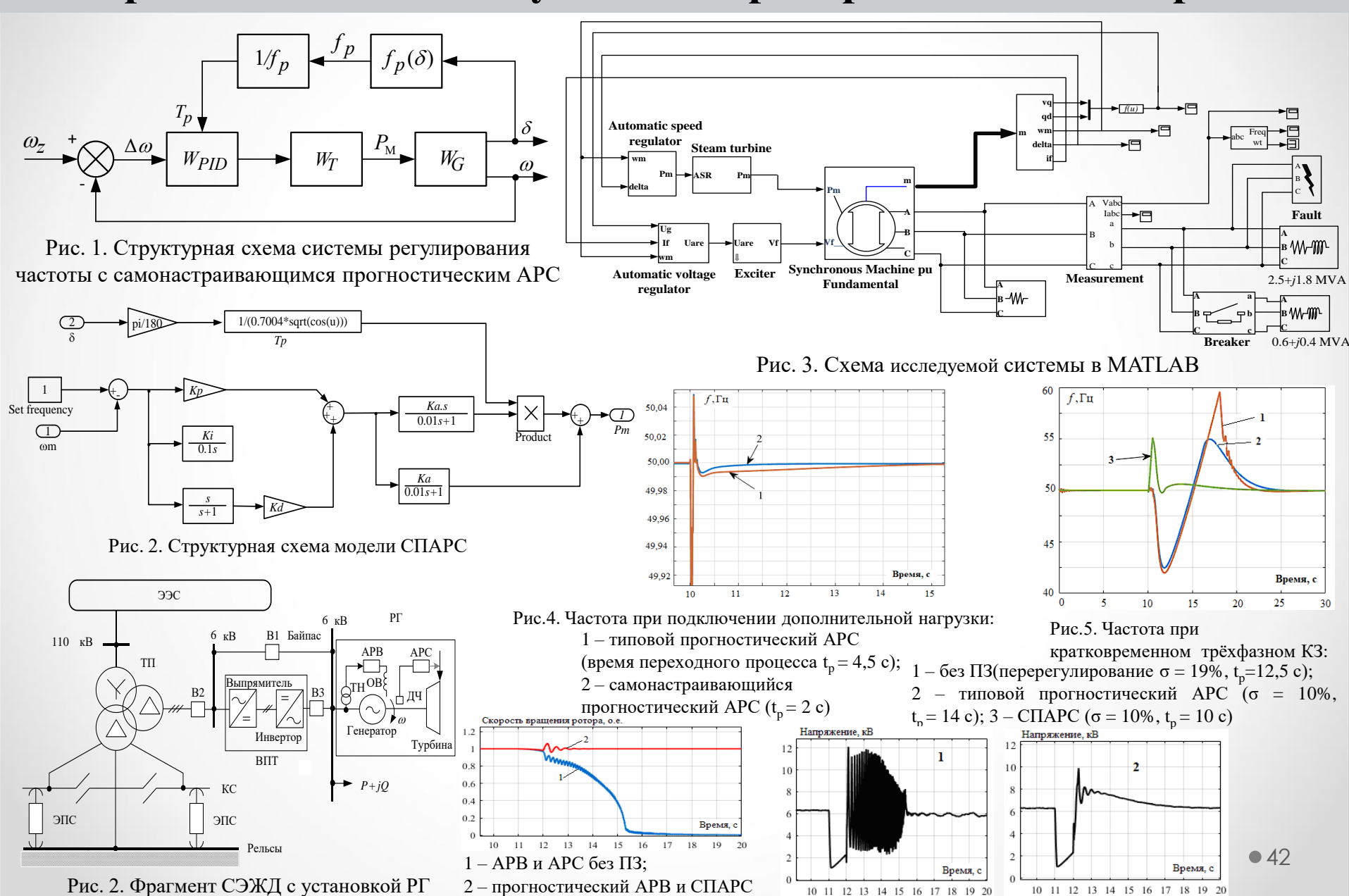


Рис.4. Скорость ротора турбогенератора (а) и гидрогенератора (б) при отключении основного питания





Discrete, Ts = 5e-06

подключенных НЭ

Исследование совместной работы установки РГ с прогностическим APB и СПАРС и накопителя электроэнергии большой емкости

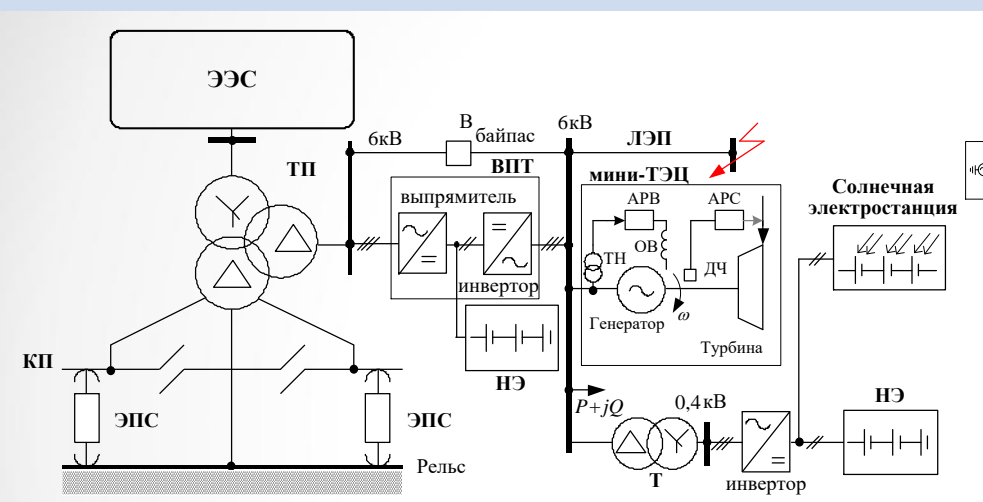
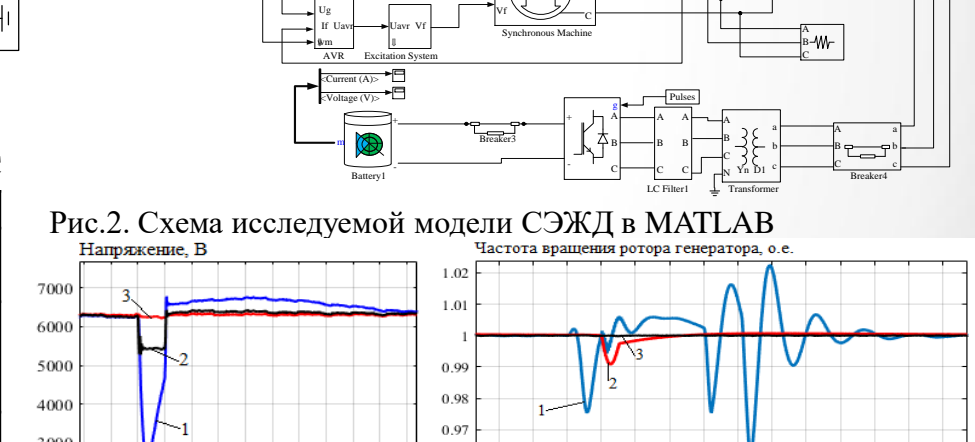


Рис. 1. Фрагмент СЭЖД с установками РГ и НЭ

Таблица 1. Провал напряжения при отключении основного питания РЭС

world it is possible in the control of the control								
Режим работы сетевого кластера	δU_{arPi}^{cp} , %	$\delta U_{II}^{\mathrm{max}}$, %						
1. Без использования НЭ с согласованно	47,6	69,8						
настроенными АРВ и АРС	47,0	03,0						
2. Без использования НЭ с согласованно								
настроенными АРВ и самонастраивающимся	42,1	57,1						
прогностическим АРС								
Снижение глубины провала напряжения при								
использовании самонастраивающегося	5,5	12,7						
прогностического АРС, %								
прогностического АРС, % 3. С использованием НЭ, подключаемых при	1.4	15						
	14	15						
3. С использованием НЭ, подключаемых при								
3. С использованием НЭ, подключаемых при отключении основного питания	14 27	15 42,8						



7 7.5 8 8.5 9 9.5 10 10.5 11 11.5 12 12.5 13 13.5 Рис. 3. Напряжение и скорость ротора турбогенератора установки РГ при

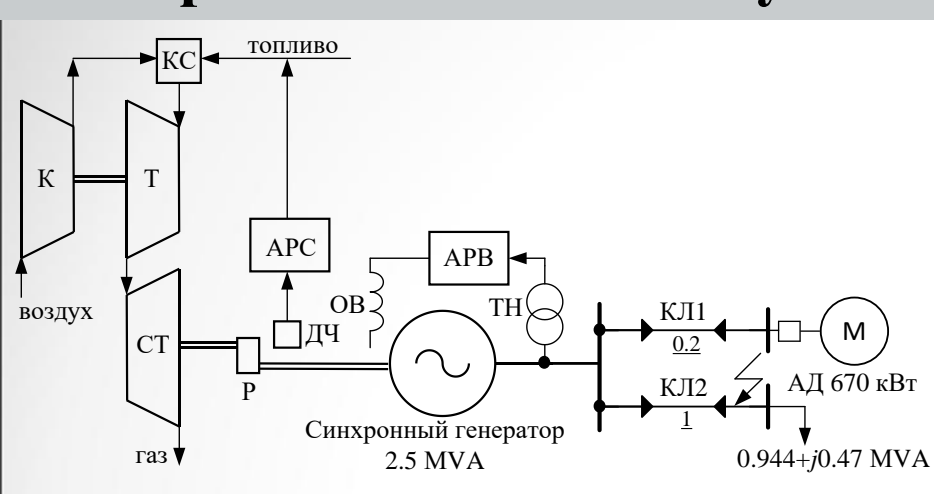
1 – без использования НЭ; 2 – с использованием НЭ, подключаемых при

• 43

Время, с

отключении основного питания РЭС (применялся СПАРС):

отключении основного питания; 3 – с использованием постоянно



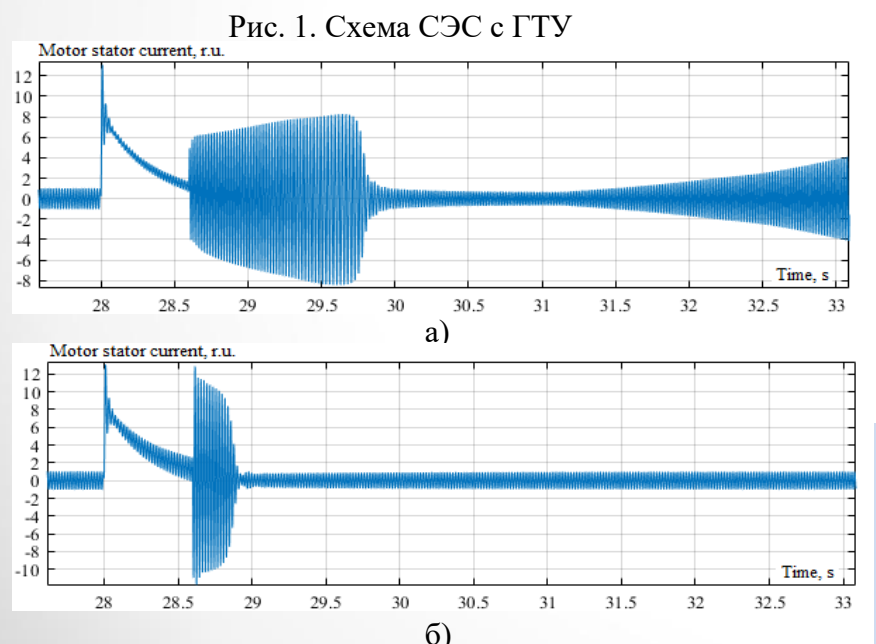


Рис. 4. Осциллограммы токов статора двигателя при кратковременном трехфазном КЗ: а) классические APB и APC; б) прогностический APB и СПАРС

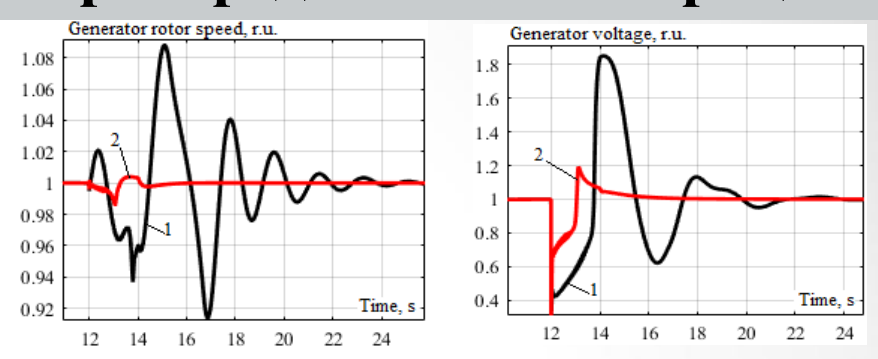
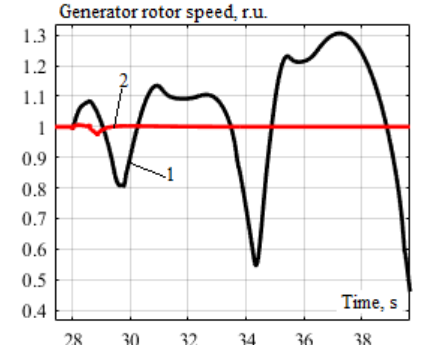


Рис. 2. Скорость ротора (a) и напряжения генератора (б) при пуске мощного АД: 1 – классические APB и APC; 2 – прогностический APB и СПАРС



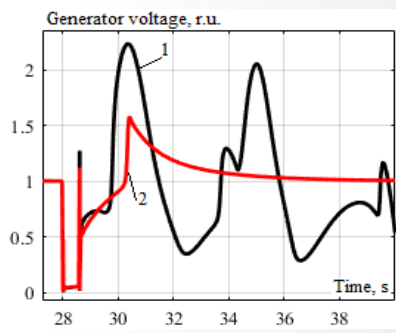


Рис.3. Скорость ротора (а) и напряжения генератора (б) при кратковременном трехфазном КЗ: 1 – классические APB и APC; 2 – прогностический APB и СПАРС

- 1. Прогностические алгоритмы в регуляторах ГТУ улучшают демпферные свойства системы и позволяют обеспечить динамическую устойчивость при кратковременном трехфазном КЗ.
- 2. Применение прогностических APB и СПАРС позволяет получить приемлемое качество управления напряжением и скоростью вращения ротора генератора ГТУ без решения задачи настройки регуляторов.

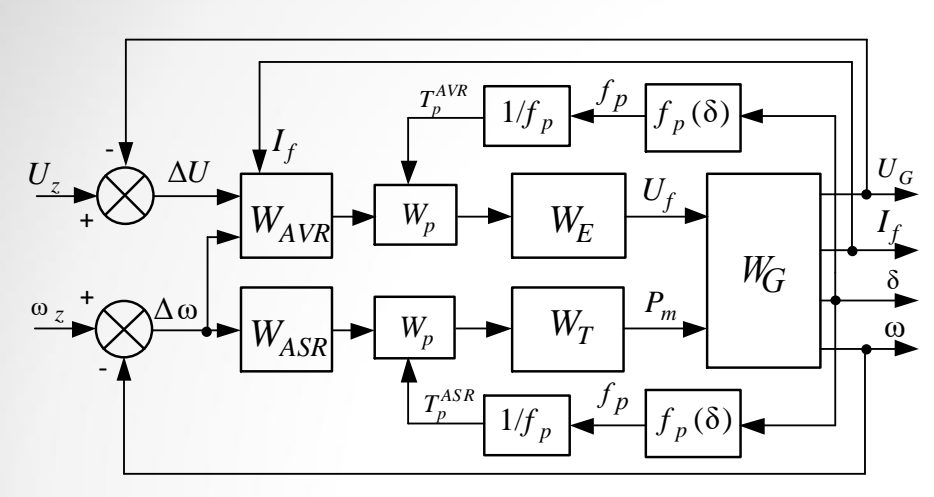
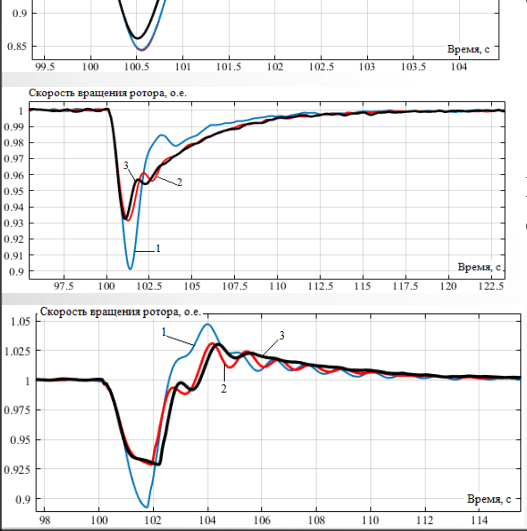


Рис. 1. Структурная схема системы регулирования напряжения и частоты с самонастраивающимися прогностическими APB и APC



Напряжение, о.е.

Рис.5 Напряжение при отключении мощной нагрузки

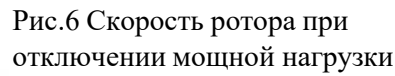


Рис.7. Скорость ротора при кратковременном КЗ: 1 – обычные APB и APC; 2 – обычный APB и СПАРС;

^{15, с} 3 – СПАРВ и СПАРС

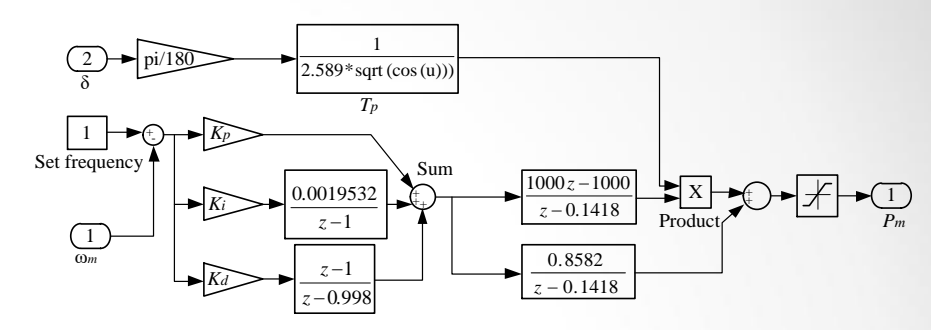


Рис. 2. Структурная схема модели цифрового СПАРС

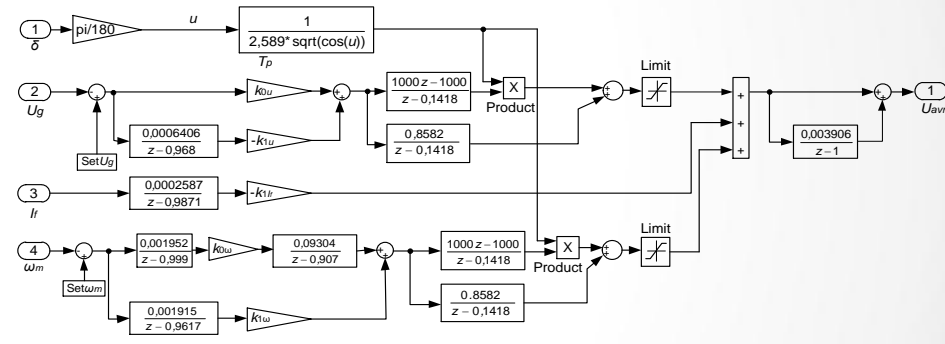


Рис. 3. Схема модели цифрового СПАРВ

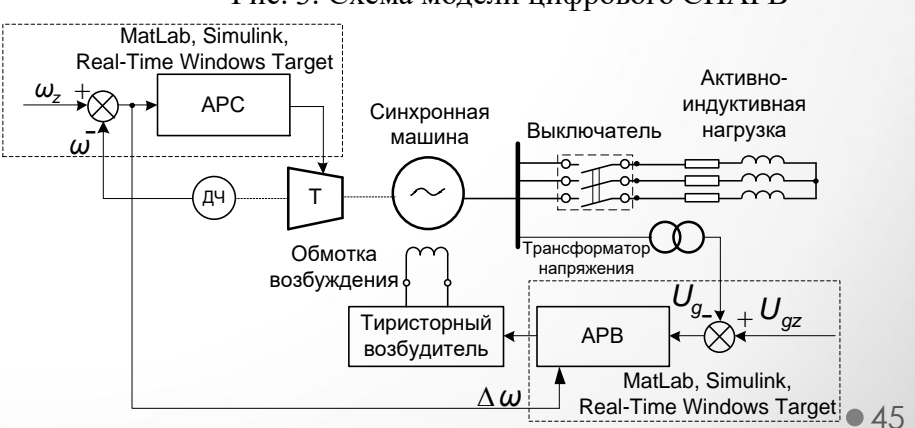
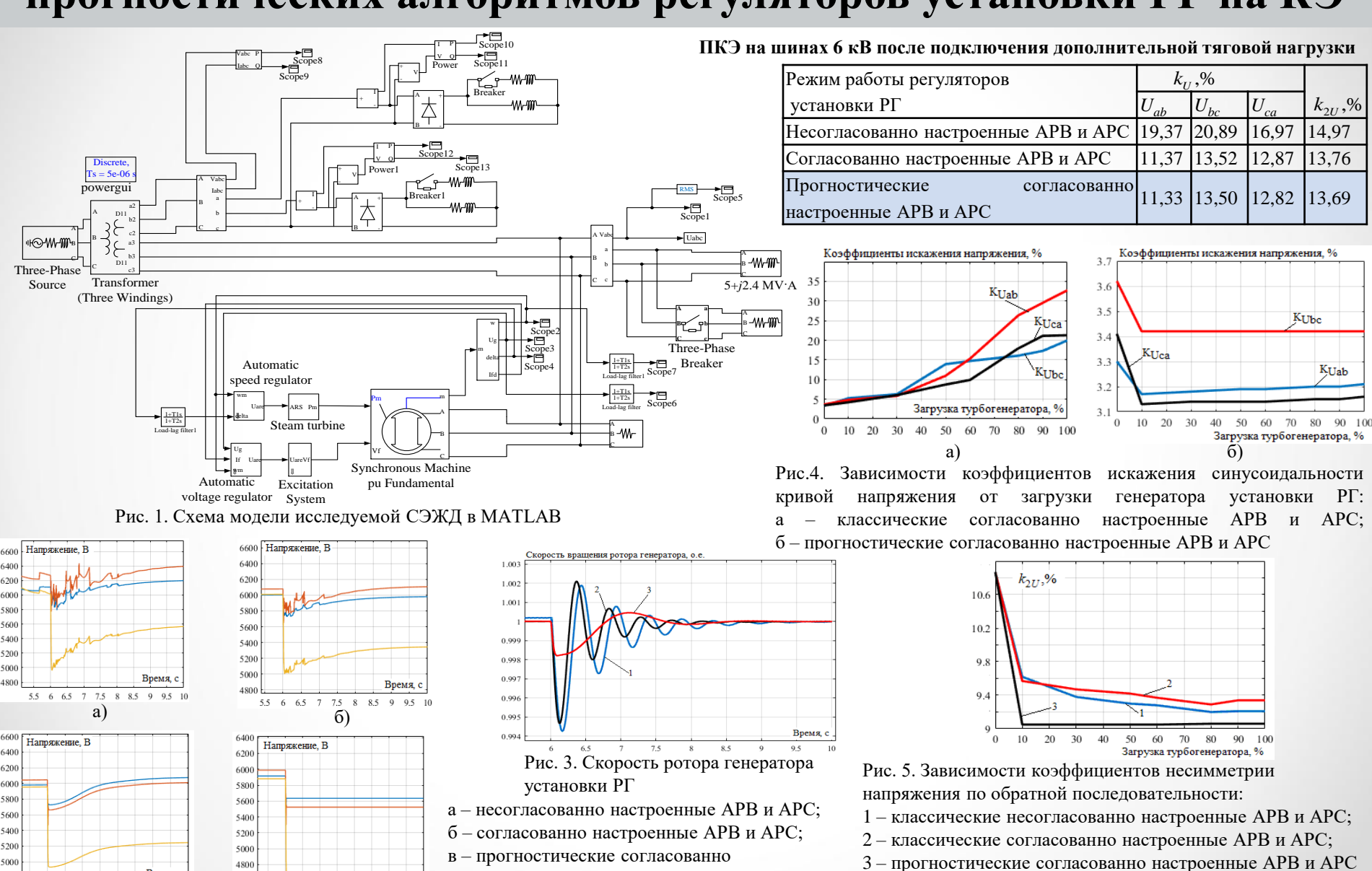


Рис. 4. Схема кибер-физической модели ТГУ

15. Исследование влияния согласованной настройки и прогностических алгоритмов регуляторов установки РГ на КЭ



настроенные АРВ и АРС; г – установка РГ

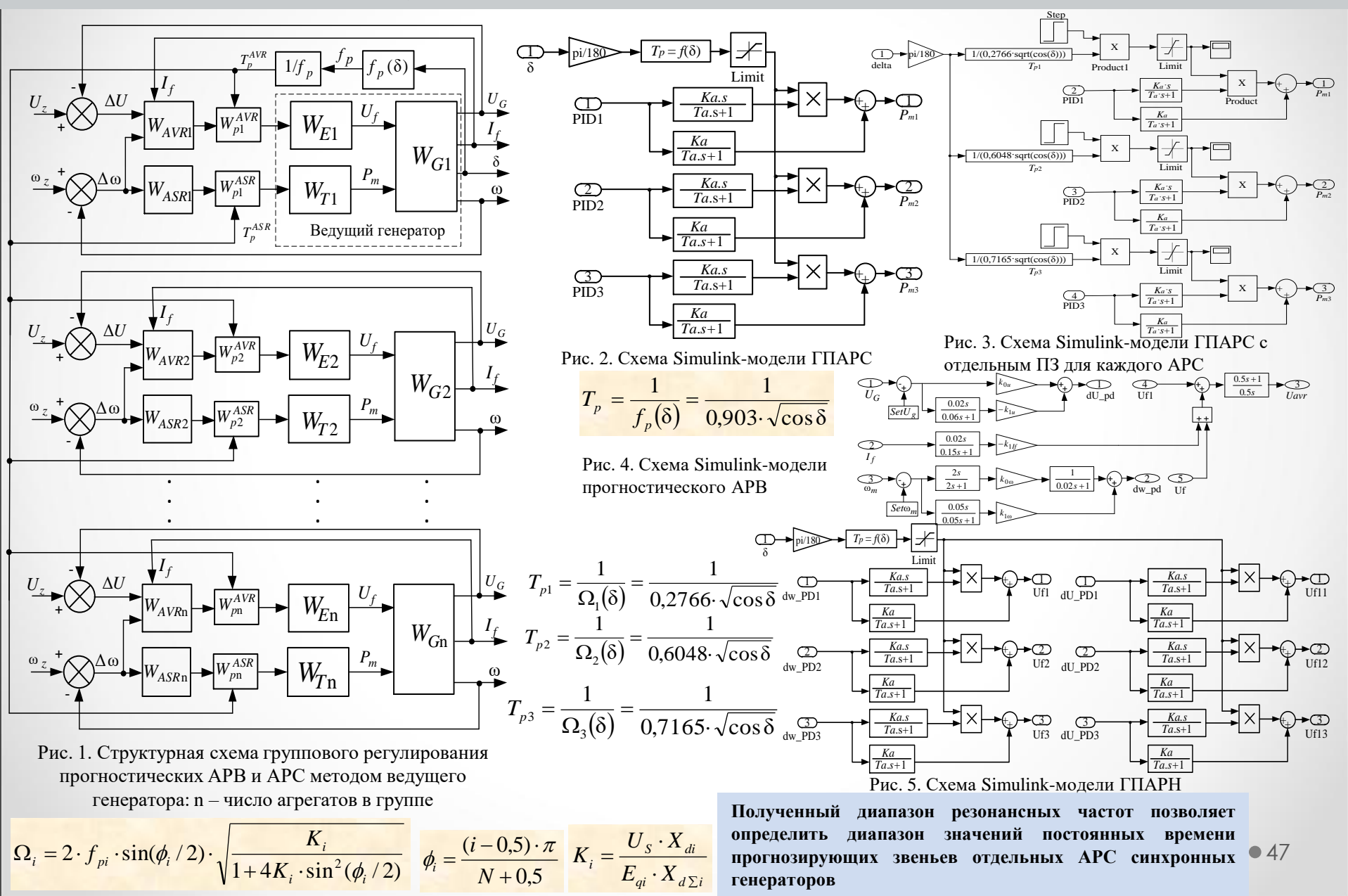
отключена

• 46

5.5 6 6.5 7 7.5 8 8.5 9 9.5 10 L) Рис.2. Напряжения на шинах 6 кВ при подключении дополнительной тяговой нагрузки

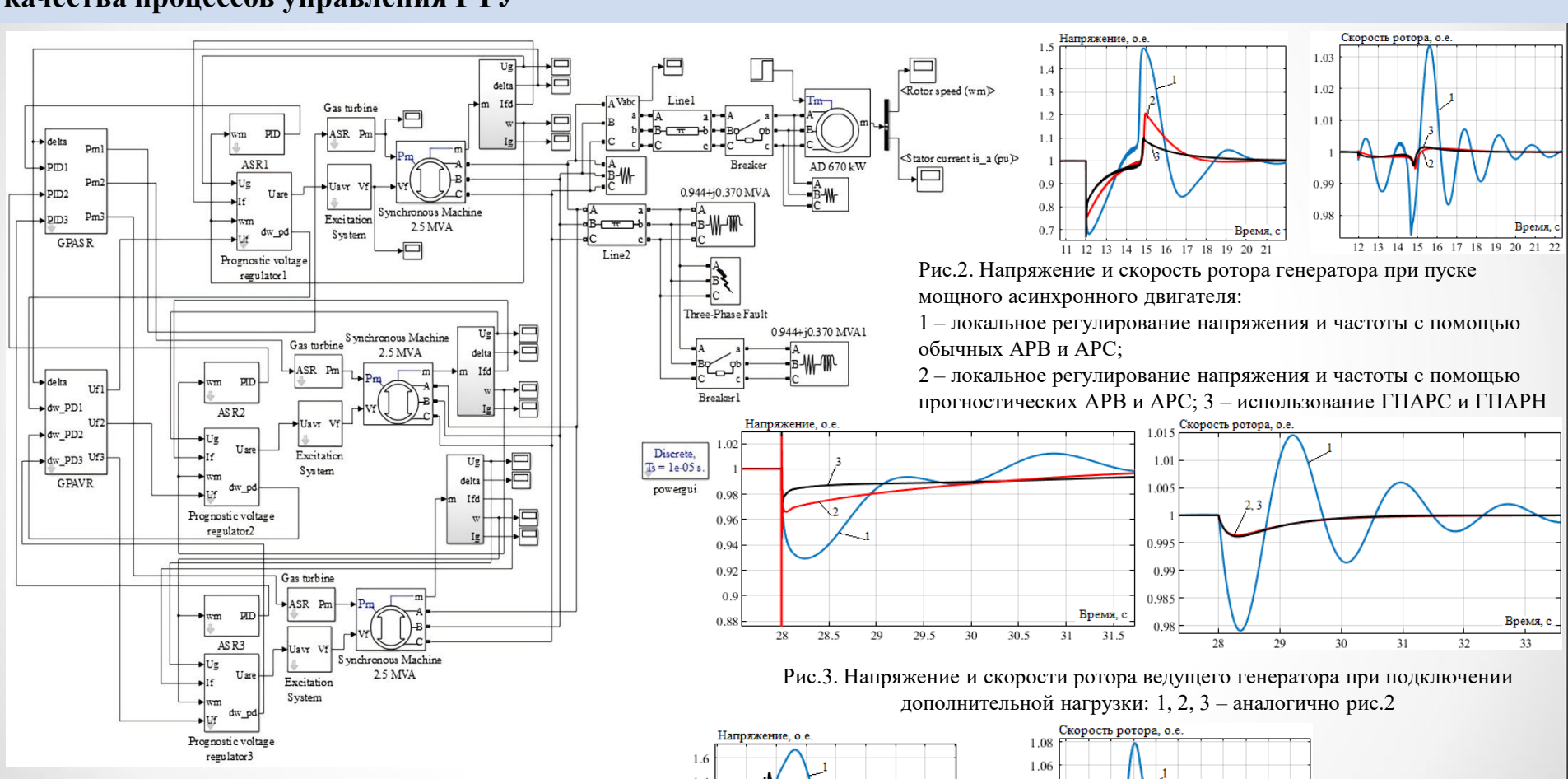
8 8.5 9 9.5 10

16. Групповые прогностические регуляторы напряжения и частоты установок РГ и их влияние на ПКЭ



16. Групповые прогностические регуляторы напряжения и частоты установок РГ и их влияние на ПКЭ

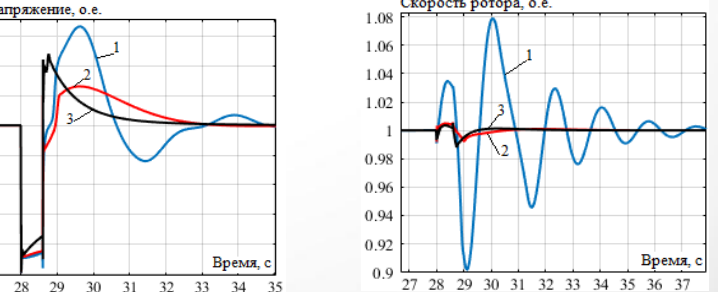
Исследование влияния групповых прогностических регуляторов напряжения и частоты на показатели качества процессов управления ГТУ



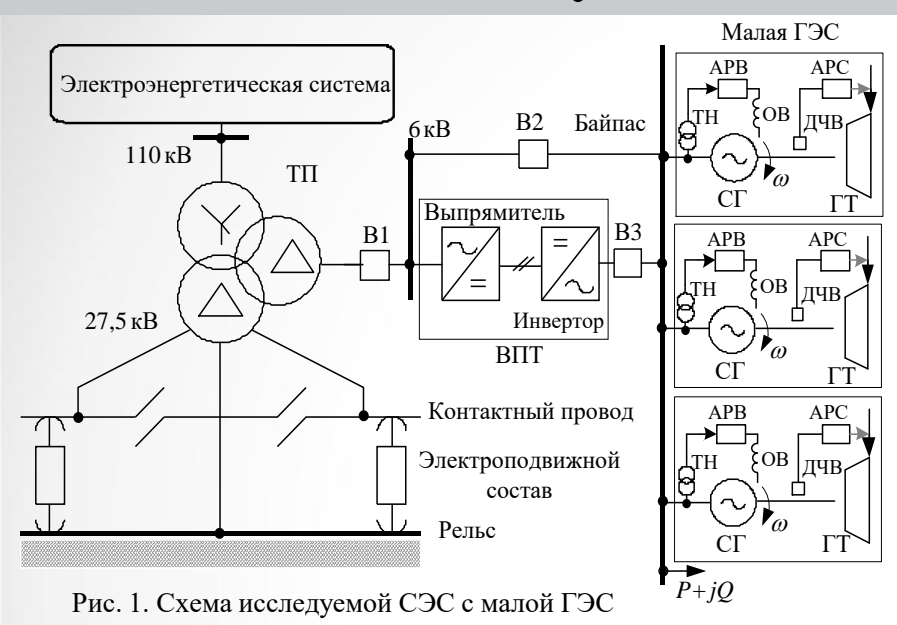
0.6

Рис. 1. Схема изолированной СЭС с ГТУ в Matlab

Рис.4. Напряжение и скорость ротора ведущего генератора при кратковременном КЗ: 1, 2, 3 – аналогично рис.2

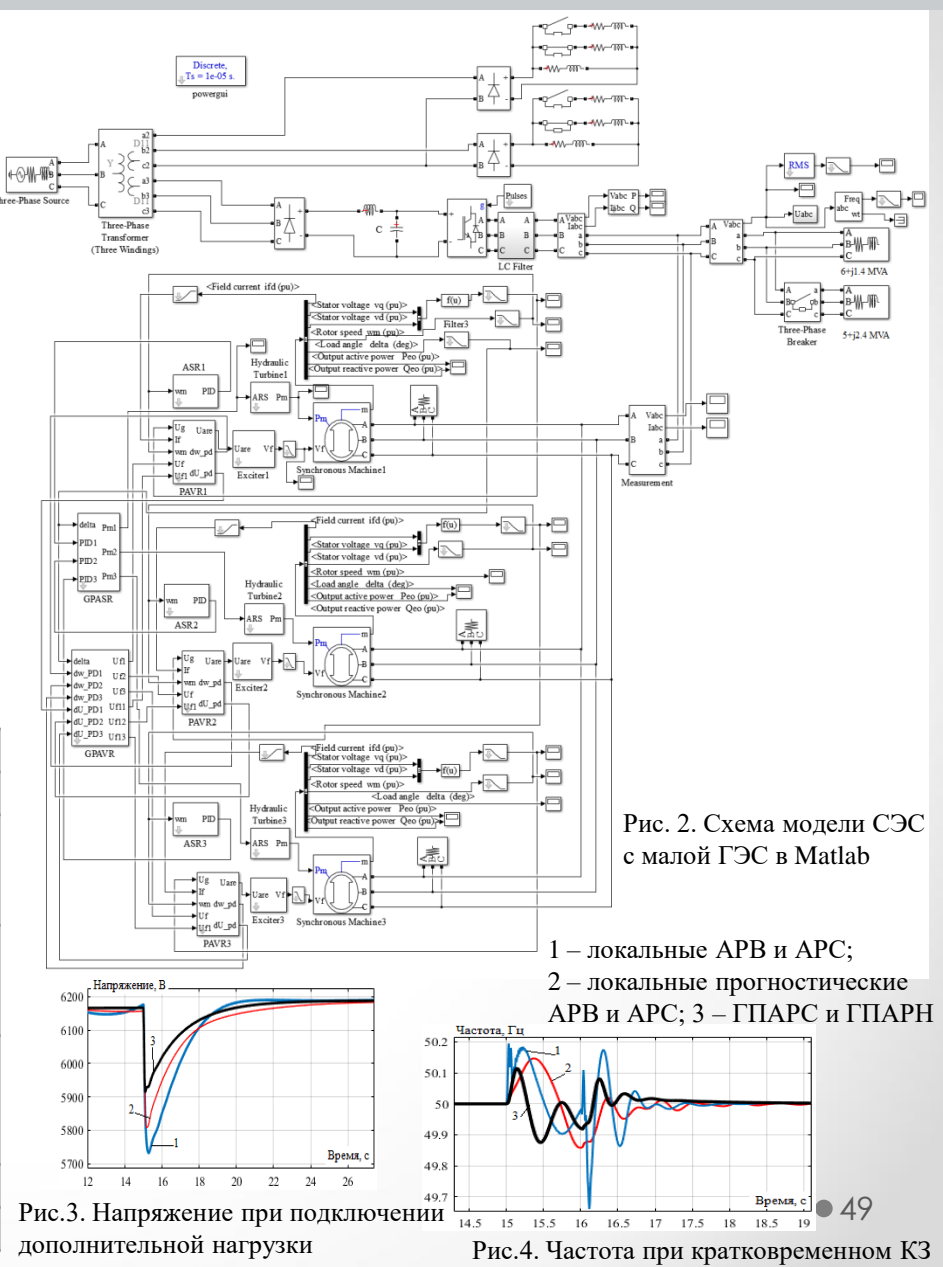


16. Групповые прогностические регуляторы напряжения и частоты установок РГ и их влияние на ПКЭ



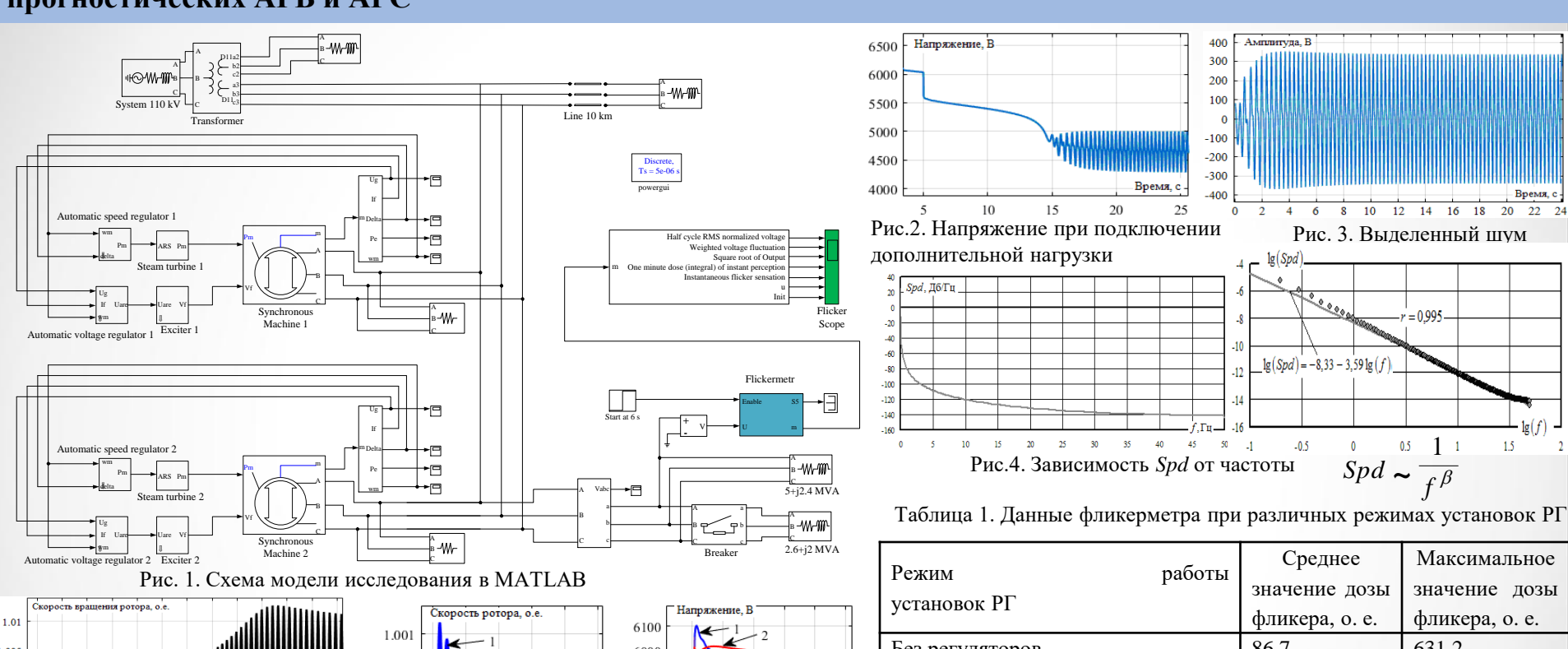
Коэффициенты несинусоидальности и несимметрии напряжения при полключении нетяговых потребителей через ВПТ %

подключении нетяговых потресителей через ВТТТ, 70										
№	Режим работы СЭС	k_{UAB}	k_{UBC}	k_{UCA}	k_{2U}					
1	Установка РГ отключена	1,713	2,557	2,582	0,846					
2	Включена установка РГ с классическими APB и APC без группового управления	1,326	1,754	2,196	0,738					
3	Включена установка РГ с прогностическими АРВ и АРС без группового управления	1,233	1,573	2,047	0,631					
4	Включена установка РГ с групповыми прогностическими регуляторами напряжения и частоты	1,035	1,474	1,889	0,522					
5	Различие между строками 1 и 2 %	29,2	45,8	17,6	14,6					
6	Различие между строками 3 и 4 %	19,1	6,7	8,4	20,9					



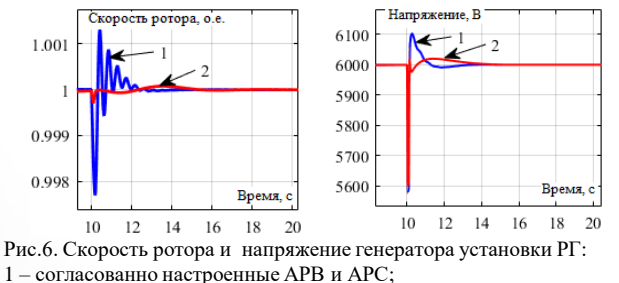
17. Способы устранения фликера в сетях с установками РГ

Устранение фликера в сетях с установками РГ с помощью локальных согласованно настроенных и прогностических APB и APC



	C.			,	ротора		-	-	-	٠.		-	-
01	CKO	рость	Брац	цения	ротора	1, O.E.			٠.	ull	Ш	Ш	Ш
5	-M	-			^	W	W	₩	M				
9						,	H	1111				Врез	ИЯ , С
	10	12	14		18	20	22	24	26	28	30	32	34
00	Ham	ряжен	nie, B	· —									Н
00											Ш	Ш	Ш
00	1							uH	Ш		Ш		Ш
						٠.	ш	Ш		Ш	Ш	Ш	M
00	1					.1	Ш	Ш	Ш	Ш	Ш		Ш
00	!				١. ١		Ш		Ш	Ш	Ш		Ш
					W	W					Ш	Ш	W
00					٠ ٧	W	Ш		11111	1111	''''		
00						.,					-	Время	с -
	10	12	14	16	18	20	22	24	26	28	30	32	34

Рис. 5. Скорость ротора и напряжение при включении и отключении мощной нагрузки (несогласованно настроенные APB и APC)



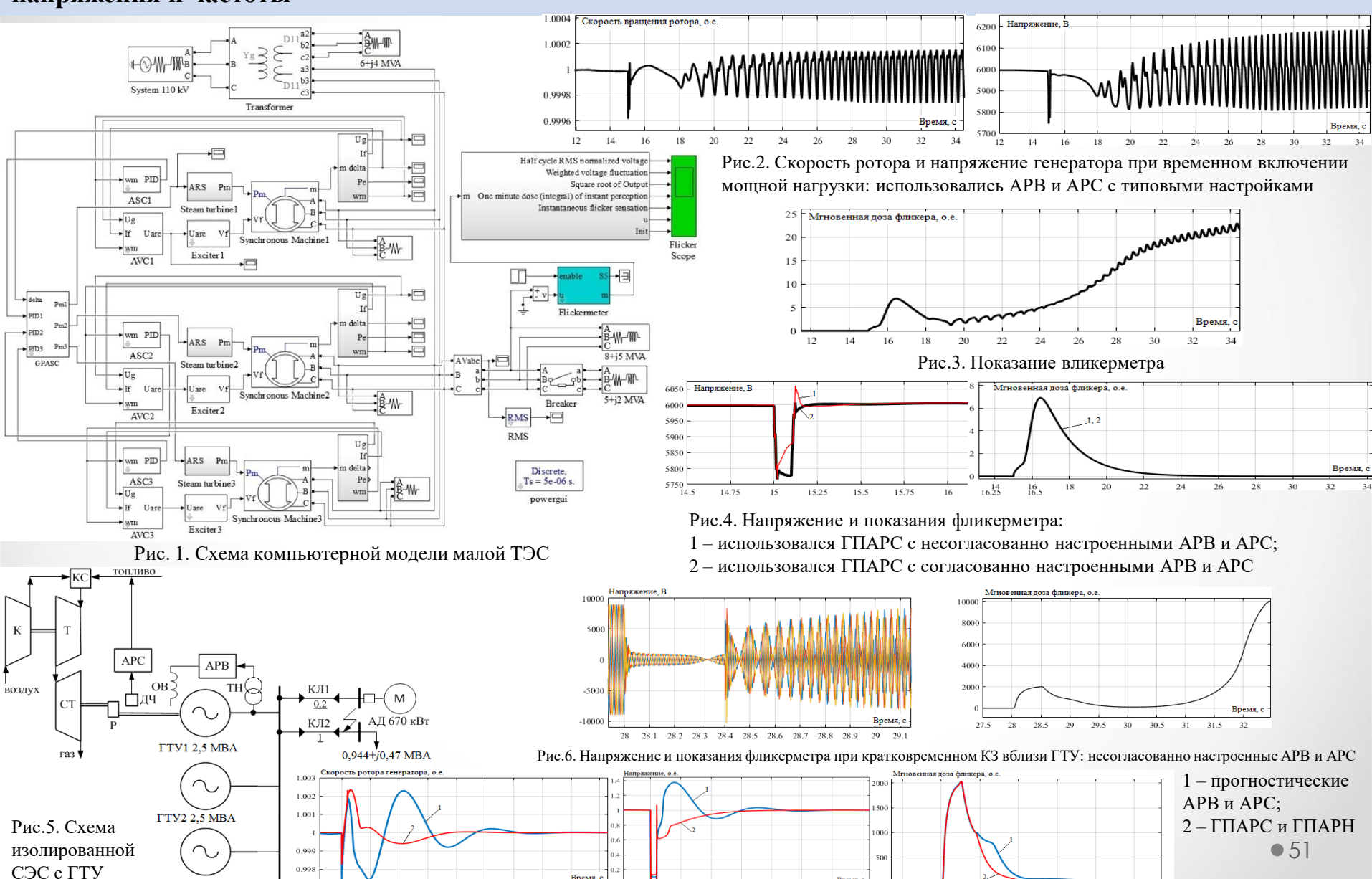
- 2 прогностические согласованно настроенные АРВ и АРС
- 2 прогностические согласованно настроенные АРВ и АРС
- 1. Несогласованная настройка регуляторов установок РГ может приводить к возникновению фликера.
- 2. Совместное использование процедуры согласованной настройки и прогностических алгоритмов управления позволяет решить проблему возникновения фликера. При этом значительно улучшаются показатели качества переходных процессов в СЭС с установками РГ.



• 50

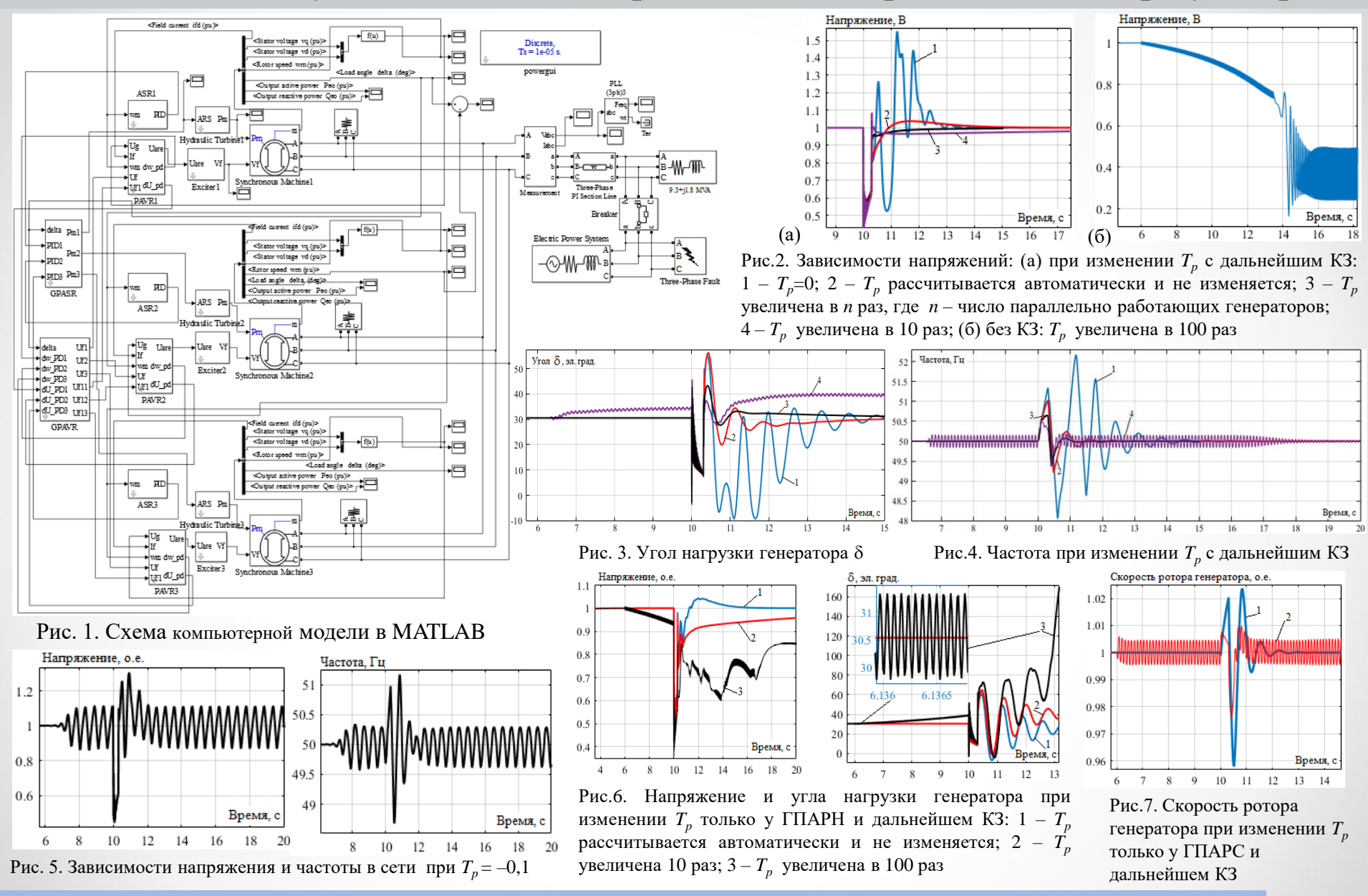
17. Способы устранения фликера в сетях с установками РГ

Устранение фликера в сетях с установками РГ с помощью групповых прогностических регуляторов напряжения и частоты



ГТУЗ 2,5 МВА

18. Исследование устойчивости и кибербезопасности прогностических регуляторов



В случае несанкционированного изменения времени прогноза у групповых прогностических регуляторов ухудшаются показатели качества управления и возможна потеря устойчивости. Это подтверждает необходимость аппаратного ограничения времени прогноза и • 52 недопустимости режима с отрицательными значениями T_n у ГПАРН и (или) ГПАРС.

19. Методы оперативного определения запаса устойчивости в СЭС с установками РГ

Метод определения областей статической апериодической устойчивости в электрических сетях с установками РГ на основе уравнений предельных режимов

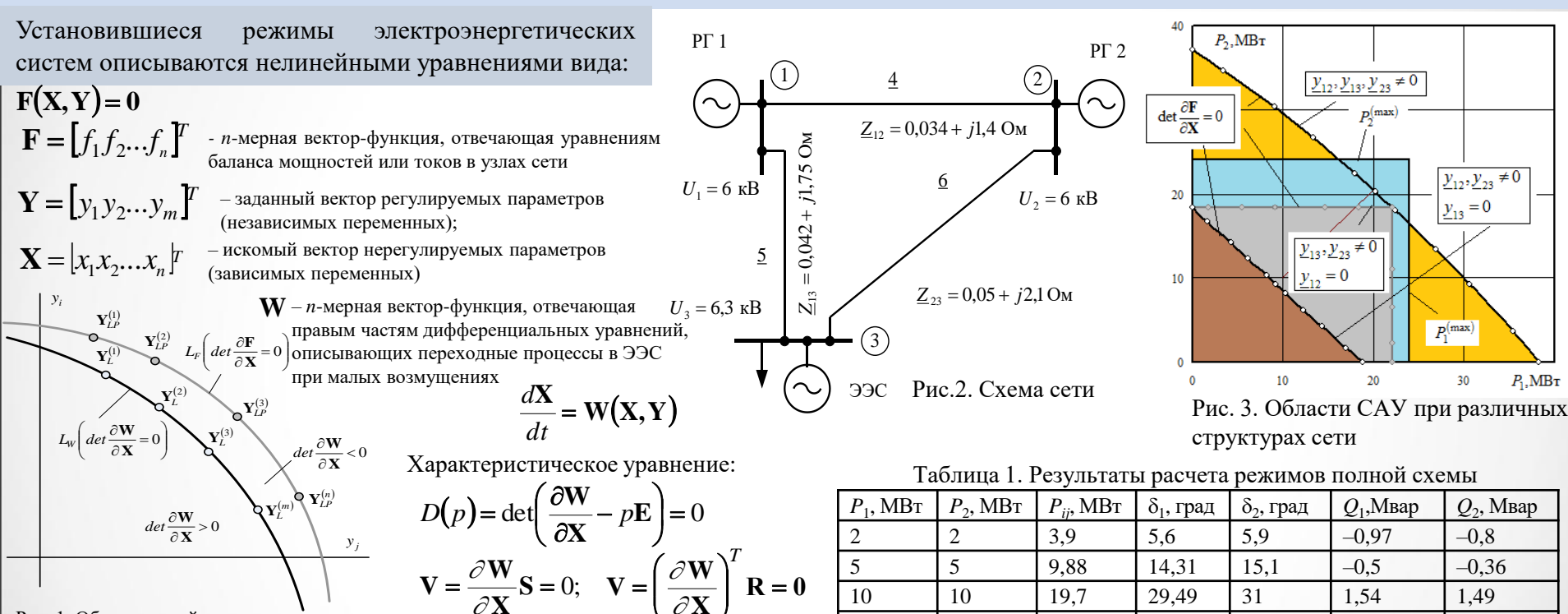


Рис. 1. Области устойчивости и существования режимов в пространстве параметров Ү

$$\mathbf{S} = \begin{bmatrix} s_1 & s_2 & \dots & s_n \end{bmatrix}^T$$
, $\mathbf{R} = \begin{bmatrix} r_1 & r_2 & \dots & r_n \end{bmatrix}^T$ — собственные вектора матриц Якоби, отвечающие нулевому собственному значению

Уравнения предельных режимов (УПР): $\mathbf{Y} = \mathbf{Y}_0 + T\Delta \mathbf{Y}$ – вектор регулируемых параметров ²⁵

$$\mathbf{F}[\mathbf{X}, \mathbf{Y}(T)] = \mathbf{0};$$

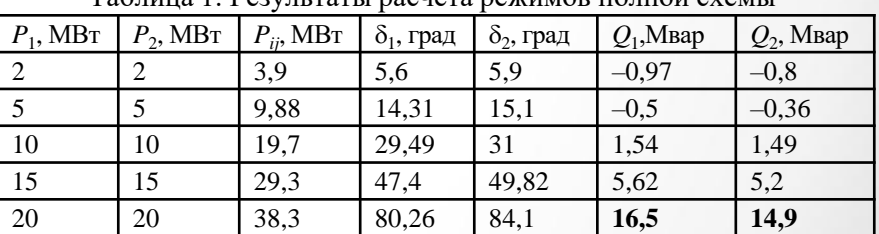
$$\mathbf{V}[\mathbf{X}, \mathbf{S}, \mathbf{Y}(T)] = \frac{\partial \mathbf{W}}{\partial \mathbf{X}} \mathbf{S} = \mathbf{0};$$

$$\mathbf{V}[\mathbf{X}, \mathbf{S}, \mathbf{Y}(T)] = \frac{\partial \mathbf{F}}{\partial \mathbf{X}} \mathbf{S} = \mathbf{0};$$

$$\mathbf{V}[\mathbf{X}, \mathbf{S}, \mathbf{Y}(T)] = \frac{\partial \mathbf{F}}{\partial \mathbf{X}} \mathbf{S} = \mathbf{0};$$

$$\mathbf{U}(\mathbf{S}) = \mathbf{S}^T \mathbf{S} - 1 = 0.$$

$$\mathbf{S} = \mathbf{0}; \begin{cases} \mathbf{F}[\mathbf{X}, \mathbf{Y}(T)] = \mathbf{0}; \\ \mathbf{V}[\mathbf{X}, \mathbf{S}, \mathbf{Y}(T)] = \frac{\partial \mathbf{F}}{\partial \mathbf{X}} \mathbf{S} = \mathbf{0}; \\ U(\mathbf{S}) = \mathbf{S}^T \mathbf{S} - 1 = 0. \end{cases}$$



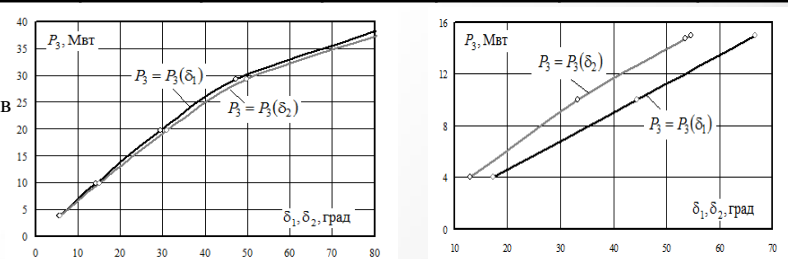


Рис. 4. Зависимости активной мощности, поступающей в систему от ● 53 углов δ_1 и δ_2 для полной схемы сети и после отключения линии 1-3

19. Методы оперативного определения запаса устойчивости в СЭС с установками РГ

Запас статической устойчивости можно определять как евклидову норму вектора **К**, характеризующую его длину

$$\mathfrak{F}=\left(\mathbf{K}^T\mathbf{K}\right)^{\frac{1}{2}}=\left(\sum_{i=1}^m \mu_i^2 \left(y_{iL}-y_{i0}\right)^2\right)^{\frac{1}{2}},\quad \mu_i=\frac{1}{k_{iH}y_{iHOM}}$$
 Для достоверной оценки запаса устойчивости необходим поиск критического направления утяжеления $\mathbf{Y}^*(T)=\mathbf{Y}_0+T\Delta\mathbf{Y}^*$ соответствующего наименьшей длине вектора К

 $\mathbf{Y}^*(T)=\mathbf{Y}_0+T\Delta\mathbf{Y}^*$ определить $\mathbf{Y}_{\min}=\min\left(\mathbf{D}\mathbf{Y}^T\mathbf{M}^2\mathbf{D}\mathbf{Y}\right)^{\frac{1}{2}}$ при ограничениях $\mathbf{F}(\mathbf{X},\mathbf{Y}_0+D\mathbf{Y})=\mathbf{0}$
 \mathbf{Y}_0 значение вектора регулируемых параметров в режиме, для которого определяется запас; $D\mathbf{Y}=[dy_1\,dy_2\dots dy_n]^T$ вектор приращений переменных \mathbf{Y}_0 , обеспечивающих «вывод» режима на гиперповерхность L_F
 $\mathbf{M}=\operatorname{diag}\,\mu_i$
 $\mathbf{M}=\operatorname{diag}\,\mu_i$
 $\mathbf{M}=\operatorname{diag}\,\mu_i$
 \mathbf{M}

 Минимуму L соответствуют условия интерпретация поиска интерпретация поиска интерпретация поиска интерпретация поиска углужеления $\frac{\partial L}{\partial \mathbf{Y}}=\mathbf{M}^2D\mathbf{Y}\left(\mathbf{D}\mathbf{Y}^T\mathbf{M}^2D\mathbf{Y}\right)^{\frac{1}{2}}+\left(\frac{\partial \mathbf{F}}{\partial D\mathbf{Y}}\right)^T\mathbf{\Lambda}=\mathbf{0};$ углужеления $\frac{\partial L}{\partial \mathbf{X}}=\left(\frac{\partial \mathbf{F}}{\partial \mathbf{X}}\right)^T\mathbf{\Lambda}=\mathbf{0};$

 $D\mathbf{Y}^T\mathbf{M}^2D\mathbf{Y} - \mathfrak{I}_{\min}^2 = 0$

 \mathbf{Y}_0

Рис. 1. К определению запаса устойчивости

Запас устойчивости в мегаваттах:

$$\mathfrak{Z}^* = \sqrt{\sum_{k=1}^{2} (P_{L1} - P_{01})^2} = (1 + \alpha) \sqrt{\mathbf{R}^T \left(\frac{\partial \mathbf{F}}{\partial D \mathbf{Y}}\right) \mathbf{M}^{-2} \left(\frac{\partial \mathbf{F}}{\partial D \mathbf{Y}}\right)^T \mathbf{R}}$$
Запас устойчивости в %:

$$\mathfrak{F}^* = 100 \sqrt{\sum_{k=1}^{2} \left(\frac{P_{L1} - P_{01}}{P_{01}} \right)^2}$$

Таблица 1. Запасы устойчивости для трехузловой схемы Мощности установок и запасы устойчивости $\frac{1}{1}$ $\frac{2}{2}$ $\frac{3}{2}$ $\frac{4}{2}$ $\frac{1}{2}$ $\frac{1}{2}$

55.0

58.00

$$\frac{\partial L}{\partial \mathbf{\Lambda}} = \mathbf{F} (\mathbf{X}, \mathbf{Y}_0 + D\mathbf{Y}) = \mathbf{0}.$$

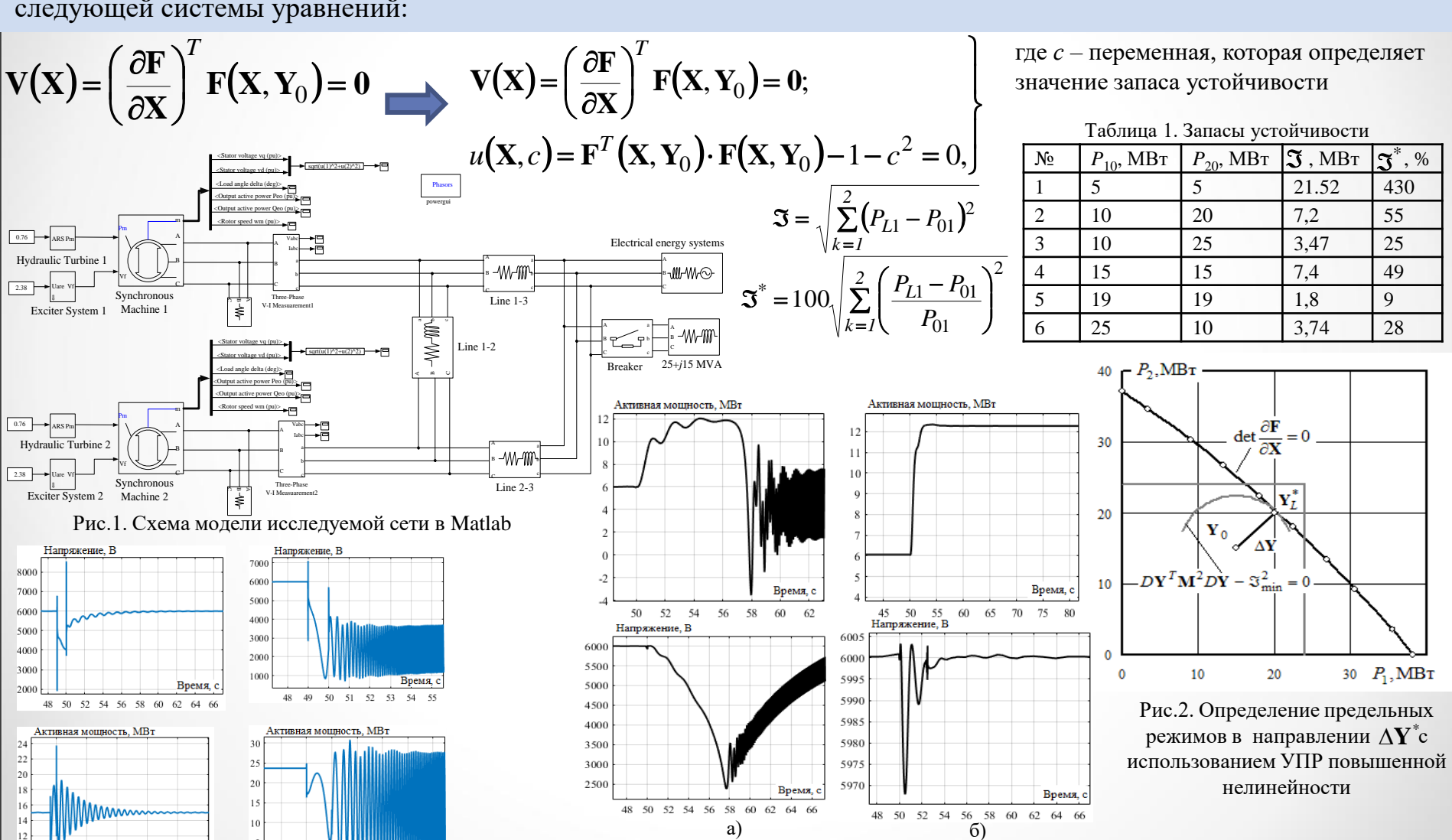
$$\mathbf{R} = \mathfrak{I}_{\min} \mathbf{\Lambda} = \left(D\mathbf{Y}^T \mathbf{M}^2 D\mathbf{Y} \right)^{\frac{1}{2}} \mathbf{\Lambda}$$
 Модификация УПР для поиска предельного режима в критическом направлении утяжеления:

ма в критическом направлении утяжеления $\mathbf{F} \left(\mathbf{X}, \mathbf{Y}_0 - \mathbf{M}^{-2} \left(\frac{\partial \mathbf{F}}{\partial D \mathbf{Y}} \right)^T \mathbf{R} \right) = \mathbf{0}.$

$$\left(\frac{\partial \mathbf{F}}{\partial \mathbf{X}}\right)^T \mathbf{R} = \mathbf{0}.$$

19. Методы оперативного определения запаса устойчивости в СЭС с установками РГ

Альтернативный подход к решению задачи определения запасов устойчивости, основанный на использовании следующей системы уравнений:



Режим устойчивый

Режим неустойчивый

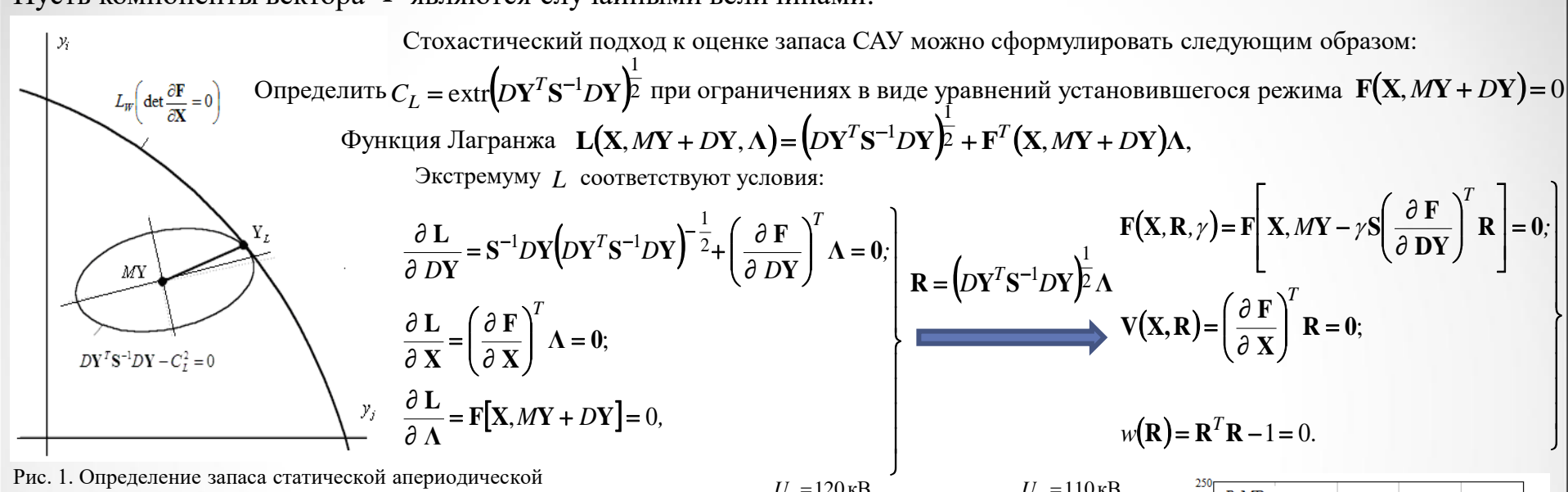
Рис. 3. Мощность и напряжение установки РГ1 при увеличении загрузки генераторов с

 P_1 =6 МВт, P_2 =6 МВт до P_1 =12 МВт, P_2 =10 МВт в схеме сети с отключенной линией 1-3: а) без регуляторов; б) с использованием прогностических АРВ и АРС

• 55

19. Методы оперативного определения запаса устойчивости в СЭС с установками РГ

Пусть компоненты вектора У являются случайными величинами.



устойчивости в стохастической постановке

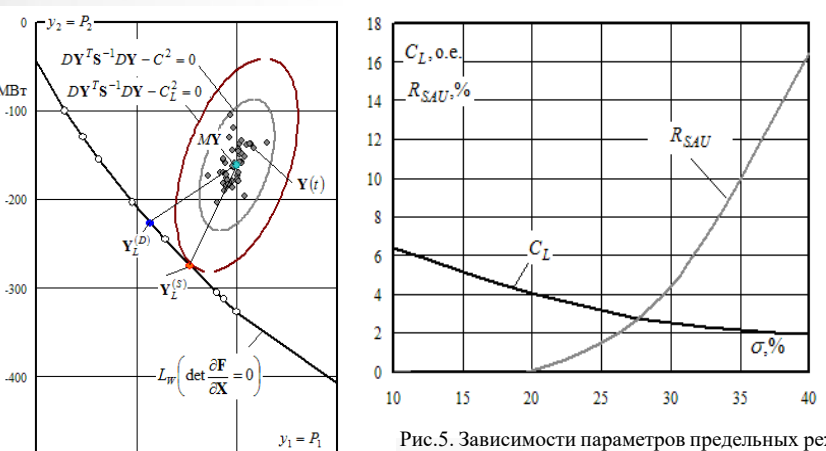


Рис. 4. Результаты определения предельных режимов



Рис. 5. Зависимости параметров предельных режимов от среднеквадратичного отклонения мощностей нагрузок

$$R_{SAU} = \exp\left(-\frac{D\mathbf{Y}_{L}^{T}\mathbf{S}^{-1}D\mathbf{Y}_{L}^{T}}{2}\right) = \exp\left(-\frac{C_{L}^{2}}{2}\right)$$

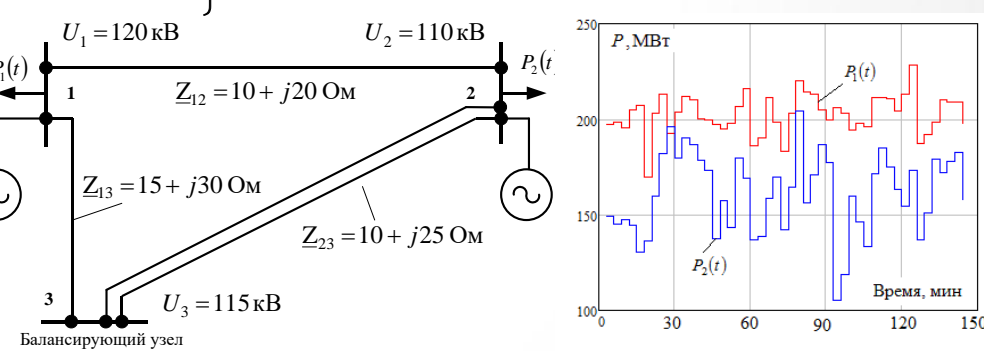


Рис. 3. Графики нагрузки

56

Рис. 2. Схема исследуемой ЭЭС

Таблица 1. Параметры предельного режима в зависимости от

	среднеквадратичного отклонения мощностей нагрузок								
	σ,%	C_L , o.e.	R_{SAU} , %	$y_{L1}^{(S)}$, MBT	$y_{L2}^{(S)}, MBT$				
	10	6,4	1,28·10 ⁻⁷	-248,00	-275				
2)	20	4,03	0,03	-273,00	-245				
_	30	2,5	4,4	-276,00	-241				
J	40	1.9	16,4	-278,00	-239				

20. Методы противоаварийного управления установками РГ

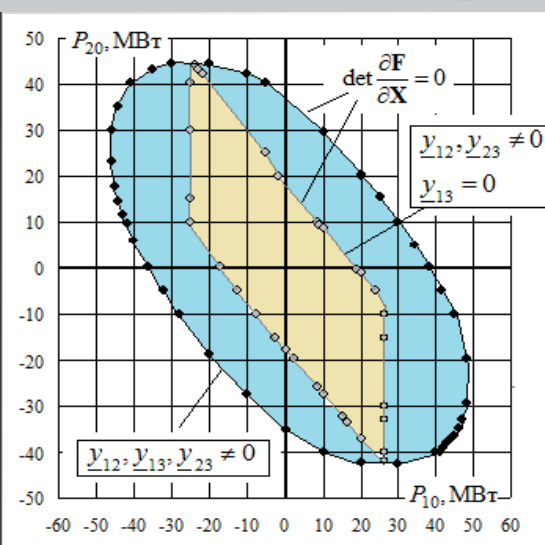


Рис. 1. «Сужение» области устойчивости при отключении линии

1. Ввод режима в область устойчивости по заданным траекториям.

Уравнения предельных режимов

$$\mathbf{F}[\mathbf{X}, \mathbf{Y}(T)] = \mathbf{0};$$

$$\mathbf{V}[\mathbf{X}, \mathbf{R}, \mathbf{Y}(T)] = \left(\frac{\partial \mathbf{F}}{\partial \mathbf{X}}\right)^{T} \mathbf{R} = \mathbf{0};$$

$$U(\mathbf{R}) = \mathbf{R}^{T} \mathbf{R} - 1 = 0.$$

- 1. Осуществляется выход на предельную гиперповерхность в направлении DY.
- 2. Производится разгрузка в направлении вектора **R**.

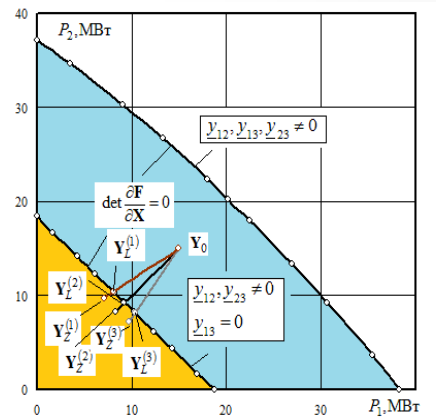


Рис. 2. Ввод режима в область устойчивости по заданным траекториям

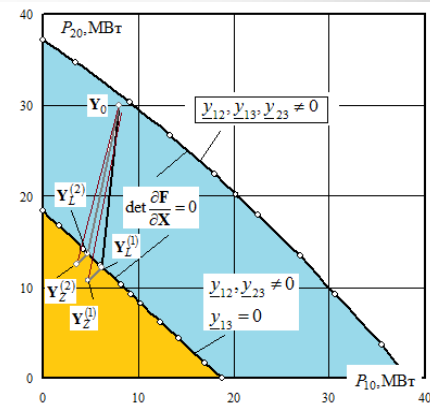


Рис. 3. Использование вектора **R** для ввода режима в область устойчивости

2. Ввод режима в область устойчивости по кратчайшей траектории.

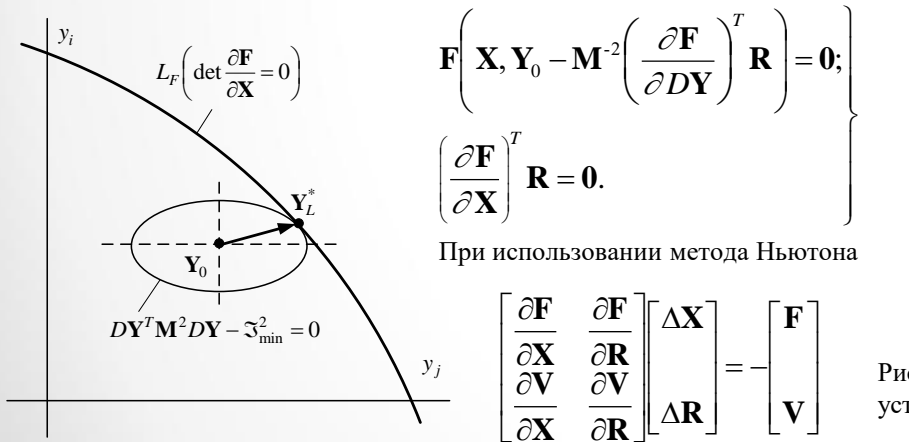


Рис. 4. Геометрическая интерпретация поиска критического направления утяжеления

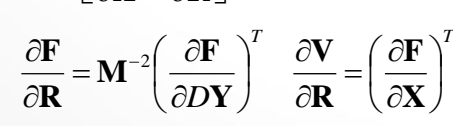




Рис. 5. Ввод режима в область устойчивости по кратчайшей траектории

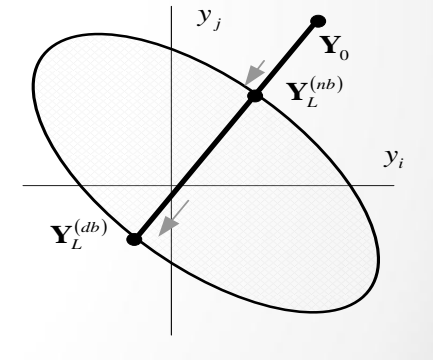
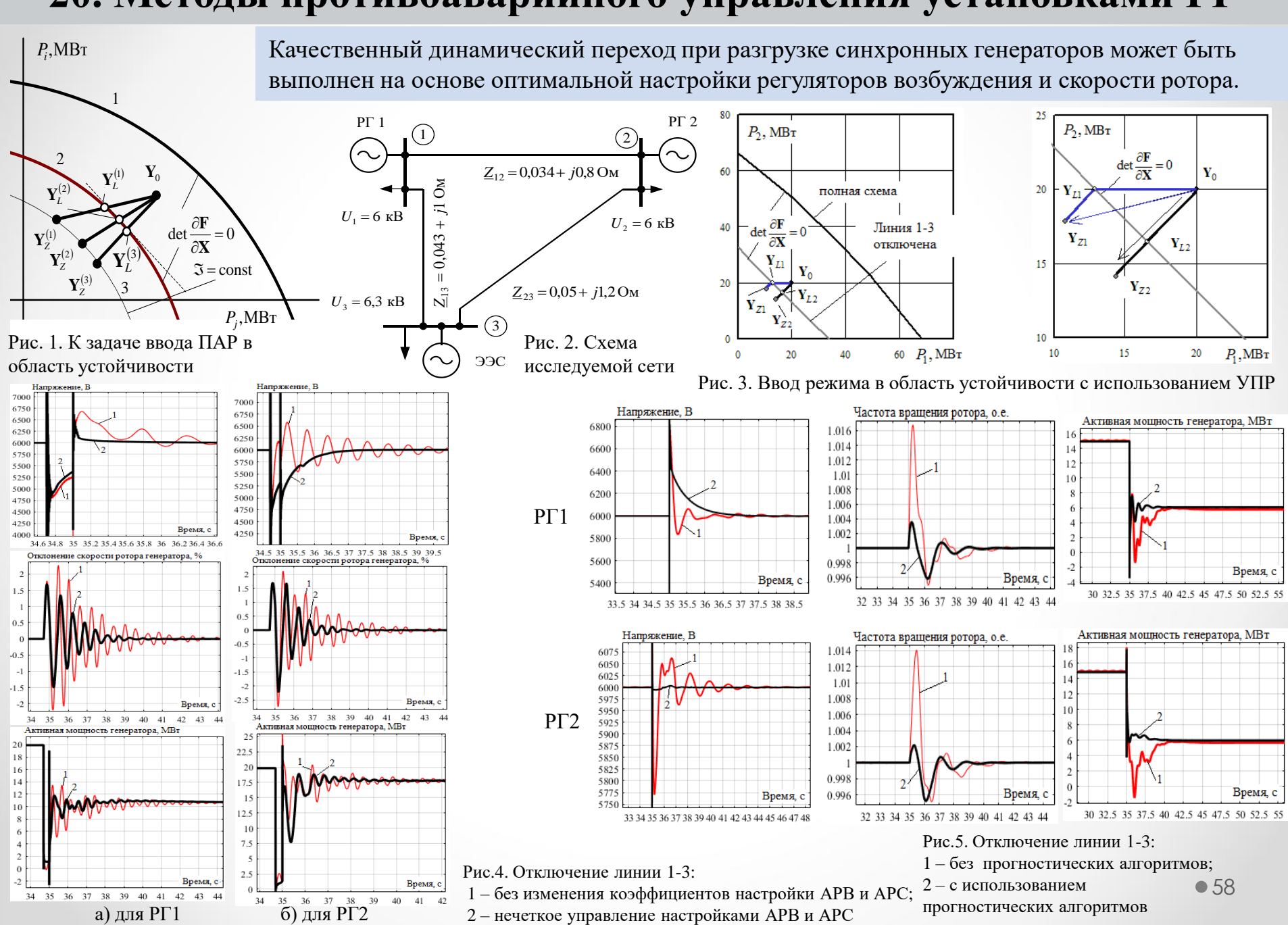


Рис. 6. К проблеме «дальней границы»

Минимизация функционала невязок УУР:

 $\frac{\partial \mathbf{F}}{\partial \mathbf{R}} = \mathbf{M}^{-2} \left(\frac{\partial \mathbf{F}}{\partial D \mathbf{Y}} \right)^{T} \quad \frac{\partial \mathbf{V}}{\partial \mathbf{R}} = \left(\frac{\partial \mathbf{F}}{\partial \mathbf{X}} \right)^{T} \quad \frac{\partial \mathbf{V}}{\partial \mathbf{R}} = \left(\frac{\partial \mathbf{F}}{\partial \mathbf{X}} \right)^{T} \quad \frac{\partial \mathbf{V}}{\partial \mathbf{R}} = \left(\frac{\partial \mathbf{F}}{\partial \mathbf{X}} \right)^{T} \quad \frac{\partial \mathbf{V}}{\partial \mathbf{R}} = \left(\frac{\partial \mathbf{F}}{\partial \mathbf{X}} \right)^{T} \quad \frac{\partial \mathbf{V}}{\partial \mathbf{R}} = \left(\frac{\partial \mathbf{F}}{\partial \mathbf{X}} \right)^{T} \quad \mathbf{B}. \text{ A. Matbeeba:} \\ \left\{ \frac{1}{B_{k}}, \quad ecnu \quad B_{k} > 1 \quad \mathbf{X}^{(k+1)} = \mathbf{X}^{(k)} - \lambda^{(k)} \left[\frac{\partial \mathbf{F}}{\partial \mathbf{X}} \left(\mathbf{X}^{(k)} \right) \right]^{-1} \mathbf{F} \left(\mathbf{X}^{(k)} \right) \quad \mathbf{Y}_{0}^{(*)} = \mathbf{Y}_{0} + t \mathbf{Y}_{0} \right] \\ 1, \quad ecnu \quad B_{k} \leq 1 \quad B_{k} = \frac{1}{2 \max \left| \mathbf{F} \left(\mathbf{X}^{(k)} \right) \right|} \max \left| \sum_{(i)} \sum_{(j)} \frac{\partial^{2} f_{i} \left(\mathbf{X}^{(k)} \right)}{\partial x_{i} \partial x_{j}} \Delta x_{i}^{(k)} \Delta x_{i}^{(k)} \right| \quad \mathbf{57}$

20. Методы противоаварийного управления установками РГ



21. Нечёткие регуляторы ветрогенерирующих установок и метод их настройки

Integrator

Drive

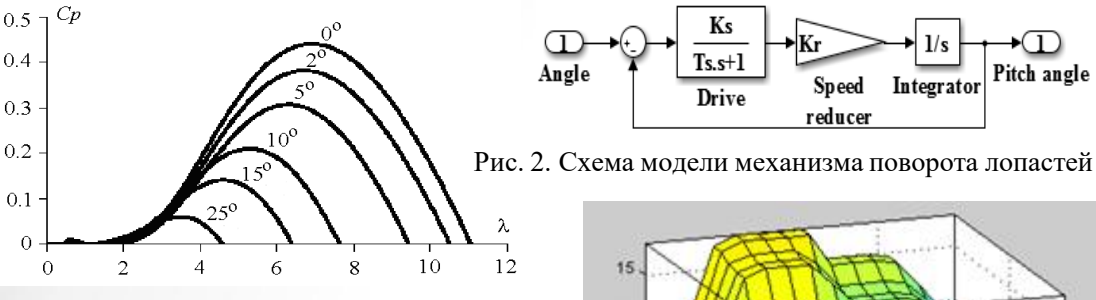


Рис. 1. Зависимость $C_p = C_p(\lambda, \beta)$

Уравнение характеристик ветротурбины:

$$C_p(\lambda,\beta) = C_1 \left(\frac{C_2}{\lambda_i} - C_3\beta - C_4\right) e^{-\frac{C_5}{\lambda_i}} + C_6\lambda$$

$$\frac{1}{\lambda_i} = \frac{1}{\lambda + 0.08 \,\beta} - \frac{0.035}{\beta^3 + 1}$$



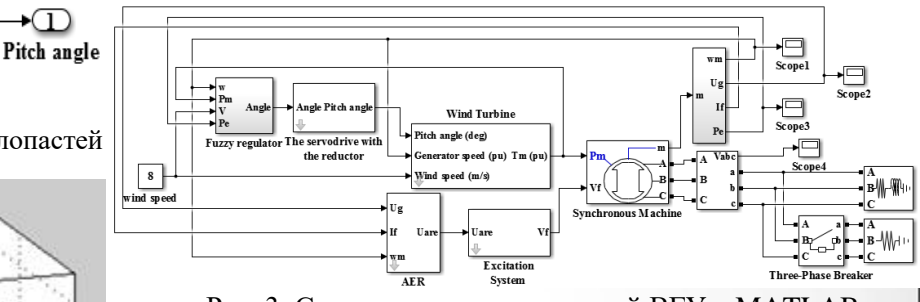


Рис. 3. Схема модели управляемой ВГУ в МАТLAВ

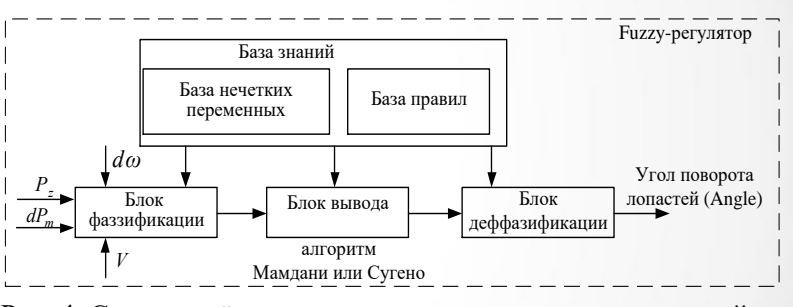


Рис. 5. Поверхность нечёткого вывода системы управления ВГУ

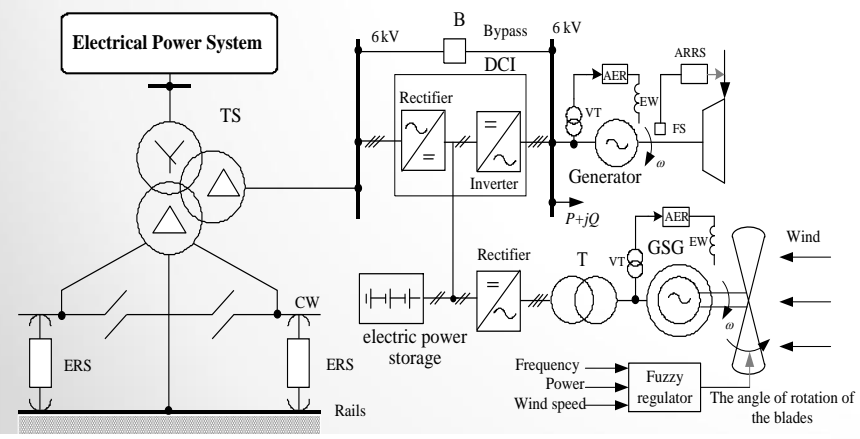


Рис. 6. Фрагмент системы электроснабжения железной дороги

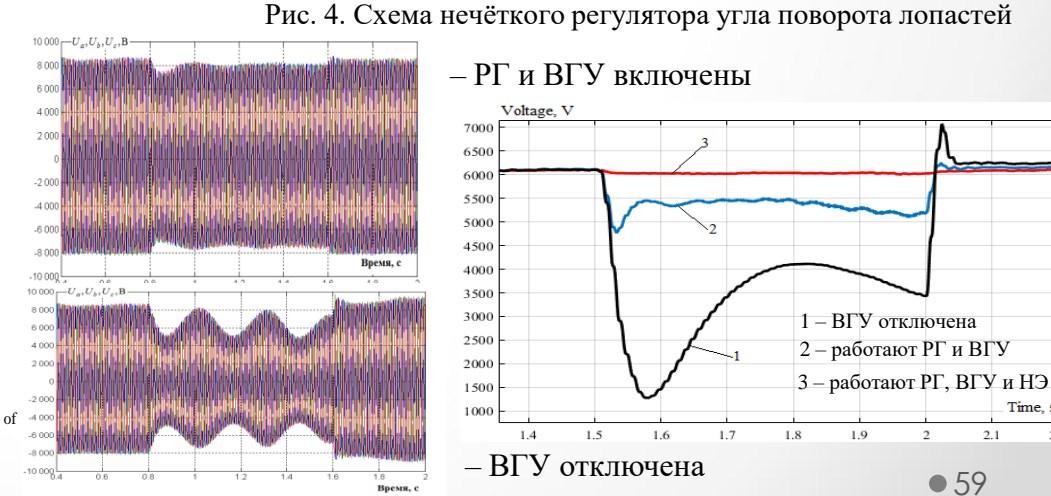
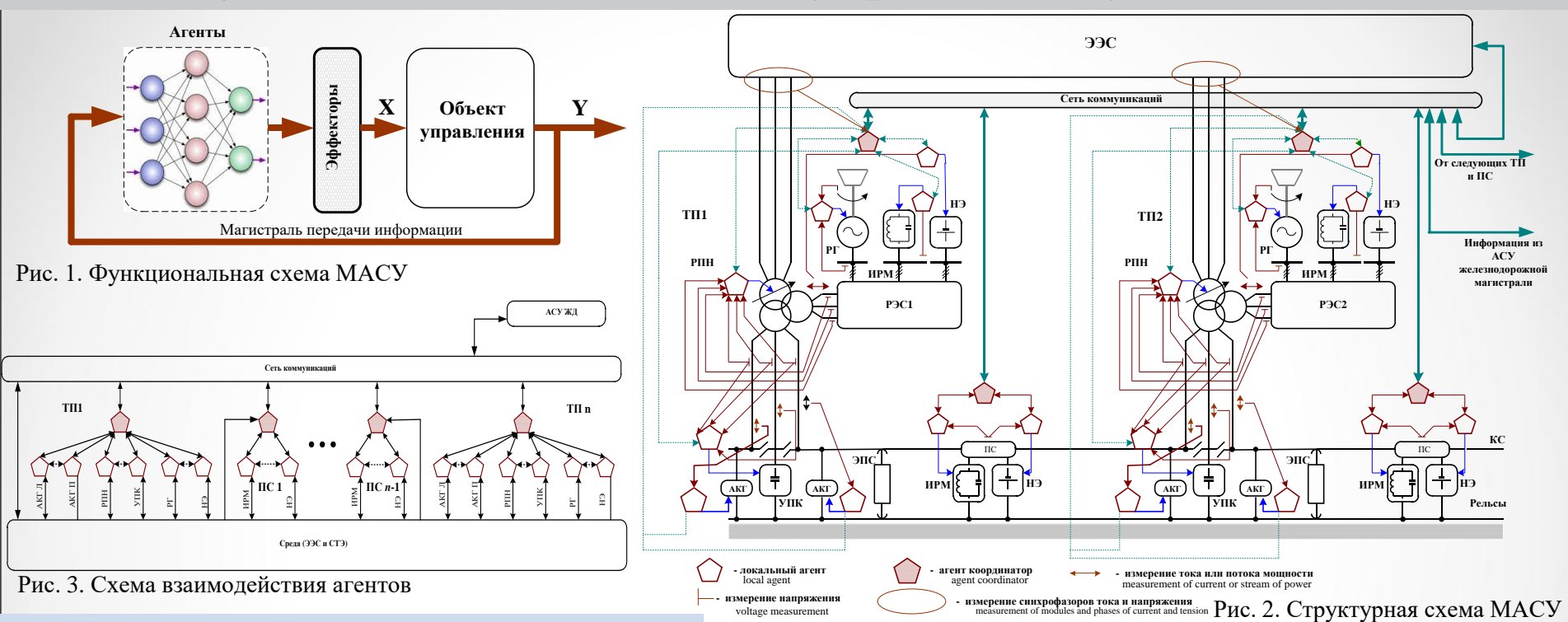


Рис. 7. Напряжение на шинах 6 кВ при кратковременном отключении основного питания

22. Мультиагентные системы управления установками РГ



Алгоритм имитационного моделирования включает следующие этапы:

- •формирование мгновенных схем на основе заданного графика движения поездов и расчет режима для каждой из них;
- •определение интегральных показателей моделирования.

Для каждого интервала времени выполняется решение следующей нелинейной системы уравнений:

$$\mathbf{F}[\mathbf{X}_k, \mathbf{S}_k, \mathbf{C}_k, \mathbf{Y}_k] = \mathbf{0}$$

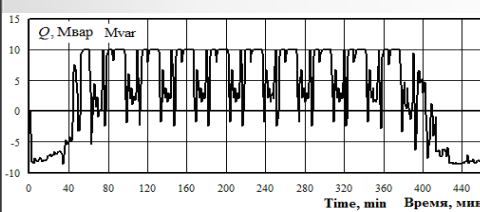
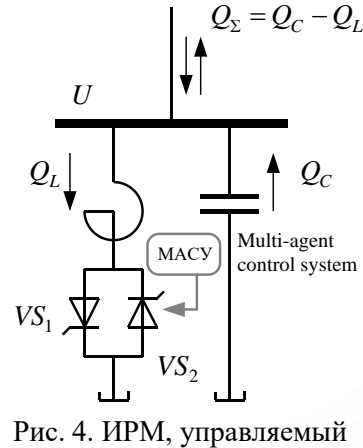


Рис. 5. Изменения мошностей ИРМ, установленного на ПС



тиристорами

- 1. Сложная задача управления режимами СЭЖД может быть решена мультиагентных основе на технологий.
- 2. Для определения параметров МАСУ эффекторов можно использовать методы имитационного моделирования трехфазнооднофазных сетей фазных координатах.

22. Мультиагентные системы управления установками РГ

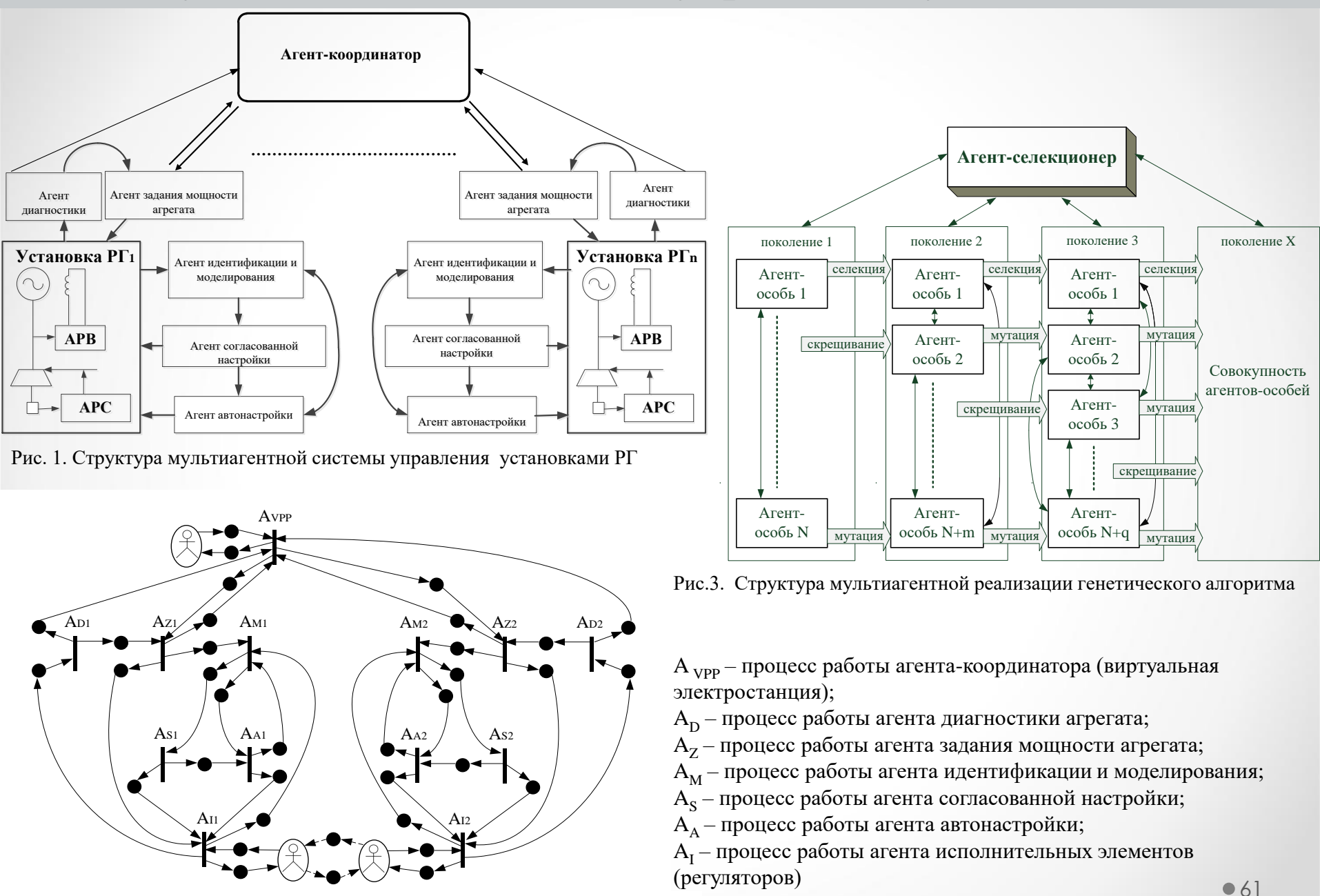


Рис.2. Joiner-сеть событийной модели сценария МАСУ установками РГ

22. Мультиагентные системы управления установками РГ

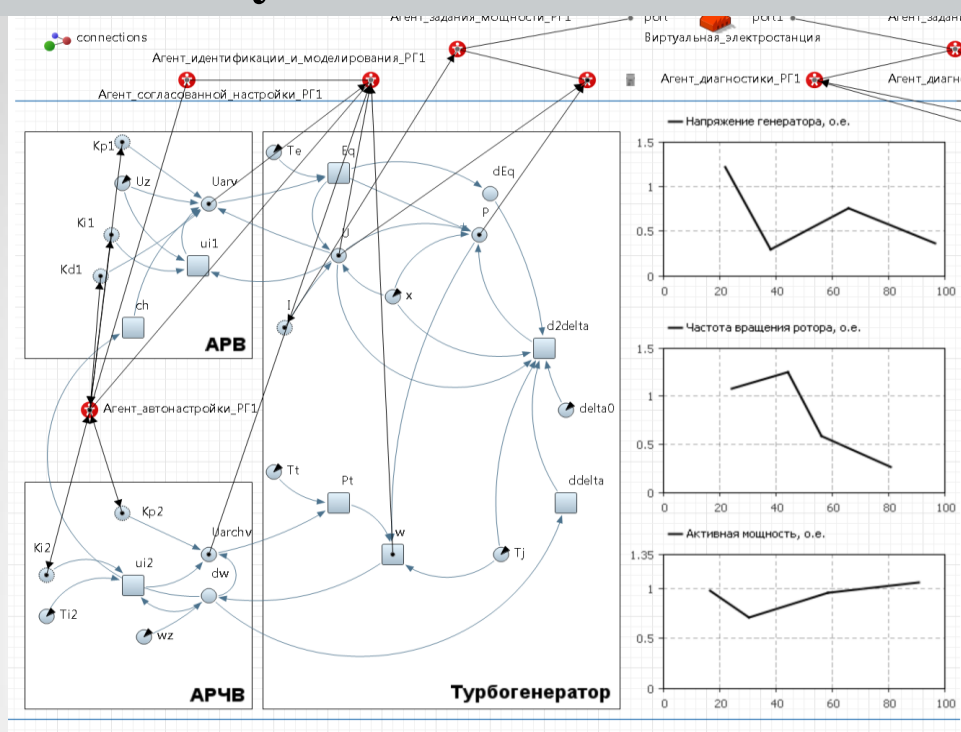


Рис. 1. Фрагмент модели MACУ установок РГ в среде AnyLogic Напряжение генератора, о.е.

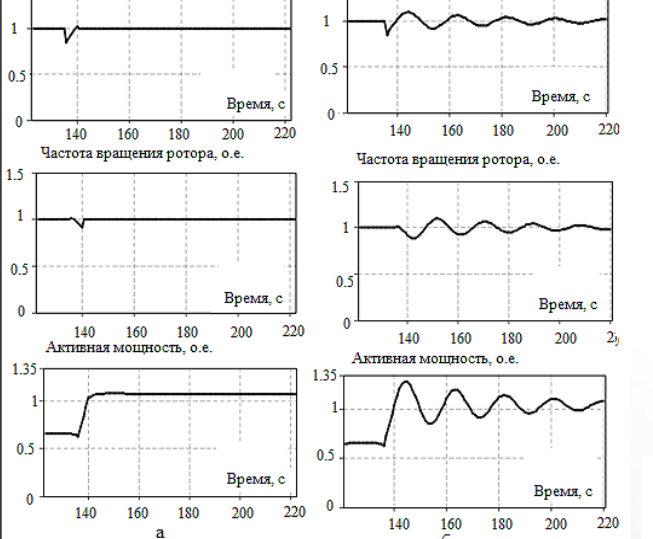


Рис.3. Изменение параметров генератора при изменении нагрузки:

- а) при работе МАСУ и изменении коэффициентов настройки APB и APC
- б) при выведенной из работы МАСУ

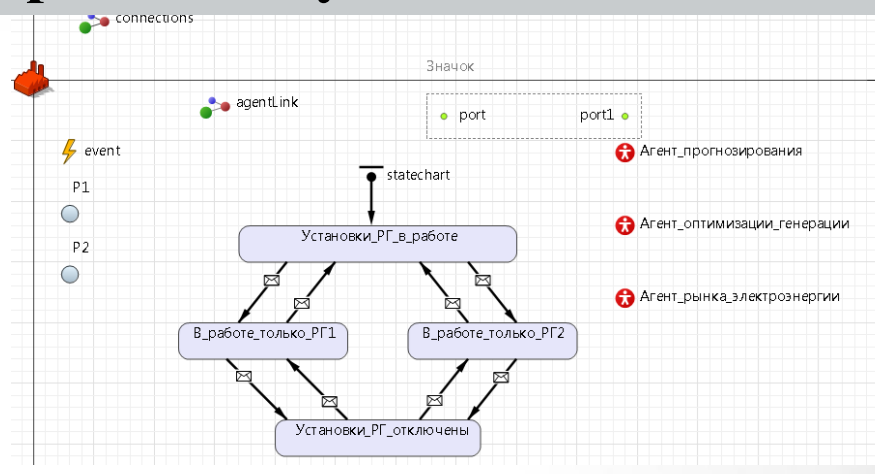


Рис. 2. Структура модели агента-координатора в среде AnyLogic Система уравнений модели установки РГ, используемая при моделировании в среде AnyLogic:

моделировании в среде AnyLogic:
$$\frac{d\Delta\omega\left(t\right)}{dt} = \frac{1}{T_J} \Bigg[P_T\left(\omega_0 + \Delta\omega\left(t\right)\right) - \frac{E_q(i_f)U_G}{x_G} \sin(\delta_0 + \Delta\delta) \Bigg],$$

$$\dot{U}_G = \dot{E}_q - j\dot{I}_Gx_G,$$

$$\frac{dE_q}{dt} = \frac{1}{T_e} \Big(U_{APB} - E_q \Big),$$

$$\frac{dP_T}{dt} = \frac{1}{T_T} \Big(U_{APC} - T_T \Big),$$

$$\frac{d^2\Delta\delta}{dt^2} = \frac{\omega_0}{x_G \cdot T_J} \Bigg[-\Delta E_q U_G \sin(\delta_0) - \frac{d\Delta\delta}{dt} x_G D - \Delta\delta \Bigg], \ \frac{d\Delta\delta}{dt} = \Delta\omega$$

$$U_{APB} = \Delta U_G \cdot \Big(K_{pI} + u_{i1} \Big) + u_{d1}, \ \frac{du_{i1}}{dt} = \frac{K_{i1}}{T_{i1}}, \ \frac{d\Delta\omega}{dt} = \frac{u_{d1}}{K_{d1}},$$

$$U_{APC} = \Delta\omega \cdot \Big(K_{p2} + u_{i2} \Big), \ \frac{du_{i2}}{dt} = \frac{K_{i2}}{T_{i2}} \bullet \quad 62$$

ЗАКЛЮЧЕНИЕ И ОСНОВНЫЕ ВЫВОДЫ

На основании проведённых исследований представлено решение актуальных научно-технических задач по разработке моделей, методов и систем автоматического и интеллектуального управления установками распределенной генерации, работающими в системах электроснабжения в условиях пониженного качества электроэнергии. В ходе исследований получены следующие результаты:

- 1. Разработаны компьютерные модели различных установок распределенной генерации и активных сетевых элементов с системами автоматического регулирования и интеллектуального управления.
- 2. Разработан и программно реализован метод пассивной идентификации моделей установок распределённой генерации на основе экспериментальных данных, отличающийся от известных применением вейвлет-преобразования для выделения шумов регуляторов.
- 3. Разработан и программно реализован алгоритм построения моделей отдельных элементов установок распределенной генерации на основе искусственных нейронных сетей и системы нечеткого логического вывода с возможностью их уточнения в условиях пониженного качества электроэнергии и изменяющихся режимов работы системы электроснабжения.
- 4. **Разработан метод формирования цифрового двойника установки распределенной генерации** на основе экспериментальных данных с использованием иерархических нечетких систем и алгоритма оптимизации функций принадлежности.
- 5. Выполнены исследования по влиянию несимметричной и нелинейной нагрузки на работу синхронного генератора малой мощности с системами автоматического регулирования возбуждения и скорости вращения ротора. При повышении уровня несимметрии и несинусоидальности наблюдается рост токов статора и ротора, а также появление вынужденных колебаний электрических и механических параметров генератора. Повышается вероятность потери устойчивой работы генератора. Эти обстоятельства необходимо учитывать при внедрении установок распределенной генерации в системы электроснабжения в условиях пониженного качества электроэнергии. Применение вставки постоянного тока и энергетического роутера позволяет эффективно решить проблему улучшения качества электроэнергии при внедрении установок распределенной генерации.
- 6. **Предложены способы снижения провалов напряжения и токов короткого замыкания** в системах электроснабжения с установками распределенной генерации, отличающиеся от известных применением управляемых энергетических роутеров с накопителями электроэнергии в сетях постоянного и переменного тока.

63

ЗАКЛЮЧЕНИЕ И ОСНОВНЫЕ ВЫВОДЫ

- 7. Разработана модель системы возбуждения асинхронизированного генератора с возможностью изменения частоты напряжения в обмотке ротора для повышения эффективности управления параметрами генератора. Выполнены исследования по использованию асинхронизированных генераторов в системах электроснабжения с пониженным качеством электроэнергии. Асинхронизированные генераторы повышают устойчивость и улучшают качество электроэнергии в нормальных и послеаварийных режимах работы электрической сети.
- 8. Разработан и программно реализован метод согласованной настройки регуляторов установок распределённой генерации, отличающийся от известных использованием процедуры адаптивного генетического алгоритма и учетом взаимного влияния регуляторов.
- 9. Предложена адаптивная система управления параметрами регуляторов установки распределённой генерации на основе нейронных сетей, метода субтрактивной кластеризации и системы нечеткого логического вывода. При использовании интеллектуальной системы управления настройками APB и APC установки распределенной генерации уменьшается время переходного процесса, величина перерегулирования напряжения и частоты, а также обеспечивается необходимый запас устойчивости.
- 10. Разработаны методы построения и настройки локальных и групповых прогностических регуляторов напряжения и частоты установок распределенной генерации, позволяющие получить приемлемые показатели качества регулирования без использования процедуры оптимизации параметров АРВ и АРС генераторов.
- 11. Предложена структура и разработана модель самонастраивающихся прогностических регуляторов напряжения и частоты на основе линейного прогнозирующего звена и частоты собственных колебаний параметров агрегата установки распределенной генерации, позволяющие улучшить показатели качества процесса регулирования.
- 12. Предложены методы устранения фликера и улучшения качества электроэнергии по несимметрии и несинусоидальности в сетях с установками распределенной генерации, отличающиеся от известных использованием согласованной настройки автоматических регуляторов возбуждения и частоты и прогностических алгоритмов управления.

ЗАКЛЮЧЕНИЕ И ОСНОВНЫЕ ВЫВОДЫ

- 13. Проведены исследования по оценке устойчивости и кибербезопасности предлагаемых прогностических регуляторов. В случае несанкционированного изменения времени прогноза у групповых регуляторов напряжения и частоты генераторов электростанции ухудшаются показатели качества управления и возможна потеря устойчивости. Это подтверждает необходимость аппаратного ограничения и недопустимости режима с отрицательными значениями времени прогноза.
- 14. Разработан метод определения областей статической апериодической устойчивости систем электроснабжения с установками распределенной генерации, отличающийся от известных применением модифицированной системы уравнений предельных режимов для поиска направления утяжеления.
- 15. Разработан метод противоаварийного управления установками распределенной генерации, отличающийся от известных применением модифицированных уравнений предельных режимов с использованием стартового алгоритма, обеспечивающего выход режима на ближнюю границу области устойчивости в системах электроснабжения с пониженным качеством электроэнергии, а также применением согласованной настройки регуляторов и прогностических алгоритмов управления, обеспечивающих качественный динамический переход энергосистемы.
- 16. Разработан метод настройки нечётких регуляторов ветрогенерирующих установок при использовании в системах электроснабжения с пониженным качеством электроэнергии.
- 17. Разработана структура и модель мультиагентной системы управления установками распределенной генерации, работающими в системах электроснабжения с пониженным качеством электроэнергии. Показано, что задача управления режимами систем электроснабжения может быть решена на основе мультиагентных технологий. Для определения параметров эффекторов мультиагентной системы управления могут применяться методы имитационного моделирования трехфазно-однофазных сетей в фазных координатах.

ПРАКТИЧЕСКАЯ ЗНАЧИМОСТЬ

Разработанные модели, методы и программные алгоритмы направлены на решение задач управления установками распределенной генерации, режимами работы и качеством электроэнергии в систем электроснабжения с установками распределенной генерации.

На основе предложенных методов, программных алгоритмов и средств компьютерного моделирования возможно решение следующих актуальных задач, возникающих при проектировании и эксплуатации систем электроснабжения с установками распределенной генерации:

- компьютерное моделирование режимов работы интеллектуальных систем электроснабжения с учетом активных устройств по улучшению качества электроэнергии;
- определение областей устойчивости в системах электроснабжения с установками распределенной генерации при наличии несимметрии и гармонических искажений;
- идентификация моделей установок распределенной генерации с использованием цифровых технологий обработки сигналов для диагностики, создания цифровой базы поведения генерирующих объектов и адаптивного управления электрооборудованием;
- эффективное улучшение качества электроэнергии по несимметрии и несинусоидальности за счет оптимизации и согласованной настройки регуляторов установок распределенной генерации;
 - эффективное устранение фликера в сетях, оборудованных генераторами малой мощности;
- снижение провалов напряжения и токов короткого замыкания в системах электроснабжения с установками распределенной генерации;
- расчет запаса устойчивости и надежный ввод режима в область устойчивости систем электроснабжения с установками распределенной генерации в послеаварийном режиме;
 - повышение надежности, устойчивости и живучести системы электроснабжения;
- внедрение эффективных цифровых технологий обработки сигналов, технологий интеллектуальных сетей и «Энерджинет» в системы электроснабжения;
- повышение эффективности управления качеством электроэнергии и режимами работы систем электроснабжения с установками распределенной генерации с применением мультиагентных технологий для создания виртуальных электростанций и виртуального распределенного накопления электроэнергии;
- надежная интеграция в системы электроснабжения установок распределенной генерации, в том числе, работающие на основе возобновляемых источниках энергии.

66

ПУБЛИКАЦИИ И АПРОБАЦИЯ

По результатам выполненных исследований, разработок моделей и методов, связанных с темой работы, опубликовано 225 работ, из них:

- -57 в рецензируемых изданиях из перечня ВАК РФ;
- 60 в изданиях, индексируемых базами Scopus и Web of Science;
- 11 монографий;
- 2 свидетельства о государственной регистрации программ для ЭВМ.

Результаты и выводы, представленные в работе, докладывались и обсуждались на различных симпозиумах, семинарах и конференциях, в том числе 26 всероссийского и 60 международного уровней.

Модели и методы управления режимами работы и качеством электроэнергии в системах электроснабжения с установками распределенной генерации

Спасибо за внимание!